

TUGAS AKHIR - ES234849

**PENILAIAN RISIKO WILAYAH TERKENA DAMPAK
PENULARAN DEMAM BERDARAH (DBD) DI
KABUPATEN MALANG MENGGUNAKAN FUZZY
MODELING**

ANDIRA YULIANENGTIAS

NRP 5026211038

Dosen Pembimbing

Prof. Dr. Wiwik Anggraeni, S.Si., M.Kom.

NIP 197601232001122002

Program Studi Sarjana Sistem Informasi

Departemen Sistem Informasi

Fakultas Teknologi Elektro dan Informatika Cerdas

Institut Teknologi Sepuluh Nopember

Surabaya

2025



TUGAS AKHIR - ES234849

**PENILAIAN RISIKO WILAYAH TERKENA DAMPAK
PENULARAN DEMAM BERDARAH (DBD) DI
KABUPATEN MALANG MENGGUNAKAN FUZZY
MODELING**

ANDIRA YULIANENTIAS

NRP 5026211038

Dosen Pembimbing

Prof. Dr. Wiwik Anggraeni, S.Si., M.Kom.

NIP 197601232001122002

Program Studi Sarjana Sistem Informasi

Departemen Sistem Informasi

Fakultas Teknologi Elektro dan Informatika Cerdas

Institut Teknologi Sepuluh Nopember

Surabaya

2025



FINAL PROJECT - ES234849

REGION RISK ASSESSMENT AFFECTED BY DENGUE HEMORRHAGIC FEVER (DHF) TRANSMISSION IN MALANG REGENCY USING FUZZY MODELING

ANDIRA YULIANENGTIAS

NRP 5026211038

Advisor

Prof. Dr. Wiwik Anggraeni, S.Si., M.Kom.

NIP 197601232001122002

Information System Undergraduate Study Program

Department of Information System

Faculty of Intelligent Electrical and Informatics Technology

Institut Teknologi Sepuluh Nopember

Surabaya

2025

LEMBAR PENGESAHAN

PENILAIAN RISIKO WILAYAH TERKENA DAMPAK PENULARAN DEMAM BERDARAH (DBD) DI KABUPATEN MALANG MENGGUNAKAN FUZZY MODELING

TUGAS AKHIR

Disusun Untuk Memenuhi Salah Satu Syarat
Memperoleh Gelar Sarjana Komputer (S.Kom)
pada

Departemen Sistem Informasi
Fakultas Teknologi Elektro dan Informatika Cerdas (ELECTICS)
Institut Teknologi Sepuluh Nopember

Oleh :

Andira Yulianengtias

NRP: 5026211038

Surabaya, 30 Januari 2025

Kepala Departemen Sistem Informasi

LP/P/25/253

Prof. Dr. Wiwik Anggraeni, S.Si, M.Kom
NIP. 197601232001122002

LEMBAR PERSETUJUAN

PENILAIAN RISIKO WILAYAH TERKENA DAMPAK PENULARAN DEMAM BERDARAH (DBD) DI KABUPATEN MALANG MENGGUNAKAN FUZZY MODELING

TUGAS AKHIR

Disusun Untuk Memenuhi Salah Satu Syarat
Memperoleh Gelar Sarjana Komputer
pada

Departemen Sistem Informasi
Fakultas Teknologi Elektro dan Informatika Cerdas
Institut Teknologi Sepuluh Nopember
Oleh :

Andira Yulianengtias

NRP: 5026211038

Disetujui Tim Pengudi:

Tanggal Ujian:

Periode Wisuda:

24 Februari 2025

Maret 2025

Prof. Dr. Wiwik Anggraeni, S.Si, M.Kom

(Pembimbing 1)

Edwin Riksakomara, S.Kom, M.T

(Pengaji 1)

Retno Aulia Vinarti, S.Kom., M.Kom., Ph.D

(Pengaji 2)

PERNYATAAN ORISINALITAS

Yang bertanda tangan di bawah ini:

Nama : Andira Yulianengtias / 5026211038
mahasiswa /
NRP
Program studi : S1 Sistem Informasi
Dosen : Prof. Dr. Wiwik Anggraeni, S.Si, M.Kom /
Pembimbing : 197601232001122002
/ NIP

dengan ini menyatakan bahwa Tugas Akhir dengan judul "PENILAIAN RISIKO WILAYAH TERKENA DAMPAK PENULARAN DEMAM BERDARAH (DBD) DI KABUPATEN MALANG MENGGUNAKAN FUZZY MODELING" adalah hasil karya sendiri, bersifat orisinal, dan ditulis dengan mengikuti kaidah penulisan ilmiah.

Bilamana di kemudian hari ditemukan ketidaksesuaian dengan pernyataan ini, maka saya bersedia menerima sanksi sesuai dengan ketentuan yang berlaku di Institut Teknologi Sepuluh Nopember.

Surabaya, 30 Januari 2025

Mengetahui

Dosen Pembimbing

SISTEM INFORMASI SISTEM INFORMASI SISTEM INFORMASI
SISTEM INFORMASI SISTEM INFORMASI SISTEM INFORMASI

Prof. Dr. Wiwik Anggraeni, S.Si, M.Kom
NIP. 197601232001122002



Andira Yulianengtias
NRP. 5026211038

ABSTRAK

PENILAIAN RISIKO WILAYAH TERKENA DAMPAK PENULARAN DEMAM BERDARAH (DBD) DI KABUPATEN MALANG MENGGUNAKAN FUZZY MODELING

Nama Mahasiswa / NRP : **Andira Yulianengtias / 5026211038**
Departemen : **Sistem Informasi FTEIC - ITS**
Dosen Pembimbing : **Prof. Dr. Wiwik Anggraeni, S.Si., M.Kom**

Abstrak

Demam Berdarah Dengue (DBD) adalah penyakit yang ditularkan oleh nyamuk *aedes aegypti*. Penyakit ini masih menjadi masalah yang krusial karena jumlah kasusnya yang tinggi, terutama di musim hujan. Berdasarkan data WHO, kasus DBD global meningkat, termasuk di Indonesia yang tercatat memiliki 16.000 kasus dan 124 kematian per 1 Maret 2024. Banyak upaya pencegahan telah dilakukan oleh pemerintah, namun sayangnya upaya ini belum optimal dan tepat sasaran. Seperti yang terjadi di Desa Pringu, Malang, dimana masyarakat harus melakukan tindakan pencegahan secara mandiri karena tidak ada upaya dari pemerintah meskipun jumlah kasus demam berdarah di Desa Pringu merebak. Sehingga dilakukan penyusunan Tugas Akhir ini untuk menilai risiko penularan demam berdarah di Kabupaten Malang menggunakan fuzzy model. Penilaian risiko ini dilakukan dengan memperhatikan kondisi spesifik daerah Malang yang diimplementasikan dalam peta wilayah menggunakan perangkat lunak Power BI. Hasilnya menunjukkan bahwa model fuzzy mampu memetakan risiko wilayah, dimana wilayah berisiko tinggi memiliki Angka Bebas Jentik rendah yaitu dibawah 76.2% dengan kepadatan penduduk tunggu sedang hingga tinggi yaitu 960.21 – 2850.26 jiwa/km². Namun, model ini belum bisa menangani data outlier dengan baik dan validasinya masih dilakukan secara manual, sehingga berpotensi menimbulkan bias. Tugas Akhir ini diharapkan mampu membantu pemerintah untuk mengidentifikasi daerah-daerah yang rentan terhadap penyebaran demam berdarah dan mengalokasikan sumber daya secara optimal untuk pencegahan demam berdarah di masa yang akan datang.

Kata kunci: *Fuzzy, Demam Berdarah Dengue, Penilaian Risiko, Peta Risiko*

ABSTRACT

REGION RISK ASSESSMENT Affected BY DENGUE HEMORRHAGIC FEVER (DHF) TRANSMISSION IN MALANG REGENCY USING FUZZY MODELING

Student Name / NRP : Andira Yulianengtias / 5026211038
Department : Sistem Informasi FTEIC - ITS
Advisor : Prof. Dr. Wiwik Anggraeni, S.Si., M.Kom

Abstract

Dengue Hemorrhagic Fever (DHF) is a disease spread by the Aedes aegypti mosquito and remains a significant concern due to its high prevalence, especially during the rainy season. Globally, DHF cases are on the rise, with Indonesia reporting 16,000 cases and 124 deaths as of March 1, 2024. Although the government has implemented various preventive measures, they have not been effective or targeted enough. For example, in Pringu Village, Malang, the community had to take independent preventive actions due to the lack of government intervention during DHF outbreak. This study aims to assess the risk of dengue transmission in Malang Regency using a fuzzy model. The risk assessment considers the specific conditions of the Malang region and is visualized through spatial mapping using Power BI software. The results indicate that the fuzzy model effectively maps regional risk, identifying high-risk areas as those with a Larvae-Free Index below 76.2% and medium to high population densities ranging from 960.21 to 2,850.26 people/km². However, the model struggles to handle outlier data and relies on manual validation, which may introduce bias. It is hoped that this study will help the government identify areas at risk of dengue transmission and allocate resources more effectively for future prevention efforts.

Keywords: *Fuzzy, Dengue Hemorrhagic Fever, Risk Assessment, Risk Map*

KATA PENGANTAR

Puji syukur kehadirat Allah SWT atas segala rahmat dan karunia-Nya sehingga penulis dapat menyelesaikan tugas akhir yang berjudul “ Penilaian Risiko Wilayah Terkena Dampak Penularan Demam Berdarah (DBD) di Kabupaten Malang Menggunakan Fuzzy Modeling ” ini dengan baik dan tepat waktu untuk memenuhi persyaratan kelulusan Program Sarjana S1 Sistem Informasi, Fakultas Teknologi Elektro dan Informatika Cerdas Institut Teknologi Sepuluh Nopember.

Dalam proses penyusunan Tugas Akhir ini, penulis telah menerima banyak dukungan, bantuan dan bimbingan dari berbagai pihak. Oleh sebab itu, penulis ingin menyampaikan rasa terima kasih yang sebesar-besarnya kepada :

1. Bapak Ardjanto dan Ibu Turi Susanti selaku orang tua penulis dan keluarga tercinta yang senantiasa mendoakan dan memberikan motivasi, serta dukungan moral kepada penulis selama menjalani perkuliahan.
2. Ibu Prof. Dr. Wiwik Anggraeni, S.Si., M.Kom. selaku dosen pembimbing yang telah memberikan bimbingan, saran, serta dukungan moral selama penyusunan Tugas Akhir.
3. Bapak Edwin Riksakomara, S.Kom., M.T. sebagai dosen pengaji I dan Ibu Retno Aulia Vinarti, S.Kom., M.Kom., Ph.D. sebagai dosen pengaji II yang memberikan masukan dan saran untuk menyempurnakan Tugas Akhir.
4. Bapak Izzat Aulia Akbar S.Kom., M.Eng., Ph.D. selaku dosen wali penulis yang membantu mengarahkan penulis selama menjalani perkuliahan di Departemen Sistem Informasi ITS.
5. Rania, Wanda, dan Lani selaku teman perjuangan dan keluarga yang selalu memberikan motivasi, dan dukungan selama menjalani perkuliahan.
6. Assyitha, Salma, Atika, Henita, dan teman-teman UKM Rebana yang menjadi rumah kedua penulis selama menjalani kehidupan perkuliahan di ITS.
7. Nirma dan Puput, selaku teman magang penulis yang selalu memberikan semangat dan motivasi dalam menyelesaikan Tugas Akhir ini.
8. Teman-teman Sistem Informasi Angkatan 2021 (VISTANARA) yang telah menjadi keluarga selama perkuliahan dan berjuang bersama hingga saat ini.
9. Semua pihak lainnya yang telah membantu baik secara langsung maupun tidak langsung, yang tidak dapat penulis sebutkan satu persatu.

Penulis menyadari bahwa Tugas Akhir ini masih jauh dari sempurna. Oleh karena itu, penulis terbuka dalam menerima segala bentuk kritik dan saran yang membangun demi perbaikan di masa mendatang. Semoga Tugas Akhir ini dapat bermanfaat bagi semua pihak yang membacanya.

Surabaya, Januari 2025

Andira Yulianengtias

DAFTAR ISI

LEMBAR PENGESAHAN	i
LEMBAR PERSETUJUAN	ii
PERNYATAAN ORISINALITAS	iii
ABSTRAK.....	iv
ABSTRACT.....	v
KATA PENGANTAR	vi
DAFTAR ISI.....	vii
DAFTAR GAMBAR	ix
DAFTAR KODE PROGRAM.....	xiii
BAB 1 PENDAHULUAN	14
1.1 Latar Belakang.....	14
1.2 Rumusan Masalah	15
1.3 Batasan Masalah.....	15
1.4 Tujuan	15
1.5 Manfaat	15
1.6 Relevansi Tugas Akhir	15
BAB 2 TINJAUAN PUSTAKA	17
2.1 Hasil Penelitian Terdahulu	17
2.2 Dasar Teori	19
2.2.1 Demam Berdarah Dengue (DBD)	19
2.2.2 Risk Assesment	23
2.2.3 Region Risk	23
2.2.4 Fuzzy Model	23
BAB 3 METODOLOGI	29
3.1 Urutan pelaksanaan penelitian.....	29
3.2 Uraian metodologi	30
3.2.1 Identifikasi Masalah	30
3.2.2 Studi Literature	30
3.2.3 Pengumpulan dan Pre-Processing Data.....	30
3.2.4 Pembuatan Model Penilaian Risiko.....	30
3.2.5 Evaluasi Model.....	32
3.2.6 Visualisasi Hasil	32

3.2.7	Penyusunan Tugas Akhir.....	32
BAB 4	Hasil dan Pembahasan	33
4.1	Hasil Penelitian.....	33
4.1.1	Pengumpulan dan Pre-Processing Data.....	33
4.1.2	Pembuatan Model Penilaian Risiko.....	36
4.1.3	Uji Coba.....	48
4.1.4	Evaluasi Model.....	50
4.1.5	Visualisasi Hasil	56
4.2	Pembahasan	56
BAB 5	Kesimpulan dan Saran	57
5.1	Kesimpulan.....	57
5.2	Saran	57
DAFTAR PUSTAKA	59
LAMPIRAN A	61
LAMPIRAN B	68
LAMPIRAN C	82
BIODATA PENULIS	86

DAFTAR GAMBAR

Gambar 1.1 Roadmap Laboratorium RDIB	16
Gambar 2.1 korelasi faktor risiko demam berdarah (sumber: Wang, et al., 2020)	19
Gambar 2.2 Arsitektur sistem logika fuzzy (Mufid, et al., 2018).....	23
Gambar 2.3 Fungsi linear naik (sumber: Setiawan, Yanto, & Yasdomi, 2018).....	24
Gambar 2.4 Fungsi linear turun (sumber: Setiawan, Yanto, & Yasdomi, 2018)	24
Gambar 2.5 Fungsi kurva segitiga (sumber: Setiawan, Yanto, & Yasdomi, 2018)	25
Gambar 2.6 Fungsi kurva trapesium (sumber: Setiawan, Yanto, & Yasdomi, 2018)	25
Gambar 2.7 Fungsi kurva gauss (sumber: (Setiawan, Yanto, & Yasdomi, 2018))	26
Gambar 2.8 Himpunan Klasik Orang Tinggi (sumber: Setiawan, Yanto, & Yasdomi, 2018).26	
Gambar 2.9 Himpunan Fuzzy Orang Tinggi (sumber: Setiawan, Yanto, & Yasdomi, 2018) .26	
Gambar 2.10 Diagram blok sistem inferensi fuzzy (sumber: Setiawan, Yanto, & Yasdomi, 2018).....	27
Gambar 2.11 Deffuzifikasi Model Mamdani (sumber: Setiawan, Yanto, & Yasdomi, 2018).27	
Gambar 3.1 Diagram metodologi tugas akhir	29
Gambar 3.2 Struktur Fuzzy Model.....	31
Gambar 4.1 Model Penilaian Risiko	37
Gambar 4.2 Struktur model climatic FIS	37
Gambar 4.3 garis connection	37
Gambar 4.4 input model	38
Gambar 4.5 output model	38
Gambar 4.6 FPC untuk variabel 'ketinggian_wilayah'	41
Gambar 4.7 Distribusi data lahan pertanian	41
Gambar 4.8 Distribusi data proporsi hutan.....	42
Gambar 4.9 Distribusi data kepadatan penduduk	42
Gambar 4.11 Algoritma clustering berdasarkan persebaran data.....	45
Gambar 4.12 Grafik membership function dari climatic risk.....	46
Gambar 4.13 Implikasi dari climatic risk	48
Gambar 4.15 Perbaikan grafik membership function dari climatic risk.....	53
Gambar 4.16 Visualisasi Hasil	56

DAFTAR TABEL

Table 2.1 Hasil penelitian terdahulu.....	17
Table 2.2 Hasil uji korelasi variabel faktor dengan kejadian demam berdarah (Sumber: Wulandari, et al., 2023)	20
Table 2.3 Hasil Uji Korelasi Insiden DBD dengan Variabel Dependen menggunakan Regresi Linier (Sumber: Mustika, et al., 2016)	20
Table 2.4 Parameter rentan faktor risiko	21
Table 4.1 Hasil Pengumpulan Data	33
Table 4.2 Kelompok Dataran Rendah	34
Table 4.3 Kelompok Dataran Sedang.....	34
Table 4.4 Kelompok Dataran Tinggi	35
Table 4.5 Nilai maksimum setiap variabel	35
Table 4.6 data kelompok Dataran Rendah Januari sebelum dinormalisasi	36
Table 4.7 data Dataran Rendah Januari setelah dilakukan normalisasi.....	36
Table 4.8 Hasil clustering tiga cluster	39
Table 4.9 Hasil pembagian parameter MF tiga cluster.....	40
Table 4.10 Hasil clustering berdasarkan distribusi data	42
Table 4.11 Hasil pembagian parameter fungsi keanggotaan segitiga	43
Table 4.12 Hasil pembagian parameter fungsi keanggotaan gaussian	43
Table 4.13 Hasil pembagian parameter fungsi keanggotaan trapesium	44
Table 4.14 Membership function output	46
Table 4.15 Angka parameter rentan	47
Table 4.16 Parameter rentan yang belum dinormalisasi	47
Table 4.17 Aturan dasar untuk climatic factor risk	47
Table 4.18 Input januari pada dataran rendah	48
Table 4.19 Input januari pada dataran sedang	49
Table 4.20 input januari pada dataran tinggi	49
Table 4.21 output penilaian risiko fuzzy model dataran rendah januari skenario 1	50
Table 4.22 output penilaian risiko fuzzy model dataran rendah januari skenario 2	50
Table 4.23 Hasil contoh perhitungan derajat keanggotaan	51
Table 4.24 Hasil perbandingan risiko skenario 1 dengan rule pakar pada dataran rendah bulan januari	52

Table 4.25 Hasil perbandingan risiko skenario 2 dengan rule pakar pada dataran rendah bulan januari	52
Table 4.26 Revisi membership function output.....	53
Table 4.27 revisi output skenario 1	54
Table 4.28 revisi output skenario 2	54
Table 4.29 Hasil validasi ulang pada skenario1	55
Table 4.30 Hasil validasi ulang pada skenario2	55
Table 0.1 januari dataran rendah	68
Table 0.2 februari dataran rendah.....	68
Table 0.3 maret dataran rendah	68
Table 0.4 april dataran rendah	69
Table 0.5 mei dataran rendah	69
Table 0.6 juni dataran rendah	70
Table 0.7 juli dataran rendah	70
Table 0.8 agustus dataran rendah	70
Table 0.9 september dataran rendah	71
Table 0.10 oktober dataran rendah	71
Table 0.11 november dataran rendah	71
Table 0.12 desember dataran rendah	72
Table 0.13 januari dataran sedang	72
Table 0.14 februari dataran sedang.....	73
Table 0.15 maret dataran sedang	73
Table 0.16 april dataran sedang.....	74
Table 0.17 mei dataran sedang	74
Table 0.18 juni dataran sedang	75
Table 0.19 juli dataran sedang.....	75
Table 0.20 agustus dataran sedang	76
Table 0.21 september dataran sedang.....	76
Table 0.22 oktober dataran sedang	77
Table 0.23 november dataran sedang	77
Table 0.24 desember dataran sedang	78
Table 0.25 januari dataran tinggi.....	78
Table 0.26 februari dataran tinggi	79

Table 0.27 maret dataran tinggi.....	79
Table 0.28 april dataran tinggi.....	79
Table 0.29 mei dataran tinggi	79
Table 0.30 juni dataran tinggi.....	80
Table 0.31 juli dataran tinggi.....	80
Table 0.32 agustus dataran tinggi.....	80
Table 0.33 september dataran tinggi.....	80
Table 0.34 oktober dataran tinggi.....	81
Table 0.35 november dataran tinggi	81
Table 0.36 desember dataran tinggi.....	81

DAFTAR KODE PROGRAM

Kode Program 4.1 Algoritma clustering berdasarkan persebaran data.....	44
Kode Program 4.2 Algoritma clustering untuk tiga cluster	45
Kode Program 4.3 Kode untuk melakukan uji coba	49

BAB 1 PENDAHULUAN

1.1 Latar Belakang

Demam berdarah dengue (DBD) adalah penyakit yang disebabkan oleh infeksi virus dengue. Virus ini ditularkan kepada manusia melalui gigitan nyamuk *Aedes aegypti*, yang membuat penyebaran DBD relative mudah terjadi terutama di musim hujan (Ramadityo, 2023). Oleh karena itu, DBD masih menjadi salah satu isu kesehatan bagi masyarakat Indonesia.

Berdasarkan data dari Organisasi Kesehatan Dunia (WHO), kasus dan kematian akibat demam berdarah mengalami peningkatan secara global. Sejak awal tahun 2023 tercatat lebih dari 5 juta kasus dan lebih dari 5.000 kematian akibat demam berdarah di keenam wilayah WHO, yaitu Afrika, Amerika, Mediterania Timur, Asia Tenggara, Pasifik Barat, dan Eropa (World Health Organization, 2024). Kasus demam berdarah di Indonesia saat ini juga mengalami peningkatan yang signifikan seiring dengan musim hujan setelah El nino. Menurut Direktorat Jenderal Pencegahan dan Pengendalian Penyakit (P2P) Kementerian Kesehatan Republik Indonesia, hampir 16.000 kasus DBD tercatat per 1 Maret di 213 Kabupaten/Kota, dengan 124 kasus yang berujung pada kematian (Ditjen P2P, 2024).

Pemerintah telah melakukan berbagai upaya dalam mencegah penyebaran kasus demam berdarah di Indonesia. Pencegahan DBD dilakukan melalui perencanaan strategi nasional penanggulangan dengue yang diterbitkan oleh Kementerian Kesehatan Republik Indonesia. Hal ini meliputi penguatan pengendalian nyamuk, peningkatan akses dan mutu perawatan, pengawasan kasus DBD, partisipasi aktif masyarakat dalam pencegahan, peningkatan komitmen pemerintah dan kerjasama antarinstansi, serta dukungan terhadap penelitian sebagai dasar pengambilan keputusan (Kementerian Kesehatan Republik Indonesia, 2021) .

Upaya yang telah dilakukan melalui pemberantasan sarang nyamuk, *fogging*, dan penyuluhan kepada masyarakat ternyata masih belum sepenuhnya optimal dalam mengurangi penyebaran penyakit demam berdarah. Masih ada beberapa daerah yang belum mendapatkan tindakan pencegahan seperti yang terjadi di Desa Pringu, Malang. Relawan pemuda desa harus melakukan fogging mandiri karena kasus DBD di Desa Pringu merebak, dimana terdapat lebih dari 10 penderita DBD pada Maret hingga April 2024. Warga Desa Pringu sendiri berharap akan adanya tindak lanjut dari pemerintah desa dengan berbagai bentuk pencegahan lain yang dapat dilakukan (Aminudin, 2024).

Dari permasalahan diatas, diperlukan penyusunan Tugas Akhir mengenai penilaian risiko wilayah untuk membantu pemerintah dalam merancang strategi pencegahan yang lebih efektif dan tepat sasaran. Dengan memanfaatkan data kondisi spesifik wilayah, diharapkan dapat dikembangkan peta risiko yang akan menunjukkan tingkat risiko demam berdarah di setiap wilayah. Peta ini akan menjadi alat yang berguna bagi pemerintah dan lembaga kesehatan dalam mengidentifikasi daerah-daerah yang rentan terhadap penyebaran demam berdarah dan menjadi alat penting dalam merancang kebijakan serta mengalokasikan sumber daya secara optimal untuk pencegahan demam berdarah di masa mendatang.

1.2 Rumusan Masalah

Berdasarkan latar belakang yang telah dipaparkan di atas, berikut ini merupakan rumusan masalah yang akan diselesaikan pada Tugas Akhir ini :

1. Bagaimana membangun model penilaian risiko wilayah terkena dampak penularan Demam Berdarah Dengue (DBD) menggunakan pendekatan fuzzy modeling berdasarkan kondisi spesifik di wilayah tertentu ?
2. Bagaimana mengimplementasikan hasil penilaian risiko menjadi peta wilayah yang memberikan gambaran visual mengenai risiko penyebaran di setiap daerah ?

1.3 Batasan Masalah

Pada Tugas Akhir ini terdapat beberapa batasan masalah yaitu :

1. Data yang digunakan pada Tugas Akhir ini mencakup wilayah Kabupaten Malang pada tahun 2022 dengan periode bulanan.
2. Model fuzzy dirancang untuk menilai risiko pada periode tertentu dan tidak mencakup peramalan risiko penularan DBD di masa mendatang.
3. Metode yang digunakan adalah fuzzy inference system dengan output angka risiko penyebaran DBD.
4. Implementasi hasil adalah pembuatan peta wilayah yang memberikan visualisasi tingkat risiko wilayah terkena dampak penularan DBD dengan tiga *group range* (GR) yaitu, low, high, dan medium.

1.4 Tujuan

Berdasarkan rumusan masalah yang telah dijelaskan sebelumnya, tujuan dari TA ini adalah :

1. Membangun model penilaian risiko wilayah penularan Demam Berdarah Dengue (DBD) menggunakan pendekatan fuzzy modeling berdasarkan kondisi spesifik di wilayah Malang.
2. Mengimplementasikan hasil penilaian risiko menjadi peta wilayah yang memberikan gambaran visual mengenai tingkat risiko penyebaran DBD di setiap daerah Malang.

1.5 Manfaat

Melalui pelaksanaan proposal ini, adapun manfaat yang dapat diberikan antara lain :

1. Bagi Peneliti
Mampu merancang model penilaian risiko terhadap penyakit demam berdarah menggunakan metode pendekatan fuzzy modeling.
2. Bagi Instansi Terkait
Mendapatkan model penilaian risiko dan hasil pemetaan tingkat risiko wilayah penularan penyakit demam berdarah di setiap kecamatan Kabupaten Malang.

1.6 Relevansi Tugas Akhir

Tugas Akhir ini memanfaatkan teknik predictive analytic untuk menghitung penilaian risiko penularan demam berdarah dengan mengelompokkan faktor risiko yang berkorelasi dan melakukan klasifikasi wilayah berdasarkan tingkat risikonya. Sehingga, penilaian risiko

wilayah memiliki relevansi tugas akhir dengan topik *Predictive Analytics*, terutama pada bagian sub-topik *classification and clustering* dengan tema *Health*. Roadmap dari Laboratorium Rekayasa Data dan Intelegensi Bisnis tahun 2025-2035 terdapat pada Gambar 1.1.



Gambar 1.1 Roadmap Laboratorium RDIB

BAB 2 TINJAUAN PUSTAKA

Pada bab dua ini terdapat hasil penelitian sebelumnya yang digunakan sebagai acuan untuk menyelesaikan tugas akhir. Bab ini juga mencakup dasar teori yang mendukung penjelasan tugas akhir.

2.1 Hasil Penelitian Terdahulu

Hasil penelitian sebelumnya digunakan sebagai acuan atau referensi dalam pengeraian tugas akhir. Hal ini disajikan dalam Table 2.1 Hasil Penelitian Terdahulu.

Table 2.1 Hasil penelitian terdahulu

Judul Penelitian 1	<i>Fuzzy model for quantitative assessment of the epidemic risk of African Swine Fever within Australia</i>
Penulis	Hongkun Liu, YongLin Ren, Tao Wang, Hu Shan, Kok Wai Wong
Tahun	2023
Deskripsi Umum	Penelitian ini membahas mengenai penilaian risiko wilayah pada negara bagian Australia yang terkena dampak epidemi African Swine Fever (ASF) atau penyakit menular pada babi menggunakan fuzzy model sebagai metode penilaian risiko. Hasil penelitian ini adalah skor risiko penyebaran ASF untuk setiap negara bagian, dimana tingkat risikonya digambarkan ke dalam bentuk peta wilayah Australia.
Keterkaitan dengan Tugas Akhir	Bagian dari penelitian ini yang digunakan sebagai rujukan adalah mengenai model penilaian risiko yang menggunakan metode fuzzy, termasuk membership function, sets dan rules dengan menyesuaikan kembali variabel input berdasarkan kasus penularan demam berdarah. ASF dan DBD adalah penyakit epidemi yang memiliki banyak konsep yang sulit untuk dikuantifikasi dengan tepat dan bersifat kabur, oleh karena itu fuzzy cocok untuk model epidemiologi yang kompleks. Selain itu, aturan linguistik yang digunakan dalam fuzzy model mudah dipahami oleh manusia. Sehingga aturan yang digunakan dapat diambil dari pengetahuan dan pengalaman para ahli dalam penilaian risiko, tanpa harus selalu bergantung pada data kuantitatif yang tepat.
Judul Penelitian 2	<i>Mapping dengue risk in Singapore using Random Forest</i>
Penulis	Janet Ong, Xu Liu, Jayanthi Rajarethnam, Suet Yheng Kok, Shaohong Liang, Choon Siang Tang, Alex R. Cook, Lee Ching Ng, Grace Yap
Tahun	2018

Deskripsi Umum	Penelitian ini membahas mengenai prediksi risiko wilayah di Singapura yang terkena dampak penularan demam berdarah menggunakan metode Random Forest. Penelitian ini juga melakukan <i>clustering</i> area berisiko tinggi dan rendah kedalam kelompok risiko RG 1 hingga RG 4. Selain itu, pemetaan risikonya dilakukan dalam grid satu km ² pada peta wilayah Singapura menggunakan perangkat lunak R
Keterkaitan dengan Tugas Akhir	Bagian dari penelitian ini yang digunakan sebagai referensi adalah visualisasi pembuatan peta risiko wilayah. Selain itu, digunakan juga sumber yang sama untuk mendapatkan base layer yang digunakan untuk visualisasi data geografis.
Judul Penelitian 3	<i>Predicting potential areas at risk of the Dengue Hemorrhagic Fever in Jakarta, Indonesia—analyzing the accuracy of predictive hot spot analysis in the absence of small geographical area data</i>
Penulis	Valentino Prasetya, Valentino Vito, Ivan N. Tanawi, Dipo Aldila and Gatot F. Hertono
Tahun	2023
Deskripsi Umum	Penelitian ini berfokus untuk memprediksi wilayah Jakarta yang terkena risiko wabah Dengue Hemorrhagic Fever (DHF) menggunakan metode analisis Hot Spot. DHF sendiri adalah bentuk yang lebih parah dari penyakit demam berdarah (DBD). Variabel input yang digunakan dalam penelitian ini adalah angka kejadian DHF dan cuaca (termasuk suhu rata-rata, curah hujan, dan kelembaban relatif)
Keterkaitan dengan Tugas Akhir	Bagian dari penelitian ini yang digunakan sebagai referensi adalah contoh variabel input data yang bisa digunakan dalam prediksi risiko wilayah dalam kasus demam berdarah.
Judul Penelitian 4	<i>Dengue hemorrhagic fever e A systemic literature review of current perspectives on pathogenesis, prevention and control</i>
Penulis	Wen-Hung Wang, Aspiro Nayim Urbina, Max R. Chang, Wanchai Assavalapsakul, Po-Liang Lu, Yen-Hsu Chen, Sheng-Fan Wang
Tahun	2020
Deskripsi Umum	Penelitian ini membahas mengenai kumpulan tinjauan literatur tentang demam berdarah dengue (DBD) yang menganalisis faktor-faktor risiko demam berdarah serta perspektif pencegahan dan pengendaliannya, mulai dari diagnosis laboratorium, vaksin dengue, survei kasus dan vektor, program pengendalian berbasis komunitas, pengendalian secara biologi serta pengendalian kimia.
Keterkaitan dengan Tugas Akhir	Bagian dari penelitian ini yang digunakan sebagai referensi adalah pengelompokan faktor risiko yang berkorelasi dengan demam berdarah

2.2 Dasar Teori

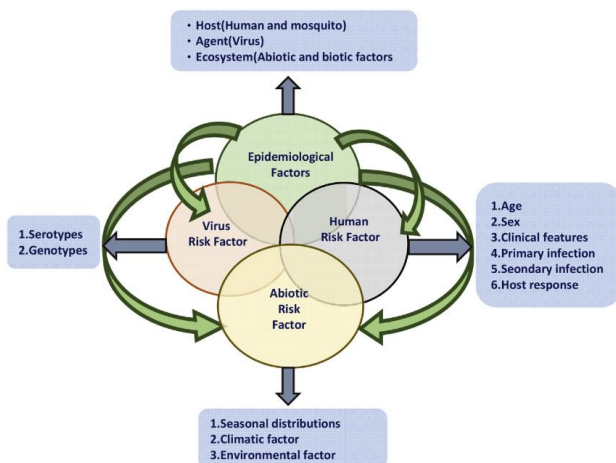
Pada bagian ini akan dijelaskan mengenai konsep dasar yang digunakan sebagai acuan dalam Tugas Akhir ini

2.2.1 Demam Berdarah Dengue (DBD)

Demam berdarah dengue (DBD) merupakan penyakit yang dibawa oleh nyamuk *Aedes aegypti*, kemudian ditularkan kepada manusia melalui gigitannya. Virus dengue hanya dibawa oleh nyamuk betina setelah menggigit manusia yang telah terinfeksi sebelumnya. Seseorang yang terjangkit DBD memiliki gejala seperti demam tinggi secara tiba-tiba hingga mencapai 39 derajat celsius. Demam ini berlangsung lama hingga tujuh hari dan juga turun dengan cepat. Gejala lain yang sering terjadi adalah muncul ruam atau bitnik-bintik merah pada kulit (Ramadityo, 2023).

2.2.1.1 Faktor Risiko Demam Berdarah

Sebaran dan peningkatan kasus demam berdarah dapat disebabkan oleh berbagai faktor risiko. Menurut penelitian yang telah dilakukan, faktor risiko demam berdarah diantara lain adalah faktor virus, faktor manusia dan faktor abiotik yang berkorelasi dengan perkembangan demam berdarah dalam faktor epidemi (Wang, et al., 2020). Hal ini dapat dilihat pada Gambar 2.1.



Gambar 2.1 korelasi faktor risiko demam berdarah (sumber: Wang, et al., 2020)

Penelitian faktor risiko demam berdarah juga dilakukan di Indonesia oleh Fakultas Kesehatan Masyarakat, Universitas Indonesia. Penelitian ini didasarkan pada kejadian demam berdarah di Kabupaten Bogor dengan melakukan uji korelasi antara iklim, kepadatan penduduk, angka bebas jentik, dan ketinggian wilayah dengan kejadian demam berdarah. Hasil dari uji korelasinya dapat dilihat pada Table 2.2. Selain itu, penelitian lain di Provinsi Lampung juga melakukan uji korelasi insiden demam berdarah dengan faktor penggunaan lahan seperti proporsi hutan dan pertanian dengan hasil yang ditunjukkan pada Table 2.3.

Table 2.2 Hasil uji korelasi variabel faktor dengan kejadian demam berdarah (Sumber: Wulandari, et al., 2023)

Variable	Dengue Incidence		
	Coef.	Correlation (r)	p-value
Rainfall	Time Lag 0	-0.165	0.167
	Time Lag 1	-0.145	0.228
	Time Lag 2	-0.096	0.431
	Time Lag 0	-0.050	0.675
	Time Lag 1	-0.122	0.313
	Time Lag 2	-0.155	0.207
Air temperature	Time Lag 0	0.394	0.001*
	Time Lag 1	0.169	0.159
	Time Lag 2	0.196	0.105
		-0.755	0.083
Population density		0.861	0.139
	Larvae Free Rate	-0.350	0.027*
Area altitude			

Table 2.3 Hasil Uji Korelasi Insiden DBD dengan Variabel Dependen menggunakan Regresi Linier (Sumber: Mustika, et al., 2016)

Predictor	Coef	SE Coef	T	P
Constant	17,35	12,25	1,42	0,173
[JPD] _{it}	0,00954	0,01204	0,79	0,438
[FK] _{it}	-0,22135	0,09904	-2,23	0,038*
[RS] _{it}	-0,11741	0,07699	-1,53	0,144
[CH] _{it}	0,06869	0,03808	1,80	0,087*
[HN] _{it-1}	-0,2378	0,3440	-0,69	0,498
[HR] _{it-1}	-1,2634	0,3175	-3,98	0,001*
[PTIN] _{it-1}	0,5315	0,2005	2,65	0,016*
[D1_URB] _{it}	28,75	10,11	2,84	0,010*
[D2_FSW] _{it}	17,32	13,10	1,32	0,202
S = 13,6160	R-Sq = 82,5%	R-Sq(adj) = 74,2%		

Dari Table 2.2, faktor risiko yang memiliki korelasi signifikan dengan insiden demam berdarah adalah kelembaban udara dengan arah korelasi positif, dan ketinggian wilayah dengan arah korelasi negatif. Meskipun variabel lain tidak memiliki korelasi yang signifikan, faktor-faktor lain menunjukkan pengaruh yang nyata terhadap kejadian demam berdarah di Kabupaten Bogor dengan *Incident Rate (IR)* = 40,44 per 100.000 penduduk pada tahun 2021. Pada tahun tersebut, LFR juga berada di bawah standar nasional <95%, menunjukkan kepadatan larva yang tinggi. Dengan sarang larva yang sangat tinggi, risiko penularan DBD tetap tinggi (Wulandari, Rahmawati, Al Asyary, & Nugraha, 2023).

Kemudian pada Table 2.3, proporsi hutan disimbolkan dengan [HR] dan proporsi pertanian insentif disimbolkan dengan [PTIN]. Kedua variabel ini juga menunjukkan korelasi dan kontribusi nyata dalam peningkatan insiden DBD. Berdasarkan penelitian sebelumnya, variabel-variabel di atas dapat dikelompokkan kedalam sebuah kelompok faktor.

a. Faktor iklim

Faktor iklim yang mempengaruhi kejadian demam berdarah meliputi curah hujan, suhu, dan kelembapan udara. Penelitian yang menggunakan metode pendekatan epidemiologi ini menyatakan bahwa pada bulan-bulan tertentu, tinggi suhu akan menyebabkan populasi nyamuk meningkat namun dengan jumlah penularan virus yang rendah. Sedangkan jika kondisi curah hujannya tinggi, suhu udara rendah, dan kelembapan tinggi, maka penularan virusnya tinggi (Amelinda, Wulandari, & Al Asyary, 2022).

b. Faktor host

Faktor host yang mempengaruhi kejadian demam berdarah adalah manusia dan nyamuk. Manusia sebagai tempat hidup atau inang dari agen penyakit, sedangkan nyamuk berperan sebagai vektor yang membawa dan menularkan penyakit. Pada

penelitian yang dilakukan di Jakarta Selatan, pola sebaran kasus demam berdarah di wilayah yang memiliki ABJ tinggi dan rendah tidak memiliki perbedaan yang signifikan. Namun wilayah yang kepadatan penduduknya rendah, mengalami penyebaran DBD yang lebih rendah dibanding daerah lain (Amelinda, Wulandari, & Al Asyary, 2022).

c. Faktor lingkungan

Salah satu faktor lingkungan yang berkorelasi dengan kejadian demam berdarah adalah ketinggian wilayah. Pada penelitian yang dilakukan di Kabupaten Malang, didapatkan hasil bahwa dataran rendah dan dataran menengah mempunyai jumlah penderita demam berdarah lebih tinggi, dibandingkan dengan jumlah kasus di dataran tinggi (Anggraeni, et al., 2017). Faktor penggunaan lahan juga berkorelasi dengan kejadian demam berdarah, seperti luas hutan dan luas pertanian insentif. Hutan dapat menjadi pembatas pergerakan nyamuk berpindah antar rumah. Sedangkan konversi hutan yang sekarang menjadi areal pertanian menyebabkan tanah menjadi terbuka dan tergenang air, sehingga dapat menjadi tempat perindukan nyamuk.

Kerentanan terhadap risiko penyebaran kasus demam berdarah tidak terjadi begitu saja, namun terdapat parameter dari setiap faktor risiko yang mempengaruhi tingkat keparahan serta penyebaran penyakit. Pada Table 2.4 akan diberikan gambaran yang lebih jelas mengenai parameter dari setiap variabel sesuai dengan lingkungan di Indonesia.

Table 2.4 Parameter rentan faktor risiko

Faktor Risiko	Parameter Rentan	Penjelasan
Curah hujan	4,3 – 20 mm	Curah hujan yang optimal bagi nyamuk adalah antara 4,3-20 mm. Curah hujan yang tinggi namun tidak terlalu deras dapat menambahkan lokasi perkembangbiakan, sehingga menyebabkan populasi jumlah nyamuk meningkat (Amelinda, Wulandari, & Al Asyary, 2022).
Suhu	26°C - 30°C	Suhu dapat mempengaruhi siklus hidup vektor nyamuk dan replikasi virus. Suhu udara optimal untuk nyamuk vektor adalah sekitar 26-30°C. Oleh karena itu, penularan demam berdarah lebih mungkin terjadi di Indonesia daerah tropis dan subtropis, karena suhu yang terlalu tinggi atau terlalu rendah dapat mengganggu pertumbuhan nyamuk, bahkan membunuh mereka. Hal seperti ini bisa saja terjadi jika suhu di bawah 10°C atau di atas 46°C (Amelinda, Wulandari, & Al Asyary, 2022).

Faktor Risiko	Parameter Rentan	Penjelasan
Kelembapan	60% - 90%	Kelembapan udara yang optimal untuk perkembangbiakan nyamuk <i>Aedes aegypti</i> adalah diantara 60-90%. Kelembapan udara di bawah 60% dapat memperpendek umur nyamuk, karena pada saat kelembapan udara rendah, cairan dalam tubuh nyamuk akan menguap lebih banyak, dan menyebabkan nyamuk mengering (Amelinda, Wulandari, & Al Asyary, 2022).
Kepadatan penduduk	>1000 orang/km ²	kepadatan penduduk yang tinggi yaitu >1000 orang/km ² akan sebanding dengan tingginya angka kasus demam berdarah. Kepadatan dan populasi adalah salah satu faktor yang mempengaruhi tingginya angka kejadian DBD (Nuranisa, Maryanto, & Isfandiari, 2022).
Angka Bebas Jentik (ABJ)	<95%	Salah satu indikator yang digunakan untuk mengukur keberhasilan salah satu program pemberantasan nyamuk adalah Angka Bebas Jentik (ABJ), dengan standar nasional sebesar $\geq 95\%$ (Amelinda, Wulandari, & Al Asyary, 2022).
Ketinggian wilayah	0 - 500 mdpl	Nyamuk <i>Aedes aegypti</i> tumbuh subur pada ketinggian 0-500 meter di atas permukaan laut, dan mereka tidak cocok untuk bertahan hidup di ketinggian lebih dari 1.000 meter di atas laut tingkat tinggi.
Luas Hutan	Penurunan luas hutan	Nyamuk <i>aedes aegypti</i> adalah vector DBD yang hidup di pemukiman masyarakat dengan jarak terbang sekitar 40-100 m, dan bisa mencapai 434 m pada kondisi angin tenang. Kemampuan nyamuk ini untuk menggigit beberapa orang dalam satu waktu membuatnya efektif dalam penyebaran virus dengue. Namun hutan di sekitar pemukiman dapat menjadi penghalang pergerakan nyamuk DBD dari satu rumah ke rumah lainnya (Mustika, Bakri, & Wardani, 2016).
Luas Lahan Pertanian	Kenaikan luas lahan pertanian	Irigasi sawah selama musim tanam menghasilkan genangan air di area sawah dan pertanian. Air irigasi ini bersih dan menawarkan lingkungan yang cocok bagi nyamuk <i>Aedes</i> untuk bertelur, karena nyamuk ini cenderung memilih air bersih untuk berkembang biak (Mustika, Bakri, & Wardani, 2016).

2.2.2 Risk Assesment

Risk Assesment atau penilaian risiko penyakit adalah evaluasi sistematis dan identifikasi faktor-faktor risiko yang menyebabkan suatu penyakit, memperkirakan tingkat risiko kuantitatif atau kualitatif dalam penyakit tertentu, dan menemukan cara-cara yang mungkin untuk melawan munculnya penyakit dan penyebarannya dalam suatu populasi (Kumar & Agrawal, 2013).

2.2.3 Region Risk

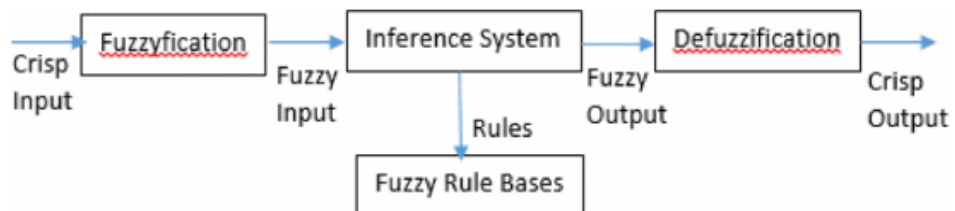
Risk region merupakan sebuah model penilaian terhadap risiko terkait dengan suatu wilayah tertentu. Penilaian ini salah satunya digunakan dalam bidang epidemiologi dan pengendalian penyakit seperti penyebaran penyakit menular. Model ini membantu dalam memahami karakteristik dinamis dari epidemi, sehingga memungkinkan penentuan risiko penularan penyakit berdasarkan lokasi geografis (Li, Lu, An, & Zhang, 2023). Dalam kasus penyakit demam berdarah, model risiko ini dapat dikembangkan dan diaplikasikan dalam pembuatan peta risiko yang mengklasifikasikan risiko penularan DBD di setiap wilayah. Peta ini yang nantinya akan digunakan sebagai alat pengawasan untuk memandu operasi pengendalian vektor (Ong, et al., 2018).

2.2.4 Fuzzy Model

Fuzzy modeling merupakan suatu metode pendekatan yang menggabungkan logika fuzzy dengan pemodelan matematis untuk membangun sistem prediksi. Sistem prediksi dibangun dengan mengekstrak aturan IF-THEN dari data input dan output mentah. Hal ini dapat dilakukan melalui dua langkah yaitu clustering dan spesifikasi relasi input-output (aturan IF-THEN) (Liu, Ren, Wang, Shan, & Wong, 2023).

2.2.4.1 Logika Fuzzy

Logika Fuzzy pertama kali diperkenalkan oleh Prof. Lotfi A. Zadeh dari Universitas California pada tahun 1965. Logika fuzzy digunakan untuk mengatasi situasi dimana konsep-konsepnya sulit diukur secara tepat dan cenderung samar. Oleh karena itu, dalam logika biner nilai-nilai fuzzy dibatasi pada dua keadaan yaitu salah (0) dan benar (1). Untuk memodelkan sistem fuzzy, terdapat himpunan fuzzy yang dianggap sebagai kelas, dimana sampel dari kumpulan data memiliki berbagai derajat keanggotaan dalam suatu kelas tertentu. Metode ini menggunakan kecerdasan buatan untuk membuat keputusan berdasarkan pemikiran manusia dalam memproses satu atau banyak input (Djuris, Ibrić, & Zorica, 2013). Gambar 2.2 menunjukkan arsitektur sistem logika fuzzy yang dibagi menjadi tiga tahap, yaitu fuzzifikasi, pemrosesan fuzzy, dan defuzzifikasi.



Gambar 2.2 Arsitektur sistem logika fuzzy (Mufid, et al., 2018)

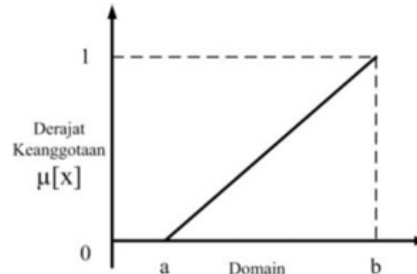
2.2.4.2 Fungsi Keanggotaan Fuzzy

Fungsi keanggotaan adalah sebuah kurva yang menggambarkan pemetaan titik-titik data input kedalam nilai derajat keanggotaan, yang berada dalam interval nol hingga satu. Salah satu

metode yang bisa digunakan untuk menentukan nilai keanggotaan adalah menggunakan pendekatan fungsi. Terdapat beberapa representasi pendekatan fungsi keanggotaan *fuzzy* yaitu representasi linear, segitiga, trapesium, lonceng, dan kurva S. Namun dalam kebanyakan logika fuzzy, fungsi segitiga adalah representasi yang paling umum digunakan karena efisiensi komputasinya (Arslan dan Kaya, 2001).

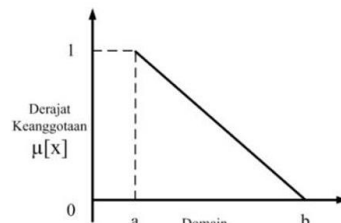
a. Representasi Linear

Dalam fungsi linear, hubungan input dan derajat keanggotaannya digambarkan dengan suatu garis lurus. Terdapat dua jenis fungsi linear, yaitu linear naik dan linear turun. Fungsi linear naik ditunjukkan pada Gambar 2.3, dimana peningkatan himpunannya dimulai dari nilai domain dengan derajat keanggotaan nol (0) dan bergerak ke kanan menuju nilai domain dengan derajat keanggotaan yang lebih tinggi.



Gambar 2.3 Fungsi linear naik (sumber: Setiawan, Yanto, & Yasdomi, 2018)

Sedangkan fungsi linear turun, garisnya dimulai dari nilai domain dengan derajat keanggotaan tertinggi dan bergerak ke kanan menuju nilai domain dengan derajat keanggotaan yang lebih rendah. Hal ini digambarkan pada Gambar 2.4.



Gambar 2.4 Fungsi linear turun (sumber: Setiawan, Yanto, & Yasdomi, 2018)

b. Representasi Kurva Segitiga (Triangular function)

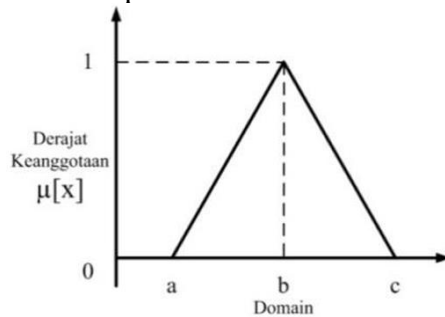
Fungsi kurva segitiga adalah gabungan antara dua garis yang ditentukan dengan tiga parameter $\{a, b, c\}$ dengan aturan Persamaan 2.1

$$\text{Segitiga}(x; a, b, c) = \begin{cases} 0; & x \leq a \\ \frac{(x-a)}{(b-a)}; & a \leq x \leq b \\ \frac{(c-x)}{(c-b)}; & b \leq x \leq c \\ 0; & c \geq x \end{cases}$$

Persamaan 2.1 Rumus derajat keanggotaan segitiga

Sehingga $a < b < c$ menentukan koordinat x dari 3 sudut fungsi kurva segitiga.

Fungsi kurva segitiga dapat dilihat pada Gambar 2.5.



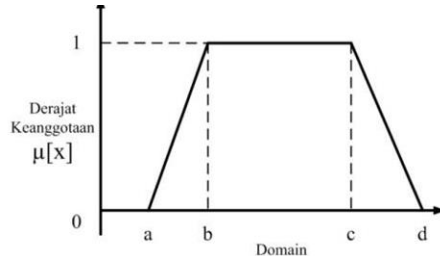
Gambar 2.5 Fungsi kurva segitiga (sumber: Setiawan, Yanto, & Yasdomi, 2018)

c. Representasi Trapesium

Bentuk fungsi kurva trapesium hampir sama dengan kurva segitiga, namun kurva trapesium memiliki beberapa titik yang derajat keanggotannya bernilai 1. Terdapat 4 parameter dalam kurva trapesium yaitu $\{a, b, c, d\}$ dengan $a < b < c < d$. fungsi kurva trapesium dapat dilihat pada Persamaan 2.2 dan Gambar 2.6.

$$\mu [x] = \begin{cases} 0; x \leq a \text{ atau } x \geq d \\ \frac{(x-a)}{(b-a)}; a \leq x \leq b \\ 1; b \leq x \leq c \\ \frac{(d-x)}{(d-c)}; x \geq d \end{cases}$$

Persamaan 2.2 Rumus derajat keanggotaan trapesium



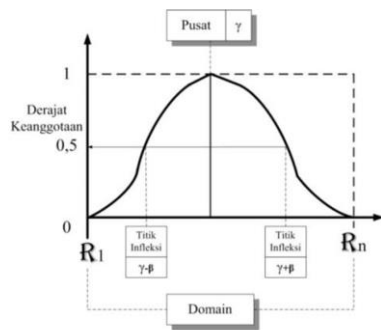
Gambar 2.6 Fungsi kurva trapesium (sumber: Setiawan, Yanto, & Yasdomi, 2018)

d. Representasi Kurva Gauss

Pada kurva gauss menggunakan (y) yang menunjukkan nilai pusat kurva, dan (k) sebagai lebar kurva. Fungsi kurva gauss dapat dilihat pada Persamaan 2.3 dan Gambar 2.7.

$$G(x; k; y) = e^{-k(y-x)^2}$$

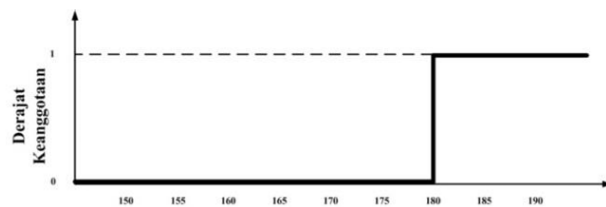
Persamaan 2.3 Rumus derajat keanggotaan kurva gauss



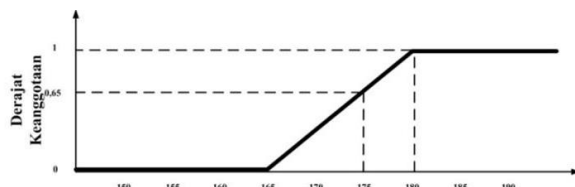
Gambar 2.7 Fungsi kurva gauss (sumber: (Setiawan, Yanto, & Yasdomi, 2018))

2.2.4.3 Himpunan Fuzzy

Sebuah himpunan fuzzy merupakan sebuah kelas objek yang memiliki derajat keanggotaan yang bervariasi secara kontinyu. Nilai himpunan fuzzy ditentukan dengan derajat keanggotaan yang nilainya antara nol hingga satu untuk setiap objek dalam himpunan. Sehingga nilai dari derajat keanggotannya tidak terbatas pada nilai benar atau salah. (Zadeh, 1965). Sebelum adanya logika fuzzy, terdapat *crisp logic* yang disebut sebagai himpunan klasik. Himpunan ini mempunyai nilai yang tegas yaitu benar (1) atau salah (0). Contoh perbedaan himpunan fuzzy dan himpunan klasik dapat dilihat pada Gambar 2.8 dan Gambar 2.9.



Gambar 2.8 Himpunan Klasik Orang Tinggi (sumber: Setiawan, Yanto, & Yasdomi, 2018)



Gambar 2.9 Himpunan Fuzzy Orang Tinggi (sumber: Setiawan, Yanto, & Yasdomi, 2018)

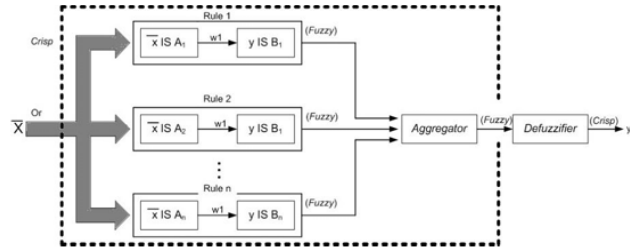
Contoh himpunan fuzzy pada Gambar 2.9 menunjukkan bahwa orang yang memiliki tinggi 175 cm, bisa menjadi anggota himpunan orang tinggi dengan derajat keanggotaan 0,65 atau (175 cm, 0,65). Sementara pada himpunan klasik, orang yang memiliki tinggi 175 cm bukanlah anggota dari himpunan orang tinggi karena terdapat batas yang jelas (Setiawan, Yanto, & Yasdomi, 2018).

2.2.4.4 Sistem Inferensi Fuzzy

Sistem inferensi fuzzy adalah kerangka komputasi yang berdasarkan pada teori himpunan fuzzy, aturan fuzzy JIKA-MAKA, dan penalaran fuzzy. Struktur dasar dari sistem inferensi fuzzy terdiri dari tiga konsep, yaitu :

- Rule base* mengandung aturan fuzzy IF-ELSE

- b. Basis data (Database) yang menentukan fungsi keanggotaan untuk dipakai dalam aturan fuzzy.
- c. Mekanisme penalaran yang melakukan proses pengambilan keputusan berdasarkan aturan dan fakta yang diberikan untuk menghasilkan keluaran atau kesimpulan.



Gambar 2.10 Diagram blok sistem inferensi fuzzy (sumber: Setiawan, Yanto, & Yasdomi, 2018)

Untuk menggunakan *Fuzzy Inference System*, diperlukan tiga tahapan. Pertama, data dimasukkan dan diubah menjadi nilai samar melalui proses fuzzifikasi. Setelah data difuzzifikasi, dilanjutkan dengan pengolahan menggunakan sistem inferensi. Hasilnya kemudian dikonversi kembali menjadi angka melalui proses defuzzifikasi (Setiawan, Yanto, & Yasdomi, 2018). Sistem Inferensi Fuzzy memiliki beberapa model, salah satunya adalah model Fuzzy Mamdani yang akan digunakan pada tugas akhir ini.

2.2.4.4.1 Mamdani Inference System

Model Mamdani diperkenalkan pertama kali oleh Ebrahim Mamdani pada tahun 1975 (Setiawan, Yanto, & Yasdomi, 2018). Model ini sering disebut sebagai metode *Max-Min* yang terdiri dari empat tahapan yaitu :

1. Pembentukan himpunan fuzzy (fuzzifikasi)

Pada model Mamdani, variabel input dan outputnya dapat dibagi menjadi satu atau lebih himpunan fuzzy.

2. Penggunaan fungsi implikasi

Fungsi implikasi yang digunakan dalam Model Mamdani adalah fungsi min.

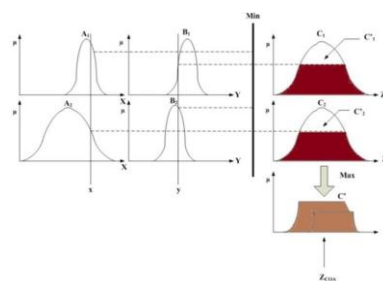
3. Penarikan kesimpulan

Jika sistem memiliki beberapa aturan, maka inferensinya diperoleh dari kumpulan dan juga korelasi antar aturan. Terdapat tiga metode yang digunakan untuk melakukan inferensi sistem fuzzy, yaitu *additivve*, *max*, dan *probabilistic OR* atau *PROBOR*.

4. Deffuzifikasi

Pada model Mamdani, defuzzifikasi dapat dilakukan dengan beberapa metode yaitu : *Centroid*, *Mean of Maximum*, *Bisektor*, *Smallest of Maximum* atau *Largest of Maximum*.

Ilustrasi terkait deffuzifikasi model Mamdani dapat dilihat pada Gambar 2.11.



Gambar 2.11 Deffuzifikasi Model Mamdani (sumber: Setiawan, Yanto, & Yasdomi, 2018)

Pada penilitan ini digunakan metode deffuzzifikasi *centroid*, yaitu dengan mengambil titik pusat (z^*) daerah fuzzy. Secara umum metode *centroid* untuk semesta kontinyu dirumuskan dalam persamaan (2.4), dan untuk semesta diskrit ditunjukkan dalam persamaan (2.5).

$$Z^* = \frac{\int_z z \mu(z) dz}{\int_z \mu(z) dz} \quad (2.4)$$

$$Z^* = \frac{\sum_{j=1}^n z_j \mu(z_j)}{\sum_{j=1}^n \mu(z_j)} \quad (2.5)$$

dimana

z : variabel output

z^* : titik pusat dari area output

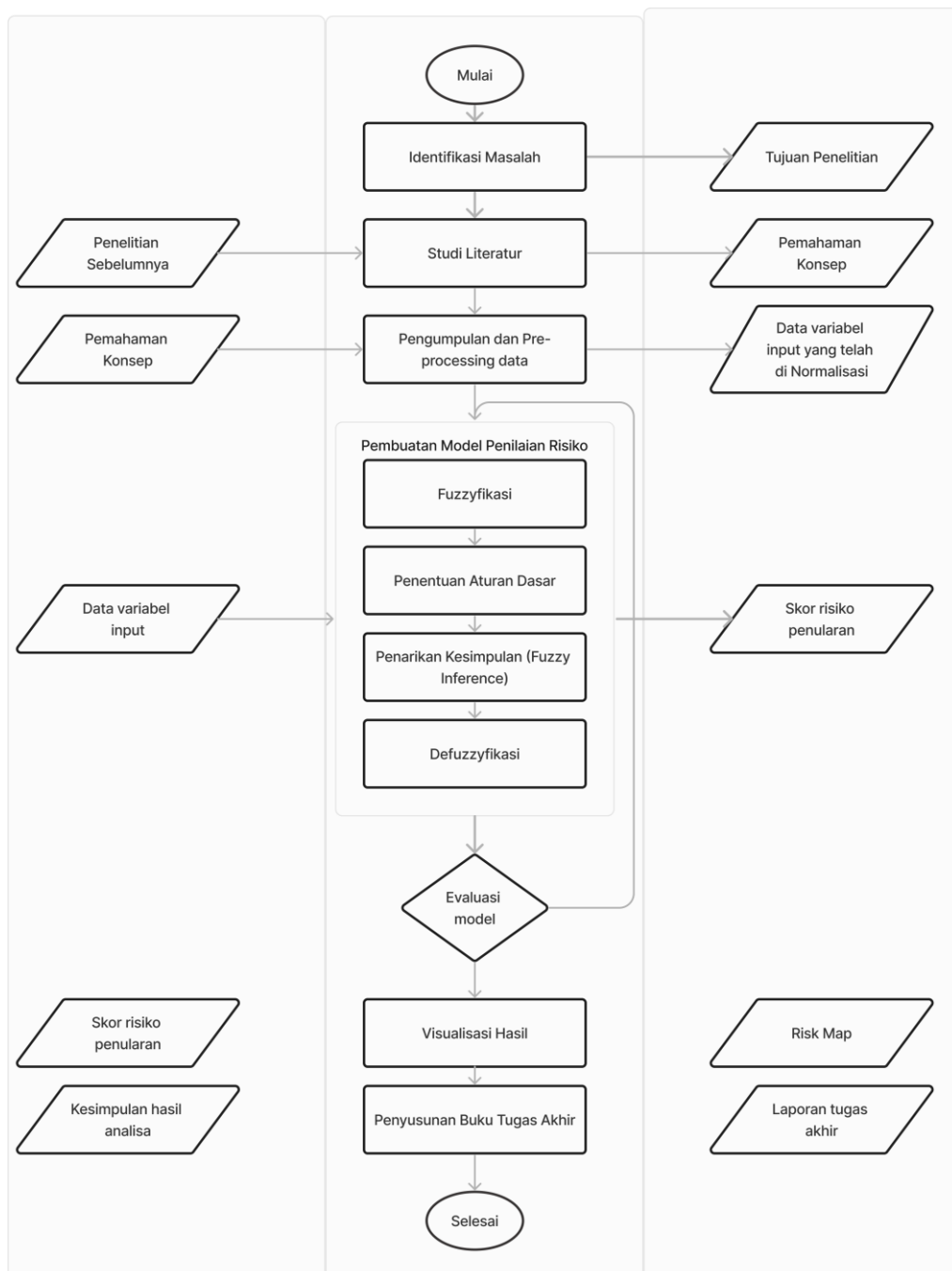
$\mu(z)$: fungsi keanggotaan variabel output

BAB 3 METODOLOGI

Pada bab ini mencakup metodologi yang akan digunakan untuk menyelesaikan penggerjaan tugas akhir.

3.1 Urutan pelaksanaan penelitian

Pada Gambar 3.1 menunjukkan diagram metodologi penyusunan tugas akhir



Gambar 3.1 Diagram metodologi tugas akhir

3.2 Uraian metodologi

Dalam sub bab ini, setiap tahapan dalam pelaksanaan metodologi akan dijelaskan lebih detail.

3.2.1 Identifikasi Masalah

Tahap ini merupakan tahap untuk melakukan pengamatan pada lingkungan sekitar, dan menganalisis permasalahan yang terjadi. Kemudian memilih salah satu dari banyak permasalahan yang diamati untuk dijadikan sebagai fokus penelitian.

3.2.2 Studi Literature

Pada tahap studi literatur dilakukan pencarian informasi yang relevan terkait fokus penelitian atau topik yang diangkat dalam tugas akhir. Benchmarking terhadap penelitian terdahulu juga dilakukan untuk mengidentifikasi kelebihan dan kekurangannya. Sehingga dapat memberikan dasar yang kuat untuk penggerjaan tugas akhir. Tahap ini dimulai dengan mencari informasi terkait kasus demam berdarah di Kabupaten Malang, kemudian mencari referensi mengenai penggunaan metode Fuzzy Inference System sebagai model penilaian risiko.

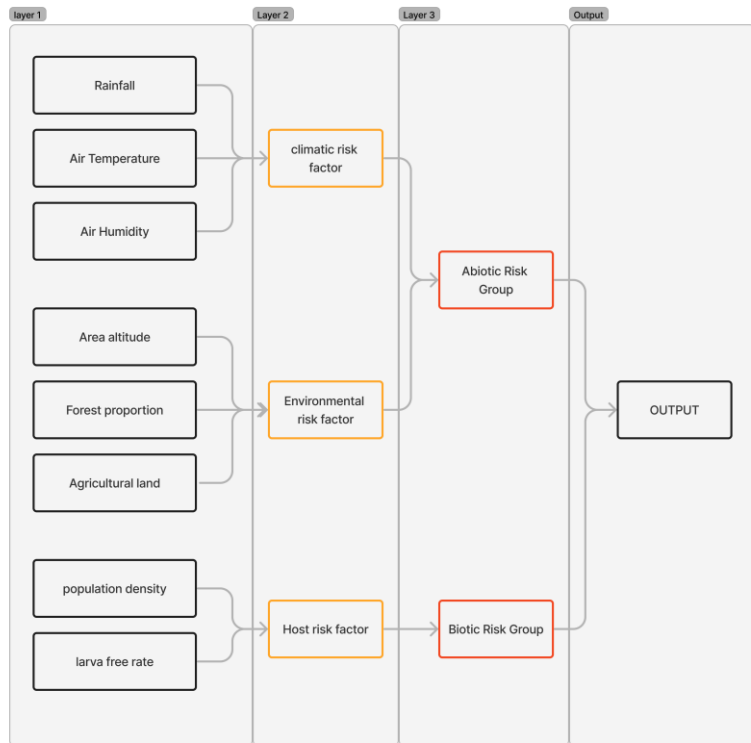
3.2.3 Pengumpulan dan Pre-Processing Data

Pada tahap ini dilakukan pengumpulan data berdasarkan variabel yang telah dipilih untuk input dalam proses penggerjaan tugas akhir. Kemudian setelah dikumpulkan, akan dilakukan pre-processing dengan melakukan normalisasi data di setiap bagian wilayah Malang untuk perbandingan. Formula yang digunakan adalah normalisasi min-max, dengan skala nilai dari [0-100] berdasarkan nilai tertinggi dalam setiap kelompok variabel dengan rumus berikut.

$$x' = \left(\frac{x}{\max(x)} \right) \times 100$$

3.2.4 Pembuatan Model Penilaian Risiko

Pada tahap ini dilakukan pembuatan model penilaian risiko menggunakan *fuzzy inference system*. Metode yang digunakan pada model fuzzy ini adalah metode hierarkis yaitu penggunaan dua input dan satu input. Pembuatan model fuzzynya menggunakan tiga layer, dimana layer pertama berisi input variable dan diklasifikasikan ke dalam beberapa kelompok berdasarkan karakteristiknya di layer kedua, setelah itu di layer ketiga terdapat kelompok risiko 1 (kelompok faktor abiotik) dan kelompok risiko 2 (kelompok faktor biotik). Struktur dari fuzzy modelnya ditunjukkan pada **Error! Reference source not found..** Kemudian tools yang akan digunakan dalam penggerjaan tugas akhir ini adalah fuzzy toolbox dalam perangkat lunak MATLAB.



Gambar 3.2 Struktur Fuzzy Model

3.2.4.1 Fuzzyifikasi

Pada tahap ini dilakukan pemetaan nilai input ke dalam fungsi keanggotaan himpunan Fuzzy. Fungsi keanggotaan dan set fuzzy yang digunakan disesuaikan dengan dataset. Domain dari himpunan tersebut akan disesuaikan dengan rentang nilai dari masing-masing variabel. Selain itu, fungsi keanggotaan dari setiap variabel akan dibuat dan diwakili oleh kurva linear turun (untuk himpunan fuzzy rendah), kurva linear naik (untuk himpunan fuzzy tinggi), dan kurva segitiga/trapesium (untuk himpunan fuzzy normal).

3.2.4.2 Aturan Dasar

Dalam tahap ini, aturan dasar fuzzy dibuat berdasarkan setiap pasangan variabel input dan output yang menghasilkan aturan dalam bentuk implikasi "Jika...Maka...". Setelah itu, derajat keanggotaan akan dihitung menggunakan fungsi fuzzy pada aplikasi Matlab. Aturan-aturan ini dibuat berdasarkan pengetahuan para ahli dan penelitian sebelumnya yang telah dirangkum dalam Table 2.4, kemudian dari landasan teori tersebut akan digunakan untuk menghasilkan aturan dasar fuzzy.

3.2.4.3 Penarikan Kesimpulan

Tahap ini melibatkan sistem menalar nilai input untuk menentukan nilai output sebagai bentuk pengambilan keputusan. Nilai input berasal dari proses fuzzyifikasi sebelumnya. Metode inference system yang digunakan adalah *Mamdani Inference System* dengan fungsi min (minimum) dalam persamaan berikut.

$$\mu_{A \cap B}(x) = \min [\mu_A(x), \mu_B(x)]$$

3.2.4.4 Defuzzyifikasi

Pada tahap defuzzyifikasi, dilakukan penggabungan semua output dari aturan menjadi satu himpunan fuzzy. Proses ini bertujuan untuk mendapatkan nilai spesifik (crisp) dari agregasi aturan fuzzy menggunakan perhitungan centroid yang ditunjukkan dalam persamaan (2.2). Sehingga akan didapatkan skor risiko penularan setiap wilayah Kabupaten Malang.

3.2.5 Evaluasi Model

Setelah dilakukan penilaian risiko menggunakan fuzzy, selanjutnya dilakukan evaluasi model yang telah dibuat dengan membandingkan hasil keluaran model fuzzy dengan aturan yang telah dibuat berdasarkan data dan referensi. Sehingga dilakukan pencocokan antara nilai derajat keanggotaan untuk setiap variabel input, aturan fuzzy, hingga hasil akhir berupa kategori dari fungsi keanggotannya. Evaluasi ini bertujuan untuk menilai apakah model yang dibuat memberikan hasil yang konsisten dengan logika yang diharapkan. Jika terdapat ketidaksesuaian antara hasil keluaran model dengan aturan atau data yang ada, maka perlu dilakukan perbaikan pada aturan fuzzy atau penyesuaian terhadap parameter yang digunakan dalam model tersebut.

3.2.6 Visualisasi Hasil

Pada tahap ini, akan dilakukan visualisasi dari angka risiko penularan demam berdarah. Tingkat risikonya akan dibagi ke dalam tiga kelompok, yaitu RG 1 (low), RG 2 (medium), dan RG 3 (high). Tools yang digunakan adalah perangkat lunak Power BI untuk mendapatkan hasil pemetaan risiko pada peta wilayah kabupaten Malang. Data yang didapatkan adalah batas wilayah desa/kelurahan dan kabupaten/kota, sehingga akan dilakukan *group shape* pada batas wilayah desa terlebih dahulu untuk mendapatkan bentuk peta pada setiap kecamatan.

3.2.7 Penyusunan Tugas Akhir

Setelah dilakukan evaluasi dan visualisasi, maka dilakukan penulisan laporan tugas akhir sebagai bentuk dokumentasi terhadap proses penggerjaan dari awal hingga mendapatkan hasil Tugas Akhir.

BAB 4 Hasil dan Pembahasan

Pada bab ini menjelaskan mengenai hasil dan pembahasan setelah dilakukan percobaan dari rancangan Tugas Akhir yang telah dibuat. Hasil yang akan dijelaskan adalah hasil uji coba model, hingga evaluasi model.

4.1 Hasil Penelitian

Pada sub bab ini akan dijelaskan lebih detail mengenai hasil percobaan, mulai dari pengumpulan data hingga uji coba.

4.1.1 Pengumpulan dan Pre-Processing Data

Data didapatkan dari Dinas Kesehatan dan Buku Profile Sumber Daya Alam Kabupaten Malang tahun 2022. Terdapat lima variabel data yang didapatkan dari Dinas Kesehatan seperti suhu, curah hujan, kelembapan udara, kepadatan penduduk dan ABJ (Angka Bebas Jentik) serta jumlah kasus. Data masing-masing variabel tersebut tersedia di 39 puskesmas dalam periode bulanan. Kemudian untuk tiga variabel lainnya yaitu ketinggian wilayah, proporsi hutan dan luas lahan pertanian didapatkan dari Buku Profile Kabupaten Malang yang tersedia dalam setiap kecamatan. Namun, data kecamatan yang memiliki lebih dari satu puskesmas perlu digabungkan sehingga jumlahnya akan sesuai dengan jumlah kecamatan sejumlah 33 area. Hasil dari pengumpulan data yang telah dilakukan dapat dilihat pada Table 4.1.

Table 4.1 Hasil Pengumpulan Data

Data	Periode	Tahun	Satuan
Curah Hujan	Bulanan	2015 - 2023	Milimeter
Suhu	Bulanan	2015 - 2023	Derajat Celcius
Kelembapan Udara	Bulanan	2015 - 2023	Persen
Ketinggian Wilayah	Tahunan	2022	Mdpl
Proporsi Hutan	Tahunan	2021	Persen
Luas Lahan Pertanian	Tahunan	2022	Hektar
Kepadatan Penduduk	Tahunan	2015 - 2023	Jiwa/km ²
Angka Bebas Jentik	Tahunan	2015 – 2023	Persen

Selanjutnya dilakukan pengelompokan data ke dalam tiga bagian berdasarkan ketinggian wilayahnya. Menurut Peraturan Menteri Lingkungan Hidup dan Kehutanan Republik Indonesia Nomor P.33/Menlhk/Setjen/Kum.1/3/2016 tentang Pedoman Penyusunan Aksi Adaptasi Perubahan Iklim, dataran terbagi menjadi dataran rendah dengan ketinggian (0 - 400 mdpl), dataran sedang (400 – 700 mdpl), dataran tinggi (> 700 mdpl). Namun dikarenakan hanya ada dua kecamatan yang termasuk dalam dataran tinggi, maka dalam Tugas Akhir ini parameter untuk dataran tinggi diturunkan menjadi (> 600 mdpl). Sehingga berikut merupakan pembagian kelompok dataran yang digunakan :

1. Dataran Tinggi = kelompok pertama merupakan data kecamatan yang memiliki ketinggian wilayah diatas 600 mdpl.

2. Dataran Sedang = kelompok kedua merupakan data kecamatan yang memiliki ketinggian wilayah 400 – 600 mdpl.
3. Dataran Rendah = kelompok ketiga merupakan data kecamatan yang memiliki ketinggian wilayah dibawah 400 mdpl.

Hasil dari pembagian wilayah dapat dilihat pada Table 4.2, Table 4.3 dan Table 4.4 berikut ini

Table 4.2 Kelompok Dataran Rendah

No	Kecamatan	Ketinggian (MDPL)	Kelompok
1	Bantur	317	Dataran Rendah
2	Gondanglegi	360	Dataran Rendah
3	Kalipare	303	Dataran Rendah
4	Kasembon	239	Dataran Rendah
5	Kepanjen	336	Dataran Rendah
6	Kromengan	329	Dataran Rendah
7	Ngajum	372	Dataran Rendah
8	Pagelaran	339	Dataran Rendah
9	Pakisaji	395	Dataran Rendah
10	Sumberpucung	304	Dataran Rendah
11	Turen	391	Dataran Rendah

Table 4.3 Kelompok Dataran Sedang

No	Kecamatan	Ketinggian (MDPL)	Kelompok
1	Ampelgading	516	Dataran Sedang
2	Bululawang	406	Dataran Sedang
3	Dampit	427	Dataran Sedang
4	Dau	583	Dataran Sedang
5	Donomulyo	423	Dataran Sedang
6	Gedangan	494	Dataran Sedang
7	Jabung	519	Dataran Sedang
8	Lawang	501	Dataran Sedang
9	Pagak	521	Dataran Sedang
10	Pakis	490	Dataran Sedang
11	Singosari	494	Dataran Sedang
12	Sumbermanjing	598	Dataran Sedang
13	Tajinan	497	Dataran Sedang
14	Tirtoyudo	594	Dataran Sedang
15	Wagir	544	Dataran Sedang
16	Wajak	513	Dataran Sedang

Table 4.4 Kelompok Dataran Tinggi

No	Kecamatan	Ketinggian (MDPL)	Kelompok
1	Karangploso	630	Dataran Tinggi
2	Ngantang	651	Dataran Tinggi
3	Poncokusumo	685	Dataran Tinggi
4	Pujon	1157	Dataran Tinggi
5	Tumpang	607	Dataran Tinggi
6	Wonosari	773	Dataran Tinggi

Setelah dilakukan pengumpulan data, maka dilakukan normalisasi. Formula yang digunakan adalah normalisasi min-max, dengan skala nilai dari [0-100] dimana nilai *max* (*x*) diambil berdasarkan nilai tertinggi dari keseluruhan data dalam setiap kelompok variabel dengan rumus berikut.

$$x' = \left(\frac{x}{\max(x)} \right) \times 100$$

Dari keseluruhan data historis bulanan yang ada di Table 4.1 didapatkan nilai maksimum untuk setiap variabel yang ditunjukkan pada Table 4.5 dibawah ini.

Table 4.5 Nilai maksimum setiap variabel

Data	Nilai Maksimum
curah_hujan	898.7233333333332
suhu	27.81
kelembapan	88.84
ketinggian_wilayah	1157
proporsi_hutan	76.84
lahan_pertanian	2969
kepadatan_penduduk	2850.261096605744
ABJ	100

Selanjutnya seluruh data dinormalisasi sesuai variabel masing-masing dan dikelompokkan dalam tiga dataran dalam format bulanan. Sehingga hasilnya adalah data yang siap untuk diinput ke dalam model fuzzy, sebagai contoh yaitu Table 4.7 menunjukkan data bulan januari pada kelompok dataran rendah yang telah dinormalisasi.

Table 4.6 data kelompok Dataran Rendah Januari sebelum dinormalisasi

curah hujan	suhu	kelembapan	ketinggian wilayah	proporsi hutan	lahan pertanian	kepadatan penduduk	ABJ	Puskesmas
6.98	25.92	84	317	27.62	1253	480.74	87.97	Bantur
6.98	25.92	84	360	0	2969	1097.17	87.76	Gondanglegi
6.98	25.92	84	303	19.03	2907	646.94	88.20	Kalipare
7.45	24.20	81.81	239	55.42	715	555.85	84.61	Kasembon
6.98	25.92	84	336	0	2152	2404.43	86.63	Kepanjen
6.98	25.92	84	329	0	1522	1099.92	79.58	Kromengan
6.98	25.92	84	372	12	1692	873.07	93.78	Ngajum
6.98	25.92	84	339	0	2650	1612.46	72.80	Pagelaran
6.98	25.92	84	395	0	1458	2412.21	93.88	Pakisaji
6.98	25.92	84	304	14.89	1692	1610.47	77.41	Sumberpucung
6.98	25.92	84	391	0	2248	1910.94	96.10	Turen

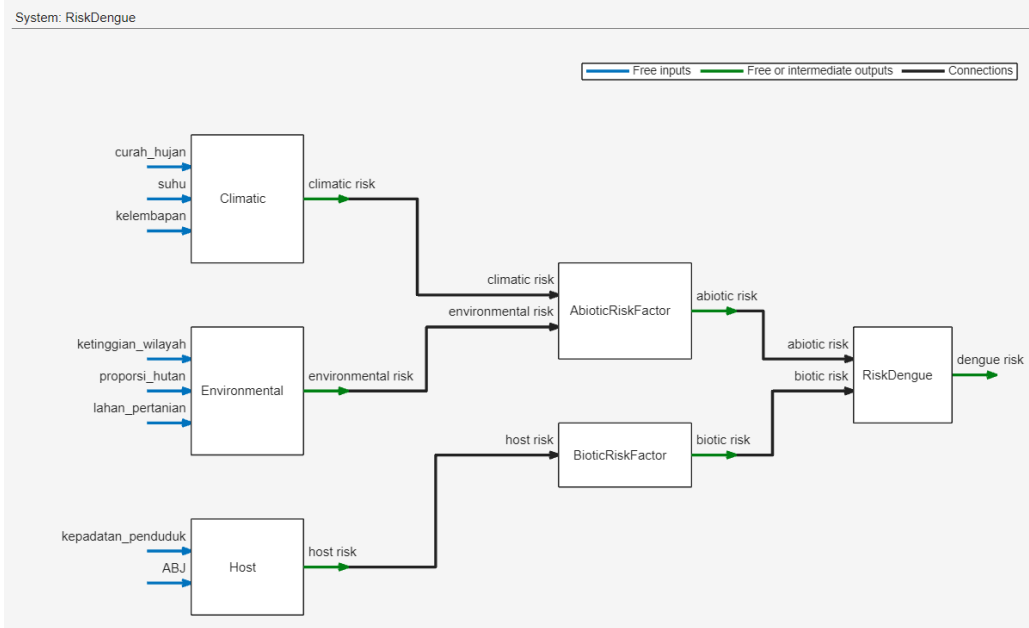
Table 4.7 data Dataran Rendah Januari setelah dilakukan normalisasi

curah hujan	suhu	kelembapan	ketinggian wilayah	proporsi hutan	lahan pertanian	kepadatan penduduk	ABJ
0.776743	93.21316	94.552	27.39844	35.94482	42.20276	16.86636	87.97057
0.776743	93.21316	94.552	31.11495	0	100	38.49352	87.75705
0.776743	93.21316	94.552	26.18842	24.76575	97.91175	22.69757	88.20464
0.829146	87.01906	92.0829	20.65687	72.12389	24.08218	19.50162	84.61358
0.776743	93.21316	94.552	29.04062	0	72.48232	84.35832	86.63387
0.776743	93.21316	94.552	28.43561	0	51.26305	38.59023	79.5797
0.776743	93.21316	94.552	32.15212	15.61687	56.98889	30.63125	93.77915
0.776743	93.21316	94.552	29.29991	0	89.25564	56.57233	72.79783
0.776743	93.21316	94.552	34.14002	0	49.10744	84.63121	93.88416
0.776743	93.21316	94.552	26.27485	19.37793	56.98889	56.50267	77.41327
0.776743	93.21316	94.552	33.7943	0	75.71573	67.04435	96.10178

Format data pada table 4.6 dituliskan dengan format dua angka desimal untuk memperkecil tempat penulisan, namun dalam pengolahan datanya digunakan angka sebenarnya. Setelah ini dilakukan step selanjutnya yaitu pembuatan model fuzzy.

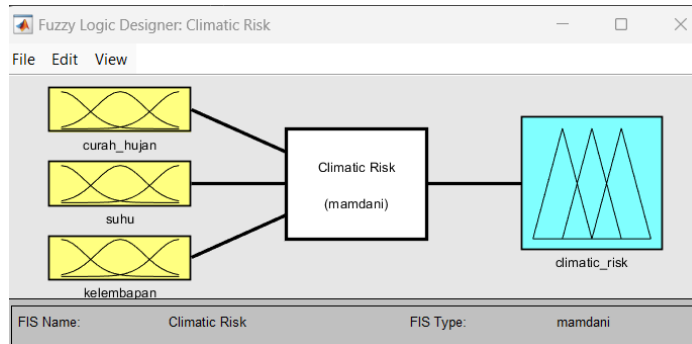
4.1.2 Pembuatan Model Penilaian Risiko

Pembuatan model penilaian risiko dilakukan menggunakan *Fuzzy Logic Designer* pada APPS MATLAB. Model dibuat menggunakan *custom FIS* dengan *Mamdani Type-1* yang terdiri dari enam *FIS*, delapan *input*, dan enam *output* yang ditunjukkan pada gambar 4.1.



Gambar 4.1 Model Penilaian Risiko

Dari gambar diatas dapat dilihat bahwa kotak persegi menggambarkan *Fuzzy Inference System*, dimana setiap *FIS* memiliki struktur model yang berbeda, salah satu contoh struktur model *FIS* pada *layer* satu untuk *climatic risk* dapat dilihat pada Gambar 4.2. Sehingga setiap *FIS* akan dihubungkan dengan garis *connection*. Rincian dari masing-masing garis koneksinya dapat dilihat pada Gambar 2.1.



Gambar 4.2 Struktur model climatic FIS

PROPERTY EDITOR: CONNECTIONS		
	From	To
1	Climatic/climatic risk	AbioticRiskFactor/climatic risk
2	Environmental/environmental risk	AbioticRiskFactor/environmental risk
3	Host/host risk	BioticRiskFactor/host risk
4	AbioticRiskFactor/abiotic risk	RiskDengue/abiotic risk
5	BioticRiskFactor/biotic risk	RiskDengue/biotic risk

Gambar 4.3 garis connection

Kemudian delapan input yang digunakan untuk penilaian risiko dapat dilihat pada gambar x.x, dan output yang dihasilkan dari model ini dapat dilihat pada gambar x.x.

PROPERTY EDITOR: TREE INPUTS		
	FIS	Input
1	Climatic	curah_hujan
2	Climatic	suhu
3	Climatic	kelembapan
4	Environmental	ketinggian_wilayah
5	Environmental	proporsi_hutan
6	Environmental	lahan_pertanian
7	Host	kepadatan_penduduk
8	Host	ABJ

Gambar 4.4 input model

PROPERTY EDITOR: TREE OUTPUTS			
Free Outputs			
Tree Output	FIS	Output	Unused Output
6	RiskDengue	dengue risk	<input type="checkbox"/>
Connected Outputs			
Tree Output	FIS	Output	Intermediate Output
1	Climatic	climatic risk	<input checked="" type="checkbox"/>
2	Environmental	environmental risk	<input checked="" type="checkbox"/>
3	Host	host risk	<input checked="" type="checkbox"/>
4	AbioticRiskFactor	abiotic risk	<input checked="" type="checkbox"/>
5	BioticRiskFactor	biotic risk	<input checked="" type="checkbox"/>

Gambar 4.5 output model

Pada gambar diatas terdapat connected output yang berarti outputnya digunakan sebagai input pada layer selanjutnya. Selanjutnya akan dijelaskan mengenai fuzzyifikasi dan cara penentuan aturan dasarnya.

4.1.2.1 Fuzzyifikasi

Setelah dilakukan pembuatan model, maka setiap input dan output dari model tersebut ditentukan fungsi keanggotaannya (MF) menggunakan Fuzzy C-Means (FCM) Clustering karena FCM memiliki fleksibilitas yang lebih besar dalam pengelompokannya, sehingga satu nilai data dapat menjadi anggota dari beberapa cluster dengan derajat keanggotaan yang berbeda. Pada fuzzyifikasi ini akan ada dua skenario penggunaan bentuk fungsi keanggotaan.

- **Skenario 1**

Semua variabel dibagi ke dalam tiga cluster dan menggunakan *triangular membership function* karena fungsi segitiga adalah aplikasi yang paling umum dalam logika fuzzy dan komputasinya yang efisien (Arslan and Karya dalam Liu, Ren, Wang, Shan, & Wong, 2023). Hasil pembagian tiga clusternya dapat dilihat pada Table 4.8.

Table 4.8 Hasil clustering tiga cluster

Variable	Cluster	Mean	Std	Min	Max
suhu	1	81.62211	1.934171	77.88565	84.51358
suhu	2	87.35961	1.623022	84.64581	90.47105
suhu	3	93.77251	1.801349	90.64969	100
kelembapan	1	81.9339	3.39607	69.82215	85.58082
kelembapan	2	89.24968	1.816856	85.77217	92.22197
kelembapan	3	95.00339	1.691431	92.25574	100
curah_hujan	1	0.352786	0.311839	0	0.919527
curah_hujan	2	1.435477	0.421235	0.931321	2.953078
curah_hujan	3	45.45989	23.63597	33.18151	100
kepadatan_penduduk	1	22.02719	7.284633	11.15231	33.68849
kepadatan_penduduk	2	49.01	8.29338	35.19186	65.45209
kepadatan_penduduk	3	82.26696	8.182652	65.55202	100
ABJ	1	59.13833	12.47274	0	70.22331
ABJ	2	81.61986	4.165781	70.31206	87.14044
ABJ	3	92.52265	3.728416	87.14286	100
ketinggian_wilayah	1	31.09958	4.282976	20.65687	36.90579
ketinggian_wilayah	2	49.14934	6.567589	42.35091	66.81072
ketinggian_wilayah	3	100	0	100	100
proporsi_hutan	1	4.335255	6.509425	0	15.61687
proporsi_hutan	2	34.50658	10.29608	19.37793	54.08641
proporsi_hutan	3	85.03674	12.9694	67.54295	100
lahan_pertanian	1	22.66501	6.304728	13.70832	33.04143
lahan_pertanian	2	47.73208	6.943872	37.95891	58.30246
lahan_pertanian	3	81.19278	12.14626	67.93533	100

Dari hasil pembagian clustering, parameter fungsi keanggotaannya diambil dari nilai minimal, mean dan maksimal, karena triangular membership function memiliki 3 titik. Titik pertama diambil dari nilai maksimal cluster sebelumnya, titik puncak diambil dari

mean pada cluster tersebut, dan titik akhir diambil dari nilai minimal cluster selanjutnya. Misalnya dalam mencari parameter untuk cluster dua, titik pertama mengambil dari nilai max cluster satu dan titik ketiga mengambil nilai min cluster tiga. Sehingga nilai cluster yang berada di antara titik satu dan titik tiga adalah anggota dari cluster dua, sedangkan nilai yang berada tepat pada titik satu dan tiga bukanlah anggota dari cluster dua. Hasil pembagian parameter pada membership function dapat dilihat pada Table 4.9.

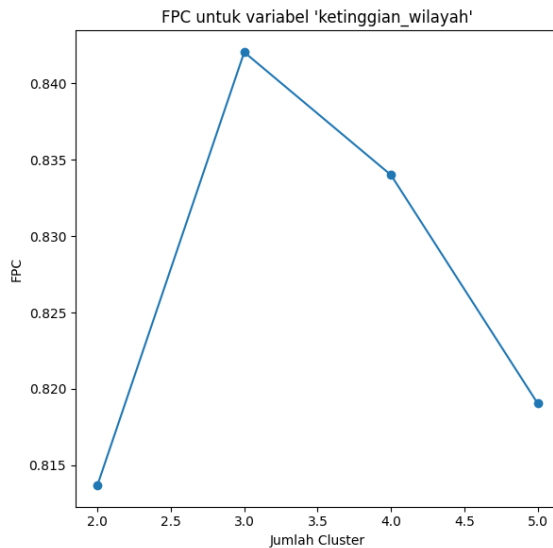
Table 4.9 Hasil pembagian parameter MF tiga cluster

Variabel	MF	Triangular		
		0	1	0
curah hujan	low	0	0.35	0.93
	medium	0.92	1.44	33.18
	high	2.95	45.46	100
suhu	low	0	81.62	84.65
	medium	84.51	87.36	90.65
	high	90.47	93.77	100
kelembapan	low	0	81.93	85.77
	medium	85.58	89.25	92.26
	high	92.22	95	100
ketinggian wilayah	low	0	31.10	42.35
	medium	36.91	49.15	100
	high	66.81	100	100
proporsi hutan	low	0	4.34	19.38
	medium	15.62	34.51	67.54
	high	54.09	85.04	100
lahan pertanian	low	0	22.67	37.96
	medium	33.04	47.73	67.94
	high	58.30	81.19	100
kepadatan penduduk	low	0	22.03	35.19
	medium	33.69	49.01	65.55
	high	65.45	82.27	100
ABJ	low	0	59.14	70.31
	medium	70.22	81.62	87.14
	high	87.14	92.52	100

- **Skenario 2**

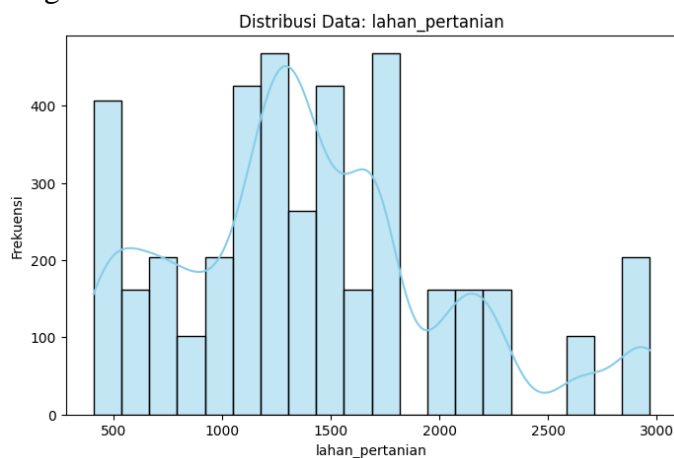
Setiap variabel dibagi ke dalam cluster acak dengan rentang jumlah cluster dua hingga lima, dimana cluster terbaik diidentifikasi dari nilai Fuzzy Partition Coefficient (FPC) nya. Salah satu hasil pembagian cluster pada variabel "ketinggian_wilayah" adalah tiga, hal ini dapat dilihat pada Gambar 4.6 FPC untuk variabel 'ketinggian_wilayah' Gambar

4.6 dimana nilai FPC tertinggi berada pada pembagian tiga cluster. Untuk hasil evaluasi FPC selengkapnya terdapat pada LAMPIRAN C.

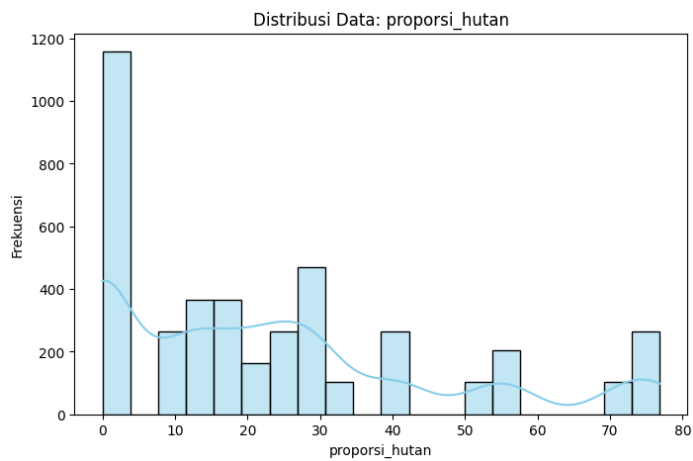


Gambar 4.6 FPC untuk variabel 'ketinggian_wilayah'

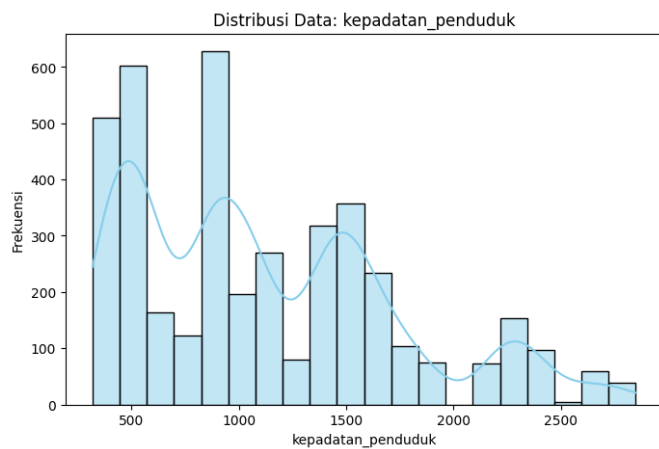
Kemudian bentuk fungsi keanggotannya disesuaikan dengan distribusi data dari masing-masing variabel. Distribusi data dapat dilihat menggunakan histogram untuk mengestimasi fungsi distribusi probabilitas (pdf) data dengan menggunakan teknik *kernel density estimation* (KDE) (Civanlar & Trussell, 1986). Sehingga setelah menggambar histogram dan garis KDE, dapat diperkirakan bentuk membership function yang sesuai dengan karakteristik distribusi data yang terlihat. Pada Gambar 4.7, garis KDE memiliki beberapa bentuk puncak yang tidak simetris dengan rentang yang cukup sempit sehingga data ini cocok untuk menggunakan bentuk fungsi keanggotaan segitiga. Selanjutnya pada Gambar 4.8, puncak clusternya didominasi oleh garis datar sehingga lebih sesuai untuk menggunakan fungsi keanggotaan trapesium. Sedangkan data kepadatan penduduk pada Gambar 4.9 , garis KDE nya menyerupai distribusi normal atau berbentuk simetris dengan puncak ditengah, sehingga sesuai dengan bentuk fungsi keanggotaan gaussian.



Gambar 4.7 Distribusi data lahan pertanian



Gambar 4.8 Distribusi data proporsi hutan



Gambar 4.9 Distribusi data kepadatan penduduk

Hasil pembagian cluster pada skenario dua dapat dilihat pada Table 4.10, setelah itu diidentifikasi parameteranya menyesuaikan dengan bentuk fungsi keanggotaan. Sehingga dihasilkan fungsi keanggotaan segitiga untuk variabel curah hujan, ketinggian wilayah dan lahan pertanian yang dapat dilihat pada Table 4.11. Kemudian dihasilkan fungsi keanggotaan gaussian pada variabel suhu, kelembapan, kepadatan penduduk, dan ABJ pada Table 4.12. Dan yang terakhir adalah fungsi keanggotaan trapesium pada variabel proporsi hutan yang dapat dilihat pada Table 4.13. Fungsi keanggotaan bentuk trapesium mempunyai empat titik, sehingga terdapat dua titik fungsi keanggotaan yang bernilai satu, dimana nilainya diambil dari mean dikurangi dengan standar deviasi dan mean ditambah standar deviasi.

Table 4.10 Hasil clustering berdasarkan distribusi data

Variable	Cluster	Mean	Std	Min	Max
suhu	1	85.96227	2.525929	77.88565	89.70394
suhu	2	93.37742	2.050304	89.78785	100
kelembapan	1	85.24323	3.824628	69.82215	89.56551
kelembapan	2	94.02286	2.296655	89.74561	100

Variable	Cluster	Mean	Std	Min	Max
curah_hujan	1	0.808242	0.64549	0	2.953078
curah_hujan	2	45.45989	23.63597	33.18151	100
kepadatan_penduduk	1	17.07987	3.418889	11.15231	25.26084
kepadatan_penduduk	2	33.78416	3.870736	25.32211	42.44746
kepadatan_penduduk	3	54.06789	5.572399	44.46014	68.01178
kepadatan_penduduk	4	83.78376	6.919848	74.57176	100
ABJ	1	65.60138	12.44918	0	78
ABJ	2	89.52616	5.440555	78.0639	100
ketinggian_wilayah	1	31.09958	4.282976	20.65687	36.90579
ketinggian_wilayah	2	49.14934	6.567589	42.35091	66.81072
ketinggian_wilayah	3	100	0	100	100
proporsi_hutan	1	16.79976	15.01047	0	43.53201
proporsi_hutan	2	76.07226	18.07232	51.69183	100
lahan_pertanian	1	20.48532	4.862271	13.70832	28.59549
lahan_pertanian	2	40.37314	4.284615	30.98686	44.59414
lahan_pertanian	3	54.18702	3.719142	49.10744	58.30246
lahan_pertanian	4	72.04446	3.191388	67.93533	75.71573
lahan_pertanian	5	95.72247	4.651527	89.25564	100

Table 4.11 Hasil pembagian parameter fungsi keanggotaan segitiga

Variabel	MF	Triangular		
		0	1	0
curah_hujan	rendah	0	1.22	8.22
	tinggi	7.53	16.07	100
ketinggian_wilayah	rendah	0	31.10	42.35
	sedang	36.91	49.15	100
	tinggi	66.81	100	100
lahan_pertanian	sangat sempit	0.00	20.49	30.99
	sempit	28.60	40.37	49.11
	sedang	44.59	54.19	67.94
	luas	58.30	72.04	89.26
	sangat luas	75.72	95.72	100

Table 4.12 Hasil pembagian parameter fungsi keanggotaan gaussian

Variabel	MF	Gaussian	
		SD (σ)	Mean
suhu	rendah	2.53	85.96
	tinggi	2.05	93.38
kelembapan	rendah	3.82	85.24
	tinggi	2.30	94.02

Variabel	MF	Gaussian	
		SD (σ)	Mean
kepadatan penduduk	sangat jarang	3.42	17.08
	jarang	3.87	33.78
	padat	5.57	54.07
	sangat padat	6.92	83.78
ABJ	rendah	12.45	65.60
	tinggi	5.44	89.53

Table 4.13 Hasil pembagian parameter fungsi keanggotaan trapesium

Variabel	MF	Trapezoidal			
		0	1	1	0
proporsi hutan	sempit	0	1.79	31.81	51.69
	luas	43.53	58	94.14	100

Masing-masing MF memiliki rentang [0-100] dimana setiap batas atas, bawah dan nilai tengahnya dicari berdasarkan persebaran data menggunakan *Fuzzy C-Means*. Nilai MF ini sudah dinormalisasi dari nilai aslinya, karena menyesuaikan dengan data input yang juga telah dinormalisasi. Kode Program 4.2 dan Kode Program 4.1 adalah kode untuk melakukan clustering dengan dua skenario, dimana kode pertama membagi cluster kedalam tiga cluster “*n_cluster = 3*”, sedangkan kode kedua membagi cluster dalam rentang dua hingga lima “*n_clusters_range = range(2, 6)*”.

```
# Import Library
import numpy as np
import pandas as pd
import skfuzzy as fuzz
import matplotlib.pyplot as plt

data_all_clean = pd.read_excel('normalized_data_all_raw.xlsx')

# Loop untuk setiap kolom (variabel)
results = {}
for column in data_all_clean.columns:
    data = data_all_clean[column].values.reshape(1, -1)
    n_clusters_range = range(2, 6)
    fpcs = []
    cluster_centers_list = []
    for n_clusters in n_clusters_range:
        cntr, u, _, _, _, _, fpc = fuzz.cmeans(
            data,
            c=n_clusters,
            m=2,
            error=0.005,
            maxiter=1000,
            init=None
        . . . . .

```

```

# Import Library
import numpy as np
import pandas as pd
import skfuzzy as fuzz

data_all_clean = pd.read_excel('normalized_data_all_raw.xlsx')

results = {}
for column in data_all_clean.columns:
    data = data_all_clean[column].values.reshape(1, -1)

    # FCM dengan 3 clusters
    n_clusters = 3
    cntr, u, _, _, _, _ = fuzz.cmeans(
        data,
        c=n_clusters,
        m=2,
        error=0.005,
        maxiter=1000,
        init=None
    )

    # Keanggotaan Cluster
    membership = np.argmax(u, axis=0)

    # Menghitung Parameter Membership Function
    mf_params = []
    for cluster_idx in range(n_clusters):
        cluster_data = data[0][membership == cluster_idx]

        if len(cluster_data) > 0:
            # Hitung parameter MF
            mean = np.mean(cluster_data)
            std = np.std(cluster_data)
            min_val = np.min(cluster_data)
            max_val = np.max(cluster_data)

            mf_params.append({
                'mean': mean,
                'std': std,
                'min': min_val,
                'max': max_val
            })

    . . . .

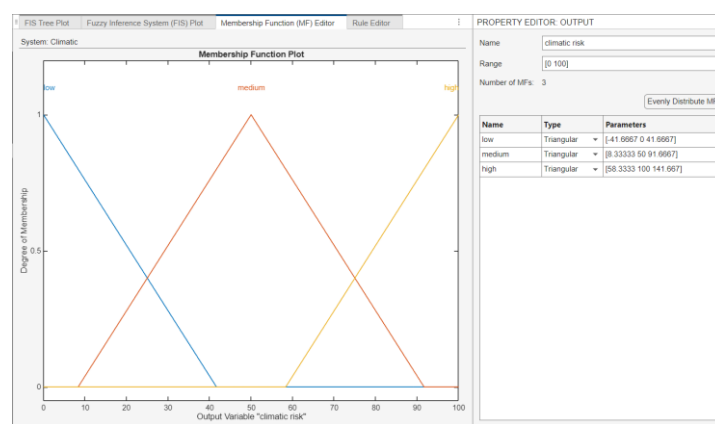
```

Kode Program 4.2 Algoritma clustering untuk tiga cluster

Sedangkan MF dari variabel outputnya didistribusi secara merata dan dilakukan secara otomatis dari *fuzzy tools*-nya. Hasil rentang MF setiap variabel output dapat dilihat pada Table 4.14, dan contoh dari salah satu grafik membershipnya dapat dilihat pada Gambar 4.11.

Table 4.14 Membership function output

Output	Label MF	Lower	Middle	Upper
climatic risk	low	-41.667	0	41.6667
	medium	8.33333	50	91.6667
	high	58.3333	100	141.667
environmental risk	low	-41.667	0	41.6667
	medium	8.33333	50	91.6667
	high	58.3333	100	141.667
host risk	low	-41.667	0	41.6667
	medium	8.33333	50	91.6667
	high	58.3333	100	141.667
abiotic risk	low	-41.667	0	41.6667
	medium	8.33333	50	91.6667
	high	58.3333	100	141.667
biotic risk	low	-41.667	0	41.6667
	medium	8.33333	50	91.6667
	high	58.3333	100	141.667
dengue risk	aman	-0.4167	0	0.41667
	waspada	0.08333	0.5	0.91667
	awas	0.58333	1	1.41667



Gambar 4.11 Grafik membership function dari climatic risk

Rentang membership function di atas adalah dari [0-100] dengan menggunakan tipe *triangular* membership function.

4.1.2.2 Aturan Dasar

Pembuatan aturan dasar dalam bentuk implikasi dibuat berdasarkan pengetahuan para ahli, ataupun penelitian sebelumnya yang menyebutkan parameter rentan penularan demam berdarah untuk setiap variabel yang terangkum pada Table 4.15, selanjutnya parameter ini disesuaikan dengan masing-masing rentang MF pada nilai persebaran data yang belum dinormalisasi seperti pada Table 4.16. Kemudian rules dibuat berdasarkan data dan referensi teori penelitian sebelumnya dengan tahapan, semua kemungkinan aturan dibuat terlebih dahulu, jika ada tiga kategori dengan tiga variabel, maka total aturan yang dibuat adalah 27. Kemudian dari aturan tersebut dihitung ada berapa kategori yang masuk ke dalam parameter rentan. Apabila ketiga variabel masuk kedalam parameter rentan maka bilai risikonya adalah high, jika jumlah parameter rentannya dua maka nilai risikonya medium, dan jika parameter rentannya hanya ada satu, maka nilai risikonya low seperti pada Table 4.17. Untuk contoh aturan atau implikasi yang digunakan pada MATLAB, dapat dilihat pada Gambar 4.12.

Table 4.15 Angka parameter rentan

Variabel	Parameter Rentan
Curah Hujan	4,3 - 20 mm
Suhu	26 - 30°C
Kelembapan Udara	60 - 90%
Ketinggian Wilayah	0-500 mdpl
Proporsi Hutan	Proporsi hutan rendah
Lahan Pertanian	Lahan pertanian luas
Kepadatan Penduduk	> 1000 jiwa/km ²
Angka Bebas Jentik	< 90%

Table 4.16 Parameter rentan yang belum dinormalisasi

Parameter yang rentan dalam penularan demam berdarah [REDACTED]

	Curah Hujan (mm)	Suhu (°C)	Kelembapan (%)
Low	0 - 298.21	0 - 23.54	0 - 76.2
Medium	26.54 - 898.72	23.50 - 25.20	76.03 - 81.96
High	341.92 - 898.72	25.16 - 27.81	81.93 - 88.84

Table 4.17 Aturan dasar untuk climatic factor risk

CLIMATIC FACTOR RULES BASE				
Rule	Curah Hujan	Suhu	Kelembapan	Risiko
1	Low	Low	Low	Low
2	Low	Low	Medium	Medium
3	Low	Low	High	Medium
4	Low	Medium	Low	Low
5	Low	Medium	Medium	Medium
6	Low	Medium	High	Medium
7	Low	High	Low	Medium
8	Low	High	Medium	High
9	Low	High	High	High

Rule	Weight	Name	
1 If curah_hujan is low and suhu is low and kelembapan is low then climatic risk is low	1	rule1	
2 If curah_hujan is low and suhu is low and kelembapan is medium then climatic risk is low	1	rule2	
3 If curah_hujan is low and suhu is low and kelembapan is high then climatic risk is low	1	rule3	
4 If curah_hujan is low and suhu is medium and kelembapan is low then climatic risk is low	1	rule4	
5 If curah_hujan is low and suhu is medium and kelembapan is medium then climatic risk is medium	1	rule5	
6 If curah_hujan is low and suhu is medium and kelembapan is high then climatic risk is medium	1	rule6	
7 If curah_hujan is low and suhu is high and kelembapan is low then climatic risk is medium	1	rule7	
8 If curah_hujan is low and suhu is high and kelembapan is medium then climatic risk is medium	1	rule8	
9 If curah_hujan is low and suhu is high and kelembapan is high then climatic risk is high	1	rule9	
10 If curah_hujan is [No Title] and suhu is low and kelembapan is low then climatic risk is low	1	rule10	
11 If curah_hujan is medium and suhu is low and kelembapan is medium then climatic risk is medium	1	rule11	
12 If curah_hujan is medium and suhu is low and kelembapan is high then climatic risk is medium	1	rule12	
13 If curah_hujan is medium and suhu is medium and kelembapan is low then climatic risk is medium	1	rule13	
14 If curah_hujan is medium and suhu is medium and kelembapan is medium then climatic risk is high	1	rule14	
15 If curah_hujan is medium and suhu is medium and kelembapan is high then climatic risk is high	1	rule15	
16 If curah_hujan is medium and suhu is high and kelembapan is low then climatic risk is medium	1	rule16	
17 If curah_hujan is medium and suhu is high and kelembapan is medium then climatic risk is high	1	rule17	
18 If curah_hujan is medium and suhu is high and kelembapan is high then climatic risk is high	1	rule18	
19 If curah_hujan is high and suhu is low and kelembapan is low then climatic risk is low	1	rule19	
20 If curah_hujan is high and suhu is low and kelembapan is medium then climatic risk is low	1	rule20	
21 If curah_hujan is high and suhu is low and kelembapan is high then climatic risk is medium	1	rule21	
22 If curah_hujan is high and suhu is medium and kelembapan is low then climatic risk is medium	1	rule22	

Gambar 4.12 Implikasi dari climatic risk

Detail untuk aturan dari masing-masing variabel pada setiap layer dapat dilihat pada LAMPIRAN A.

4.1.3 Uji Coba

Pada uji coba, data yang digunakan sebagai input didistribusi terlebih dahulu untuk setiap bulan dan dikelompokkan berdasarkan kelompok ketinggian. Kemudian data diurutkan sesuai variabel input, sehingga pada kolom1 berisi data curah hujan, kolom2 berisi data suhu, dan seterusnya. Sehingga data input untuk bulan januari bisa dilihat pada Table 4.18, Table 4.19, dan Table 4.20.

Table 4.18 Input januari pada dataran rendah

curah_hujan	suhu	kelembapan	ketinggian_wilayah	proporsi_hutan	lahan_pertanian	kepadatan_penduduk	ABJ
0.776743	93.21316	94.552	27.39844	35.94482	42.20276	16.86636	87.97057
0.776743	93.21316	94.552	31.11495	0	100	38.49352	87.75705
0.776743	93.21316	94.552	26.18842	24.76575	97.91175	22.69757	88.20464
0.829146	87.01906	92.0829	20.65687	72.12389	24.08218	19.50162	84.61358
0.776743	93.21316	94.552	29.04062	0	72.48232	84.35832	86.63387
0.776743	93.21316	94.552	28.43561	0	51.26305	38.59023	79.5797
0.776743	93.21316	94.552	32.15212	15.61687	56.98889	30.63125	93.77915
0.776743	93.21316	94.552	29.29991	0	89.25564	56.57233	72.79783
0.776743	93.21316	94.552	34.14002	0	49.10744	84.63121	93.88416
0.776743	93.21316	94.552	26.27485	19.37793	56.98889	56.50267	77.41327
0.776743	93.21316	94.552	33.7943	0	75.71573	67.04435	96.10178

Table 4.19 Input januari pada dataran sedang

curah_hujan	suhu	kelembapan	ketinggian_wilayah	proporsi_hutan	lahan_pertanian	kepadatan_penduduk	ABJ
0.776743	93.21316	94.552	44.5981	51.69183	13.70832	25.68662	88.34147
0.776743	93.21316	94.552	35.09075	0	56.48366	50.1589	91.2544
0.776743	93.21316	94.552	36.90579	20.11973	43.75211	33.11909	82.42489
0.829146	87.01906	92.0829	50.38894	43.53201	15.08926	59.50904	82.24984
0.776743	93.21316	94.552	36.56007	37.55856	67.93533	12.36155	86.57727
0.776743	93.21316	94.552	42.69663	31.23373	25.63153	15.43826	87.63665
0.829146	87.01906	92.0829	44.85739	54.08641	39.2388	19.20753	88.26652
0.829146	87.01906	92.0829	43.30164	11.04893	21.55608	57.32972	73.48466
0.776743	93.21316	94.552	45.03025	15.07028	17.7164	19.49394	93.19256
0.829146	87.01906	92.0829	42.35091	0	57.69619	99.21351	88.15819
0.776743	93.21316	94.552	42.69663	36.66059	44.52678	53.63006	92.10764
0.829146	87.01906	92.0829	51.68539	74.10203	28.59549	14.55357	89.60298
0.829146	87.01906	92.0829	42.95592	0	58.30246	49.73935	77.79816
0.776743	93.21316	94.552	51.33967	67.54295	16.80701	16.3142	73.05044
0.829146	87.01906	92.0829	47.01815	39.67985	37.95891	42.07675	92.06629
0.829146	87.01906	92.0829	44.33881	32.86049	43.81947	32.2606	98.40919

Table 4.20 input januari pada dataran tinggi

curah_hujan	suhu	kelembapan	ketinggian_wilayah	proporsi_hutan	lahan_pertanian	kepadatan_penduduk	ABJ
0.829146	87.01906	92.0829	54.45117	28.35763	38.161	51.36171	56.00248
0.829146	87.01906	92.0829	56.26621	92.1265	33.04143	13.84258	92.22137
0.829146	87.01906	92.0829	59.20484	100	49.44426	32.83104	96.7103
0.829146	87.01906	92.0829	100	95.52317	43.28057	18.46666	88.93731
0.829146	87.01906	92.0829	52.46327	24.53149	44.59414	38.16663	92.89035
0.776743	93.21316	94.552	66.81072	14.23738	30.98686	32.32719	84.64326

Untuk data input lain yang telah dinormalisasi dapat dilihat pada LAMPIRAN B. Kemudian data yang telah diimport di MATLAB dikonversi ke dalam array numerik menggunakan fungsi ‘table2array’ karena logika fuzzy memerlukan input berupa array, bukan tabel. Selanjutnya fungsi ‘evalfis’ akan mengevaluasi FIS (Fuzzy Inference System) menggunakan data input. Kode yang digunakan dapat dilihat pada Kode Program 4.3.

```
>> januari_dataran_rendah = table2array(januari);
>> output_januari_dataran_rendah = evalfis(RiskDengue, januari_dataran_rendah);
```

Kode Program 4.3 Kode untuk melakukan uji coba

Pada Table 4.21Table 4.21 dan Table 4.22 adalah contoh hasil keluaran di bulan januari pada dataran rendah, dataran sedang dan dataran tinggi.

Table 4.21 output penilaian risiko fuzzy model dataran rendah januari skenario 1

Kecamatan	Layer 2			Layer 3			Final Risk
	Climatic Factors	Environmental Factors	Host Factors	Abiotic Risk	Biotic Risk		
Bantur	86.44	13.56	13.56	50	23.27	0.359036	
Gondanglegi	86.44	50	50	76.73	50	0.640964	
Kalipare	86.44	50	13.56	76.73	23.27	0.5	
Kasembon	50	13.56	50	23.27	50	0.359036	
Kepanjen	86.44	50	86.44	76.73	76.73	0.727148	
Kromengan	86.44	50	86.44	76.73	76.73	0.727148	
Ngajum	86.44	50	13.56	76.73	23.27	0.5	
Pagelaran	86.44	50	86.44	76.73	76.73	0.727148	
Pakisaji	86.44	50	50	76.73	50	0.640964	
Sumberpucung	86.44	13.61	86.44	50.02	76.73	0.640964	
Turen	86.44	50	50	76.73	50	0.640964	

Table 4.22 output penilaian risiko fuzzy model dataran rendah januari skenario 2

Kecamatan	Layer 2			Layer 3			Final
	Climatic Factors	Environmental Factors	Host Factors	Abiotic Risk	Biotic Risk		
Bantur	78.32	50.00	29.18	61.54	44.63	0.5189	
Gondanglegi	78.32	50.00	35.10	61.54	47.79	0.5189	
Kalipare	78.32	83.96	40.43	66.39	49.68	0.5511	
Kasembon	47.23	14.83	35.34	29.30	47.89	0.4154	
Kepanjen	78.32	50.00	53.25	61.54	50.00	0.5189	
Kromengan	78.32	50.00	47.01	61.54	50.00	0.5189	
Ngajum	78.32	50.00	22.82	61.54	39.60	0.5061	
Pagelaran	78.32	50.00	85.02	61.54	70.45	0.6127	
Pakisaji	78.32	50.00	50.91	61.54	50.00	0.5189	
Sumberpucung	78.32	50.00	75.78	61.54	59.12	0.5274	
Turen	78.32	50.00	53.83	61.54	50.00	0.5189	

4.1.4 Evaluasi Model

Setelah melakukan penilaian risiko, selanjutnya dilakukan evaluasi terhadap model fuzzy yang telah dibuat dengan cara membandingkan hasil keluaran model fuzzy dengan aturan yang divalidasi oleh pakar. Sehingga dilakukan pencocokan antara nilai derajat keanggotaan untuk setiap variabel input, aturan fuzzy, hingga hasil akhir berupa nilai yang telah melalui defuzzifikasi dan kategorinya dari fungsi keanggotaannya. Evaluasi ini bertujuan untuk menilai apakah model yang dibuat memberikan hasil yang konsisten dengan logika yang diharapkan dan sesuai aturan dari pakar. Kemudian rumus yang digunakan untuk menghitung derajat

keanggotaan setiap bentuk berbeda, dimana fungsi keanggotaan segitiga menggunakan rumus Persamaan 2.1, fungsi keanggotaan trapesium menggunakan Persamaan 2.2 , dan fungsi kurva gauss menggunakan Persamaan 2.3. Salah satu contoh perhitungan pada Kecamatan Bantur di bulan Januari menggunakan skenario 1 adalah sebagai berikut.

Pada layer pertama terdapat input curah hujan dengan nilai 0.776743, karena bentuk fungsinya berbentuk segitiga, maka derajat keanggotannya dapat dihitung dengan Persamaan 2.1. Nilai a,b,c yang digunakan dapat dilihat pada tabel dibawah.

Variabel	MF	Triangular		
		a	b	c
curah hujan	low	0	0.35	0.93
	medium	0.92	1.44	33.18
	high	2.95	45.46	100

$$\text{Segitiga}(x; a, b, c) = \begin{cases} 0; x \leq a \\ \frac{(x-a)}{(b-a)}; a \leq x \leq b \\ \frac{(c-x)}{(c-b)}; b \leq x \leq c \\ 0; c \geq x \end{cases}$$

Pada kategori low, nilai derajat keanggotannya adalah 0.26 karena $b \leq x \leq c$, maka nilainya dihitung menggunakan $\frac{(c-x)}{(c-b)} = \frac{(0.153257)}{(0.58)} = 0.264$. Kemudian pada kategori medium dan high, nilai derajat keanggotannya adalah 0 karena $x \leq a$. Sehingga input curah hujan dikategorikan sebagai low. Perhitungan ini juga berlaku pada semua input karena memiliki bentuk fungsi yang sama yaitu segitiga, namun berbeda pada nilai (a, b, c) nya. Untuk mendapatkan *climatic risk*, diperlukan dua input lagi yaitu suhu dan kelembapan. Pada Kecamatan Bantur di bulan Januari, nilai suhu dan kelembapan yang sudah dinormalisasi adalah 93.21316 dan 94.552. Setelah dihitung didapatkan derajat keanggotaan pada variabel suhu yaitu pada kategori high sebesar 0.83, sedangkan pada kelembapan didapatkan derajat keanggotaan pada kategori high sebesar 0.84. Untuk hasil perhitungan derajat keanggotaan yang lebih jelas dapat dilihat pada Table 4.23.

Table 4.23 Hasil contoh perhitungan derajat keanggotaan

Variabel	Triangular		
	low	medium	high
curah hujan	0.26	0	0
suhu	0	0	0.83
kelembapan	0	0	0.84

Dari hasil keadaan tersebut, didapatkan output *climatic risk* yang dapat dilihat pada Table 4.21 sebesar 86.44. Output tersebut masuk kedalam kategori high dengan derajat keanggotaan medium sebesar 0.13 dan high sebesar 0.67. Karena derajat keanggotaan pada kategori high

lebih besar, maka output tersebut termasuk ke dalam kategori high. Sehingga apabila dibandingkan dengan aturannya maka sesuai dengan salah satu rule yang telah dibuat yaitu “*jika curah hujan low, dan suhu high, dan kelembapan high, maka risiko faktor iklimnya adalah high*”. Hasil perbandingan pada dataran rendah bulan Januari dapat dilihat pada tabel dibawah, dimana Table 4.24 adalah hasil perbandingan dari skenario 1 dan Table 4.25 adalah hasil perbandingan dari skenario 2.

Table 4.24 Hasil perbandingan risiko skenario 1 dengan rule pakar pada dataran rendah bulan januari

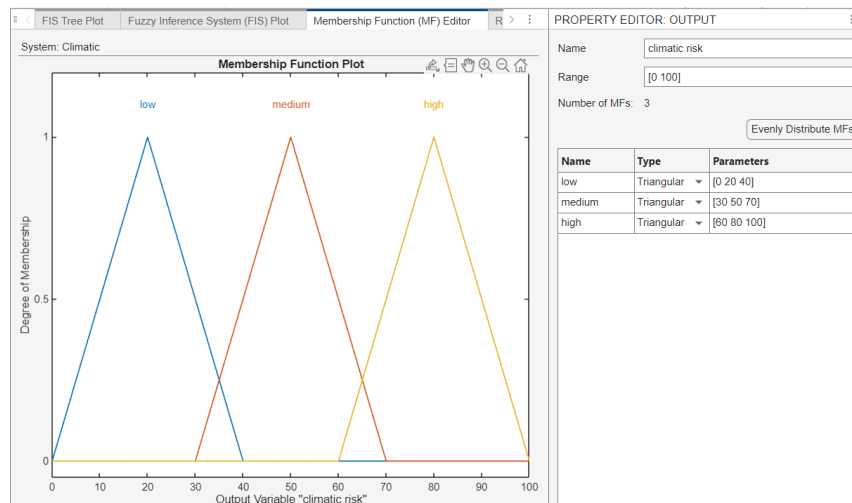
Kecamatan	Abiotic Risk				Biotic Risk			Risk Dengue	Check
	Climatic Factors	Environmental Factors	Hasil abiotic risk	Check	Host Factors	Hasil biotic risk	Check		
Bantur	High	Low	Medium	TRUE	Low	Low	TRUE	Meidum	FALSE
Gondanglegi	High	Medium	High	TRUE	Medium	Medium	TRUE	Medium	FALSE
Kalipare	High	Medium	High	TRUE	Low	Low	TRUE	Medium	TRUE
Kasembon	Medium	Low	Low	TRUE	Medium	Medium	TRUE	Medium	FALSE
Kepanjen	High	Medium	High	TRUE	High	High	TRUE	Medium	FALSE
Kromengan	High	Medium	High	TRUE	High	High	TRUE	Medium	FALSE
Ngajum	High	Medium	High	TRUE	Low	Low	TRUE	Medium	TRUE
Pagelaran	High	Medium	High	TRUE	High	High	TRUE	Medium	FALSE
Pakisaji	High	Medium	High	TRUE	Medium	Medium	TRUE	Medium	FALSE
Sumberpucung	High	Low	Medium	TRUE	High	High	TRUE	Medium	FALSE
Turen	High	Medium	High	TRUE	Medium	Medium	TRUE	Medium	FALSE

Table 4.25 Hasil perbandingan risiko skenario 2 dengan rule pakar pada dataran rendah bulan januari

Kecamatan	Abiotic Risk				Biotic Risk			Risk Dengue	Check
	Climatic Factors	Environmental Factors	Hasil abiotic risk	Check	Host Factors	Hasil biotic risk	Check		
Bantur	High	Medium	Medium	FALSE	Medium	Medium	TRUE	Meidum	FALSE
Gondanglegi	High	Medium	Medium	FALSE	Medium	Medium	TRUE	Medium	FALSE
Kalipare	High	High	Medium	FALSE	Medium	Medium	TRUE	Medium	FALSE
Kasembon	Medium	Low	Medium	FALSE	Medium	Medium	TRUE	Medium	FALSE
Kepanjen	High	Medium	Medium	FALSE	Medium	Medium	TRUE	Medium	FALSE
Kromengan	High	Medium	Medium	FALSE	Medium	Medium	TRUE	Medium	FALSE
Ngajum	High	Medium	Medium	FALSE	Low	Medium	FALSE	Medium	FALSE
Pagelaran	High	Medium	Medium	FALSE	High	Medium	FALSE	Medium	FALSE
Pakisaji	High	Medium	Medium	FALSE	Medium	Medium	TRUE	Medium	FALSE
Sumberpucung	High	Medium	Medium	FALSE	High	Medium	FALSE	Medium	FALSE
Turen	High	Medium	Medium	FALSE	Medium	Medium	TRUE	Medium	FALSE

Perbandingan di atas dilihat dari aturan setiap layer. Namun masih banyak terdapat perbandingan FALSE terhadap aturan yang sudah divalidasi oleh pakar. Dalam skenario 1, aturan pada layer 1 dan 2 sudah sesuai, namun pada layer terakhir untuk menentukan risiko finalnya masih terdapat banyak kesalahan dimana hanya ada dua aturan yang benar. Kemudian pada skenario 2 terdapat lebih banyak kesalahan pada layer 2, sehingga seharusnya sudah tidak sesuai untuk masuk ke layer 3 atau final risk. Karena kedua skenario belum sesuai dengan aturan, maka dilakukan pengaturan ulang pada parameter fungsi keanggotaannya.

Pada skenario sebelumnya, parameter fungsi keanggotaan pada layer 2 dan 3 dibagi secara otomatis dari tools sehingga dibuat sama dan simetris. Sehingga untuk memperbaikinya dilakukan pengaturan ulang pada parameternya sesuai acuan referensi lain, dimana batas dari *low* adalah 40, dan batas dari *high* adalah lebih dari 60 (Liu, Ren, Wang, Shan, & Wong, 2023). Gambar grafik membership function yang lama dapat dilihat pada Gambar 4.11, sedangkan grafik yang baru dapat dilihat pada Gambar 4.13. Semua parameter output diatur kembali sesuai pada Table 4.26.



Gambar 4.13 Perbaikan grafik membership function dari climatic risk

Table 4.26 Revisi membership function output

Output	Label MF	Lower	Middle	Upper
climatic risk	low	0	20	40
	medium	30	50	70
	high	60	80	100
environmental risk	low	0	20	40
	medium	30	50	70
	high	60	80	100
host risk	low	0	20	40
	medium	30	50	70
	high	60	80	100

Output	Label MF	Lower	Middle	Upper
abiotic risk	low	0	20	40
	medium	30	50	70
	high	60	80	100
biotic risk	low	0	20	40
	medium	30	50	70
	high	60	80	100
dengue risk	aman	0	20	40
	waspada	30	50	70
	awas	60	80	100

Table 4.27 revisi output skenario 1

Kecamatan	Layer 2			Layer 3			Final
	Climatic Factors	Environmental Factors	Host Factors	Abiotic Risk	Biotic Risk		
Bantur	82.03	15.05	19.02	48.14	30.83	0.230806908	
Gondanglegi	82.03	50	50	69.97	50	0.798852589	
Kalipare	82.03	50	18.60	69.97	30.51	0.518111578	
Kasembon	50	15.33	50	27.87	50	0.2	
Kepanjen	82.03	50	80.35	69.97	68.71	0.798936881	
Kromengan	82.03	50	82.54	69.97	70.37	0.8	
Ngajum	82.03	50	17.23	69.97	29.45	0.498852589	
Pagelaran	82.03	50	81.67	69.97	69.69	0.798879727	
Pakisaji	82.03	50	50	69.97	50	0.798852589	
Sumberpucung	82.03	18.64	84.41	50.36	71.91	0.8	
Turen	82.03	50	50	69.97	50	0.798852589	

Table 4.28 revisi output skenario 2

Kecamatan	Layer 2			Layer 3			Final
	Climatic Factors	Environmental Factors	Host Factors	Abiotic Risk	Biotic Risk		
Bantur	74.30	50	27.93	80	20	0.5	
Gondanglegi	74.30	50	32.43	80	28.12	0.5	
Kalipare	74.30	80	33.20	80	30.27	0.5103	
Kasembon	41.96	20	31.17	20	24.25	0.2	
Kepanjen	74.30	50	59.02	80	50	0.8	
Kromengan	74.30	50	42.08	80	50	0.8	
Ngajum	74.30	50	24.19	80	20	0.5	

Kecamatan	Layer 2			Layer 3			Final
	Climatic Factors	Environmental Factors	Host Factors	Abiotic Risk	Biotic Risk		
Pagelaran	74.30	50	79.46	80	80	0.8	
Pakisaji	74.30	50	54.07	80	50	0.8	
Sumberpucung	74.30	50	75.32	80	80	0.8	
Turen	74.30	50	63.66	80	61.51	0.8	

Setelah didapatkan outputnya, maka dibandingkan kembali dengan rule yang telah dibuat dan didapatkan hasil seperti pada Table 4.29 dan Table 4.30.

Table 4.29 Hasil validasi ulang pada skenario1

Kecamatan	Abiotic Risk				Biotic Risk			Risk Dengue	Check
	Climatic Factors	Environmental Factors	Hasil abiotic risk	Check	Host Factors	Hasil biotic risk	Check		
Bantur	High	Low	Medium	TRUE	Low	Low	TRUE	Low	TRUE
Gondanglegi	High	Medium	High	TRUE	Medium	Medium	TRUE	High	TRUE
Kalipare	High	Medium	High	TRUE	Low	Low	TRUE	Medium	TRUE
Kasembon	Medium	Low	Low	TRUE	Medium	Medium	TRUE	Low	TRUE
Kepanjen	High	Medium	High	TRUE	High	High	TRUE	High	TRUE
Kromengan	High	Medium	High	TRUE	High	High	TRUE	High	TRUE
Ngajum	High	Medium	High	TRUE	Low	Low	TRUE	Medium	TRUE
Pagelaran	High	Medium	High	TRUE	High	High	TRUE	High	TRUE
Pakisaji	High	Medium	High	TRUE	Medium	Medium	TRUE	High	TRUE
Sumberpucung	High	Low	Medium	TRUE	High	High	TRUE	High	TRUE
Turen	High	Medium	High	TRUE	Medium	Medium	TRUE	High	TRUE

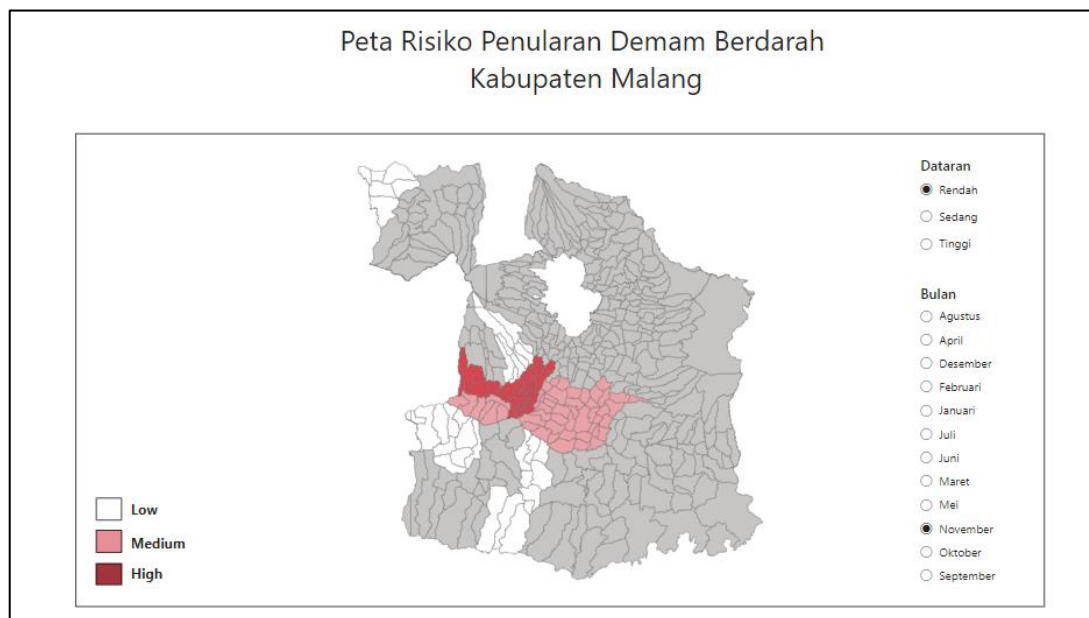
Table 4.30 Hasil validasi ulang pada skenario2

Kecamatan	Abiotic Risk				Biotic Risk			Risk Dengue	Check
	Climatic Factors	Environmental Factors	Hasil abiotic risk	Check	Host Factors	Hasil biotic risk	Check		
Bantur	High	Medium	High	TRUE	Low	Low	TRUE	Medium	TRUE
Gondanglegi	High	Medium	High	TRUE	Low	Low	TRUE	Medium	TRUE
Kalipare	High	High	High	TRUE	Low	Low	TRUE	Medium	TRUE
Kasembon	Medium	Low	Low	TRUE	Low	Low	TRUE	Low	TRUE
Kepanjen	High	Medium	High	TRUE	Medium	Medium	TRUE	High	TRUE
Kromengan	High	Medium	High	TRUE	Medium	Medium	TRUE	High	TRUE
Ngajum	High	Medium	High	TRUE	Low	Low	TRUE	Medium	TRUE
Pagelaran	High	Medium	High	TRUE	High	High	TRUE	High	TRUE

Kecamatan	Abiotic Risk				Biotic Risk			Risk Dengue	Check
	Climatic Factors	Environmental Factors	Hasil abiotic risk	Check	Host Factors	Climatic Factors	Check		
Pakisaji	High	Medium	High	TRUE	Medium	Medium	TRUE	High	TRUE
Sumberpucung	High	Medium	High	TRUE	High	high	TRUE	High	TRUE
Turen	High	Medium	High	TRUE	Medium	Medium	TRUE	High	TRUE

4.1.5 Visualisasi Hasil

Visualisasi ini menunjukkan peta risiko penularan Demam Berdarah Dengue (DBD) di Dataran Rendah Kabupaten Malang untuk bulan Januari berdasarkan hasil pemodelan fuzzy. Warna dalam peta mencerminkan tingkat risiko penularan, dimana terdapat tiga tingkat risiko penularan yaitu Low, Medium, dan High. Hasil visualisasi ini dapat dilihat pada Gambar 4.14.



Gambar 4.14 Visualisasi Hasil

4.2 Pembahasan

Berdasarkan hasil uji coba yang dilakukan, model fuzzy penilaian risiko wilayah untuk penularan Demam Berdarah Dengue (DBD) memberikan gambaran yang cukup baik terhadap tingkat risiko di Kabupaten Malang. Dua skenario fungsi keanggotaan, yaitu skenario 1 menggunakan fungsi segitiga dan skenario 2 dengan kombinasi fungsi keanggotaan berbasis distribusi data, menunjukkan perbedaan dalam konsistensi hasil. Skenario 1 menunjukkan hasil yang lebih konsisten dibandingkan skenario 2. Hal ini dikarenakan sifat fungsi segitiga yang sederhana dan efisien dalam memetakan data fuzzy. Sebaliknya, pada skenario 2, bentuk fungsi keanggotaan yang lebih kompleks cenderung menghasilkan output yang lebih sensitif terhadap perubahan kecil dalam data input. Namun validasi hasil model terhadap kondisi sebenarnya masih memerlukan pengujian lebih lanjut, khususnya dengan melibatkan pakar epidemiologi. Proses validasi manual yang dilakukan menunjukkan adanya beberapa perbedaan dalam klasifikasi risiko, yang dapat diatasi dengan revisi aturan fuzzy berdasarkan masukan pakar.

BAB 5 Kesimpulan dan Saran

Pada bagian ini dijelaskan mengenai kesimpulan dari percobaan Tugas Akhir yang dilakukan dan juga saran untuk penelitian dimasa mendatang.

5.1 Kesimpulan

Berdasarkan hasil uji coba yang telah dilakukan, didapatkan kesimpulan bahwa:

1. Model fuzzy dapat memetakan risiko wilayah berdasarkan data kondisi spesifik yang membagi wilayah ke dalam beberapa kategori seperti rendah, sedang, dan tinggi.
2. Bentuk dan parameter membership function yang digunakan mempengaruhi hasil output penilaian risiko, dimana terdapat perbedaan hasil dari dua skenario tersebut terhadap risiko wilayah terkena dampak demam berdarah pada beberapa kecamatan.
3. Skenario 1 memberikan hasil yang lebih stabil dan konsisten dibandingkan skenario 2. Pada skenario 1, klasifikasi risiko lebih jelas karena semua variabel dibagi menjadi tiga cluster dengan rentang yang seimbang.
4. Output dari skenario 2 memiliki lebih banyak ketidakstabilan terhadap aturan dasar yang digunakan karena pengaturan parameternya yang lebih kompleks dan membutuhkan validasi lebih lanjut.
5. Risiko wilayah penularan DBD paling rendah didapatkan pada kecamatan Bantur dan Kasembon yang memiliki proporsi hutan tinggi, sekitar 41 – 76% dan kepadatan penduduk rendah, yaitu dibawah 1003.06 jiwa/km². Berdasarkan Table 2.4, proporsi hutan yang tinggi dapat menjadi penghalang pergerakan nyamuk DBD dari satu rumah ke rumah lainnya karena nyamuk *aedes aegypti* hidup di pemukiman masyarakat dengan jarak terbang sekitar 40-100 m, dan bisa mencapai 434 m pada kondisi angin tenang.
6. Risiko wilayah penularan DBD paling tinggi didapatkan oleh kecamatan yang memiliki Angka Bebas Jentik dengan kategori *low* yaitu dibawah 76.2% dan kepadatan penduduk *medium* hingga *high* yaitu 960.21 - 2850.26 jiwa/km.
7. Parameter pada model penilaian risiko ini dibuat berdasarkan data historis, sehingga apabila nantinya terdapat *outlier* atau data input diluar range dari parameter yang ditentukan pada LAMPIRAN A, maka model ini tidak dapat menangani penilaian dengan baik.
8. Validasi hasil model dilakukan secara manual, yang berpotensi menimbulkan bias dan kesalahan.

5.2 Saran

Berdasarkan hasil percobaan, berikut adalah saran untuk pengembangan lebih lanjut:

1. Melakukan validasi dengan Pakar. Aturan fuzzy yang digunakan dalam model sebaiknya divalidasi oleh pakar epidemiologi untuk memastikan kesesuaian hasil model dengan kondisi di lapangan.
2. Penambahan fitur peramalan, sehingga penelitian selanjutnya dapat mengembangkan model dengan memasukkan fitur peramalan variabel input seperti kepadatan penduduk dan Angka Bebas Jentik (ABJ), sehingga model dapat memproyeksikan risiko penularan di masa depan.

3. Melakukan komparasi dengan metode lain untuk mengukur keandalan model fuzzy, sehingga hasil penilaian risiko fuzzy dapat dibandingkan dengan hasil risiko lain yang sepadan.
4. Optimalisasi skenario1 sebagai basis untuk pengembangan model risiko wilayah di masa depan terutama untuk aplikasi yang membutuhkan pemetaan risiko sederhana, seperti melakukan pembobotan pada variabel input.

DAFTAR PUSTAKA

- Amelinda, Y. S., Wulandari, R. A., & Al Asyary. (2022). The effects of climate factors, population density, and vector density on the incidence of dengue hemorrhagic fever in South Jakarta Administrative City 2016-2020: an ecological study. *Acta Biomedica*, 93, 1-10. doi:10.23750/abm.v93i6.13503
- Aminudin, M. (2024, April 25). *DBD Merebak di Malang, Relawan Pemuda Desa Pringu Fogging Secara Mandiri*. Retrieved May 19, 2024, from detikjatim: <https://www.detik.com/jatim/berita/d-7311084/dbd-merebak-di-malang-relawan-pemuda-desa-pringu-fogging-secara-mandiri>
- Anggraeni, W., Pramana, I. A., Samopa, F., Riksakomara, E., Wibowo, R. P., T., L. C., & Pujiadi. (2017). Forecasting The Number of Dengue Fever Cases in Malang Regency Indonesia Using Fuzzy Inference System Models. *Journal of Theoretical and Applied Information Technology*, 95.
- Civanlar, M. R., & Trussell, H. J. (1986). Constructing Membership Functions. *Fuzzy Sets and Systems* 18, 1-13.
- Ditjen P2P. (2024, Maret 21). *Kasus DBD sedang tinggi, Waspada Komplikasi nya*. Retrieved April 4, 2024, from Kemenkes Ditjen P2P: <https://p2p.kemkes.go.id/kasus-dbd-sedang-tinggi-waspada-komplikasi-nya/>
- Djuris, J., Ibrić, S., & Zorica, D. (2013). Neural computing in pharmaceutical products and process development. In J. Djuris, *Computer-Aided Applications in Pharmaceutical Technology* (pp. 91-175). doi:10.1533/9781908818324.91
- Kementerian Kesehatan Republik Indonesia. (2021, Juni 24). Strategi Nasional Penanggulangan Dengue 2021-2025. Jakarta, Indonesia. doi:ISBN 978-623-301-199-0
- Kumar, S., & Agrawal, S. (2013). Disease Risk Assessment. In W. W. Dubitzky, *Encyclopedia of Systems Biology* (pp. 582-584). Springer, New York, NY. doi:https://doi.org/10.1007/978-1-4419-9863-7_203
- Li, F., Lu, D., An, B., & Zhang, G. (2023). Risk Region-based Prediction Model for the Epidemic Spreading. *2023 26th International Conference on Computer Supported Cooperative Work in Design (CSCWD)* (pp. 351-356). IEEE Xplore. doi:10.1109/CSCWD57460.2023.10151996
- Liu, H., Ren, Y., Wang, T., Shan, H., & Wong, K. W. (2023). Fuzzy model for quantitative assessment of the epidemic risk of African. *Preventive Veterinary Medicine* 213, 1-10. doi:<https://doi.org/10.1016/j.prevetmed.2023.105884>
- Mufid, M. R., Putri, N. R., Fariza, A., & Mu'arfin. (2018). Fuzzy Logic and Exponential Smoothing for Mapping Implementation of Dengue Haemorrhagic Fever in Surabaya. *2018 International Electronics Symposium on Knowledge Creation and Intelligent Computing (IES-KCIC)* (pp. 372-377). IEEE. doi:10.1109/KCIC.2018.8628533

- Mustika, A. A., Bakri, S., & Wardani, D. W. (2016). Perubahan Penggunaan Lahan di Provinsi Lampung dan Pengaruhnya Terhadap Insidensi Demam Berdarah Dengue (DBD). *Jurnal Sylva Lestari*, 35 - 46.
- Nuranisa, R., Maryanto, Y. B., & Isfandiari, M. A. (2022). Correlation Of Free Larvae Index and Population Density With Dengue Fever Incidence Rate. *The Indonesian Journal of Public Health*, 17(3), 477-487. doi:<https://doi.org/10.20473/ijph.v17i3.2022.477-487>
- Ong, J., Liu, X., Rajarethinam, J., Kok, S. Y., Liang, S., Tang, C. S., . . . Yap, G. (2018). MappingdengueriskinSingapore using. *PLOS Neglected Tropical Diseases*, 1-12. doi:<https://doi.org/10.1371/journal.pntd.0006587>
- Prasetya, V., Vito, V., Tanawi, I. N., Aldila, D., & Hertono, G. F. (2023). Predicting potential areas at risk of the Dengue Hemorrhagic Fever in Jakarta, Indonesia—analyzing the accuracy of predictive hot spot analysis in the absence of small geographical area data. *Infection Ecology & Epidemiology*, 0-9. doi:<https://doi.org/10.1080/20008686.2023.2218207>
- Ramadityo, D. (2023, Juni 28). *Fakta-Fakta Penting Seputar Demam Berdarah*. Retrieved April 4, 2024, from Ayo Sehat Kementrian Kesehatan Republik Indonesia: <https://ayosehat.kemkes.go.id/fakta-fakta-penting-seputar-demam-berdarah>
- Setiabudi, A. (2024, Maret 06). *Kasus Demam Berdarah di Jatim tinggi, Hikmah Bafaqih: Harus dilakukan evaluasi dan mitigasi*. Retrieved Mei 03, 2024, from dprd.jatimprov.go.id: <https://dprd.jatimprov.go.id/berita/13007/kasus-demam-berdarah-di-jatim-tinggi-hikmah-bafaqih-harus-dilakukan>
- Setiawan, A., Yanto, B., & Yasdomi, K. (2018). *Logika Fuzzy Dengan MATLAB Contoh Kasus Penelitian Penyakit Bayi dengan Fuzzy Tsukamoto*. Jayapangus Press.
- Wang, W.-H., Urbina, A. N., Chang, M. R., Assavalapsakul, W., Lu, P.-L., Chen, Y.-H., & Wang, S.-F. (2020). Dengue hemorrhagic fever e A systemic literature review of current perspectives on pathogenesis, prevention and control. *Journal of Microbiology, Immunology and Infection*, 53, 963-978. doi:<https://doi.org/10.1016/j.jmii.2020.03.007>
- World Health Organization. (2024, Januari 15). *Dengue: WHO Health Emergency Appeal 2024*. (W. H. Organization, Editor) Retrieved April 4, 2024, from WHO: <https://www.who.int/publications/m/item/dengue-who-health-emergency-appeal-2024>
- Wulandari, R. A., Rahmawati, T., Al Asyary, & Nugraha, F. (2023). Analysis of Climate and Environmental Risk Factors on Dengue Hemorrhagic Fever Incidence in Bogor District. *Kesmas: National Public Health Journal*, 18(3 August), 209-214. doi:10.21109/kesmas.v18i3.7351
- Zadeh, L. (1965). Fuzzy Sets. *Information and Control*, 8, 338-353.

LAMPIRAN A

Lampiran A berisi mengenai aturan yang digunakan pada mode penilaian risiko mulai dari layer 1 hingga layer 3. Kolom yang berwarna merah menunjukkan parameter rentan.

SKENARIO 1

	Curah Hujan (mm)	Suhu (°C)	Kelembapan (%)
Low	0 - 298.21	0 - 23.54	0 – 76.2
Medium	26.54 – 898.72	23.50 - 25.20	76.03 - 81.96
High	341.92 – 898.72	25.16 - 27.81	81.93 - 88.84

CLIMATIC FACTOR RULES BASE				
Rule	Curah Hujan	Suhu	Kelembapan	Risiko
1	Low	Low	Low	Low
2	Low	Low	Medium	Medium
3	Low	Low	High	Medium
4	Low	Medium	Low	Low
5	Low	Medium	Medium	Medium
6	Low	Medium	High	Medium
7	Low	High	Low	Medium
8	Low	High	Medium	High
9	Low	High	High	High
10	Medium	Low	Low	Low
11	Medium	Low	Medium	Low
12	Medium	Low	High	Low
13	Medium	Medium	Low	Low
14	Medium	Medium	Medium	Low
15	Medium	Medium	High	Low
16	Medium	High	Low	Low
17	Medium	High	Medium	Medium
18	Medium	High	High	Medium
19	High	Low	Low	Low
20	High	Low	Medium	Low
21	High	Low	High	Low
22	High	Medium	Low	Low
23	High	Medium	Medium	Low
24	High	Medium	High	Low
25	High	High	Low	Low
26	High	High	Medium	Medium
27	High	High	High	Medium

	Ketinggian wilayah (mdpl)	Proporsi hutan (%)	Lahan Pertanian (Hektar)
Low	0 - 490	0 - 14.89	0 - 1127
Medium	427 - 1157	12 – 51.9	981 - 2017
High	773 - 1157	41.56 - 76.84	1731 - 2969

ENVIRONMENTAL RISK RULES BASE				
Rule	Ketinggian Wilayah	Proporsi Hutan	Lahan Pertanian	Risiko
1	Low	Low	Low	Medium
2	Low	Low	Medium	Medium
3	Low	Low	High	High
4	Low	Medium	Low	Low
5	Low	Medium	Medium	Low
6	Low	Medium	High	Medium
7	Low	High	Low	Low
8	Low	High	Medium	Low
9	Low	High	High	Medium
10	Medium	Low	Low	Low
11	Medium	Low	Medium	Low
12	Medium	Low	High	Medium
13	Medium	Medium	Low	Low
14	Medium	Medium	Medium	Low
15	Medium	Medium	High	Low
16	Medium	High	Low	Low
17	Medium	High	Medium	Low
18	Medium	High	High	Low
19	High	Low	Low	Low
20	High	Low	Medium	Low
21	High	Low	High	Medium
22	High	Medium	Low	Low
23	High	Medium	Medium	Low
24	High	Medium	High	Low
25	High	High	Low	Low
26	High	High	Medium	Low
27	High	High	High	Low

	Kepadatan penduduk (jiwa/km²)	ABJ (%)
Low	0 – 1003.06	0 – 70.31
Medium	960.21 – 1868.40	70.22 – 87.142
High	1865.55 – 2850.26	87.140 - 100

HOST RISK RULES BASE			
Rule	Kepadatan penduduk	ABJ	Risiko
1	Low	Low	Medium
2	Low	Medium	Medium
3	Low	High	Low
4	Medium	Low	High
5	Medium	Medium	High
6	Medium	High	Medium
7	High	Low	High
8	High	Medium	High
9	High	High	Medium

LAYER 3

ABIOTIC RISK GROUP			
Rule	Climatic Risk Factor	Environmental Risk Factor	Risk
1	Low	Low	Low
2	Low	Medium	Low
3	Low	High	Medium
4	Medium	Low	Low
5	Medium	Medium	Medium
6	Medium	High	High
7	High	Low	Medium
8	High	Medium	High
9	High	High	High

BIOTIC RISK GROUP		
Rule	Host Risk Factor	Risk
1	Low	Low
2	Medium	Medium
3	High	High

FINAL OUTPUT

FINAL RISK OUTPUT			
Rule	Abiotic Risk Group	Biotic Risk Group	Final Risk Output
1	Low	Low	Low
2	Low	Medium	Low
3	Low	High	Medium
4	Medium	Low	Low
5	Medium	Medium	Medium
6	Medium	High	High
7	High	Low	Medium
8	High	Medium	High
9	High	High	High

SKENARIO 2

	Curah Hujan (mm)	Suhu (°C)	Kelembapan (%)
Rendah	0 - 298.21	0 – 24.97	0 – 79.73
Tinggi	26.54 – 898.72	24.95 - 27.81	79.57 - 88.84

CLIMATIC FACTOR RULES BASE				
Rule	Curah Hujan	Suhu	Kelembapan	Climatic Risk
1	Rendah	Rendah	Rendah	Low
2	Rendah	Rendah	Tinggi	Medium
3	Rendah	Tinggi	Rendah	Medium
4	Rendah	Tinggi	Tinggi	High
5	Tinggi	Rendah	Rendah	Medium
6	Tinggi	Rendah	Tinggi	Medium
7	Tinggi	Tinggi	Rendah	High
8	Tinggi	Tinggi	Tinggi	High

	Ketinggian wilayah (mdpl)		Proporsi hutan (%)		Lahan pertanian (Hektar)
Rendah	0 - 490	Sempit	0 – 39.72	Sangat Sempit	0 - 920
Sedang	427 - 1157			Sempit	849 - 1458
Tinggi	773 - 1157	Luas	33.45 – 76.84	Sedang	1324 - 2017
				Luas	1731 - 2650
				Sangat Luas	2248 - 2969

ENVIRONMENTAL FACTOR RULES BASE				
Rule	Ketinggian Wilayah	Proporsi Hutan	Lahan Pertanian	Environmental Risk
1	Rendah	Sempit	Sangat Sempit	Medium
2	Rendah	Sempit	Sempit	Medium
3	Rendah	Sempit	Sedang	Medium
4	Rendah	Sempit	Luas	High
5	Rendah	Sempit	Sangat Luas	High
6	Rendah	Luas	Sangat Sempit	Low
7	Rendah	Luas	Sempit	Low
8	Rendah	Luas	Sedang	Medium
9	Rendah	Luas	Luas	Medium
10	Rendah	Luas	Sangat Luas	Medium
11	Sedang	Sempit	Sangat Sempit	Low
12	Sedang	Sempit	Sempit	Medium
13	Sedang	Sempit	Sedang	Medium
14	Sedang	Sempit	Luas	Medium
15	Sedang	Sempit	Sangat Luas	High
16	Sedang	Luas	Sangat Sempit	Low
17	Sedang	Luas	Sempit	Low
18	Sedang	Luas	Sedang	Low
19	Sedang	Luas	Luas	Medium
20	Sedang	Luas	Sangat Luas	Medium
21	Tinggi	Sempit	Sangat Sempit	Low
22	Tinggi	Sempit	Sempit	Low
23	Tinggi	Sempit	Sedang	Medium
24	Tinggi	Sempit	Luas	Medium
25	Tinggi	Sempit	Sangat Luas	Medium
26	Tinggi	Luas	Sangat Sempit	Low
27	Tinggi	Luas	Sempit	Low
28	Tinggi	Luas	Sedang	Low
29	Tinggi	Luas	Luas	Medium
30	Tinggi	Luas	Sangat Luas	Medium

	Kepadatan penduduk (jiwa/km²)		ABJ (%)
Sangat Jarang	0 – 721.75	Rendah	0 – 78.06
Jarang	720 – 1267.23		
Padat	1209.86 – 2125.49	Tinggi	78 - 100
Sangat Padat	1938.51 – 2850.26		

HOST FACTOR RULES BASE			
Rule	Kepadatan Penduduk	ABJ	Host Risk
1	Sangat Jarang	Rendah	Low
2	Sangat Jarang	Tinggi	Low
3	Jarang	Rendah	Medium
4	Jarang	Tinggi	Low
5	Padat	Rendah	High
6	Padat	Tinggi	Medium
7	Sangat Padat	Rendah	High
8	Sangat Padat	Tinggi	Medium

LAMPIRAN B

Lampiran ini berisi data input yang telah di normalisasi dan dikelompokkan

DATARAN RENDAH

Table 0.1 januari dataran rendah

curah hujan	suhu	kelembapan	ketinggian wilayah	proporsi hutan	lahan pertanian	kepadatan penduduk	ABJ
0.776743	93.21316	94.552	27.39844	35.94482	42.20276	16.86636	87.97057
0.776743	93.21316	94.552	31.11495	0	100	38.49352	87.75705
0.776743	93.21316	94.552	26.18842	24.76575	97.91175	22.69757	88.20464
0.829146	87.01906	92.0829	20.65687	72.12389	24.08218	19.50162	84.61358
0.776743	93.21316	94.552	29.04062	0	72.48232	84.35832	86.63387
0.776743	93.21316	94.552	28.43561	0	51.26305	38.59023	79.5797
0.776743	93.21316	94.552	32.15212	15.61687	56.98889	30.63125	93.77915
0.776743	93.21316	94.552	29.29991	0	89.25564	56.57233	72.79783
0.776743	93.21316	94.552	34.14002	0	49.10744	84.63121	93.88416
0.776743	93.21316	94.552	26.27485	19.37793	56.98889	56.50267	77.41327
0.776743	93.21316	94.552	33.7943	0	75.71573	67.04435	96.10178

Table 0.2 februari dataran rendah

curah hujan	suhu	kelembapan	ketinggian wilayah	proporsi hutan	lahan pertanian	kepadatan penduduk	ABJ
1.350063	92.82375	95.31582	27.39844	35.94482	42.20276	16.87914	85.27642
1.350063	92.82375	95.31582	31.11495	0	100	38.5098	88.03796
1.350063	92.82375	95.31582	26.18842	24.76575	97.91175	22.71455	87.93265
1.452678	86.17147	93.70779	20.65687	72.12389	24.08218	19.50351	100
1.350063	92.82375	95.31582	29.04062	0	72.48232	84.40004	87.56212
1.350063	92.82375	95.31582	28.43561	0	51.26305	38.61748	66.30625
1.350063	92.82375	95.31582	32.15212	15.61687	56.98889	30.64759	93.47925
1.350063	92.82375	95.31582	29.29991	0	89.25564	56.61673	81.53565
1.350063	92.82375	95.31582	34.14002	0	49.10744	84.6968	94.50849
1.350063	92.82375	95.31582	26.27485	19.37793	56.98889	56.54762	78.78444
1.350063	92.82375	95.31582	33.7943	0	75.71573	67.08168	99.08382

Table 0.3 maret dataran rendah

curah hujan	suhu	kelembapan	ketinggian wilayah	proporsi hutan	lahan pertanian	kepadatan penduduk	ABJ
0.954529	94.00193	96.07704	27.39844	35.94482	42.20276	16.89193	89.3464
0.954529	94.00193	96.07704	31.11495	0	100	38.52652	85.19021
0.954529	94.00193	96.07704	26.18842	24.76575	97.91175	22.73119	84.30024
1.337913	87.34384	93.49901	20.65687	72.12389	24.08218	19.5054	100
0.954529	94.00193	96.07704	29.04062	0	72.48232	84.44177	91.90809

0.954529	94.00193	96.07704	28.43561	0	51.26305	38.64472	73.95868
0.954529	94.00193	96.07704	32.15212	15.61687	56.98889	30.66393	97.70047
0.954529	94.00193	96.07704	29.29991	0	89.25564	56.66113	81.81434
0.954529	94.00193	96.07704	34.14002	0	49.10744	84.76274	92.33406
0.954529	94.00193	96.07704	26.27485	19.37793	56.98889	56.59258	77.34525
0.954529	94.00193	96.07704	33.7943	0	75.71573	67.11902	99.94448

Table 0.4 april dataran rendah

curah hujan	suhu	kelembapan	ketinggian wilayah	proporsi hutan	lahan pertanian	kepadatan penduduk	ABJ
1.179896	92.70047	95.41498	27.39844	35.94482	42.20276	16.90471	80.70104
1.179896	92.70047	95.41498	31.11495	0	100	38.5428	89.45679
1.179896	92.70047	95.41498	26.18842	24.76575	97.91175	22.74817	83.47068
1.360551	87.65432	88.77383	20.65687	72.12389	24.08218	19.50792	100
1.179896	92.70047	95.41498	29.04062	0	72.48232	84.48349	93.15695
1.179896	92.70047	95.41498	28.43561	0	51.26305	38.67197	74.52419
1.179896	92.70047	95.41498	32.15212	15.61687	56.98889	30.68085	99.3186
1.179896	92.70047	95.41498	29.29991	0	89.25564	56.70553	82.46052
1.179896	92.70047	95.41498	34.14002	0	49.10744	84.82942	89.12999
1.179896	92.70047	95.41498	26.27485	19.37793	56.98889	56.63655	81.59467
1.179896	92.70047	95.41498	33.7943	0	75.71573	67.15635	100

Table 0.5 mei dataran rendah

curah hujan	suhu	kelembapan	ketinggian wilayah	proporsi hutan	lahan pertanian	kepadatan penduduk	ABJ
1.042219	95.24307	93.49901	27.39844	35.94482	42.20276	16.9175	85.63898
1.042219	95.24307	93.49901	31.11495	0	100	38.55952	88.16595
1.042219	95.24307	93.49901	26.18842	24.76575	97.91175	22.76515	83.21213
0.296452	89.46654	87.68936	20.65687	72.12389	24.08218	19.50981	100
1.042219	95.24307	93.49901	29.04062	0	72.48232	84.52521	90.29349
1.042219	95.24307	93.49901	28.43561	0	51.26305	38.69922	72.97453
1.042219	95.24307	93.49901	32.15212	15.61687	56.98889	30.69719	98.24213
1.042219	95.24307	93.49901	29.29991	0	89.25564	56.74993	90.62778
1.042219	95.24307	93.49901	34.14002	0	49.10744	84.89519	90.1888
1.042219	95.24307	93.49901	26.27485	19.37793	56.98889	56.68151	82.99684
1.042219	95.24307	93.49901	33.7943	0	75.71573	67.19369	98.84959

Table 0.6 juni dataran rendah

curah hujan	suhu	kelembapan	ketinggian wilayah	proporsi hutan	lahan pertanian	kepadatan penduduk	ABJ
0.554358	91.42994	93.31382	27.39844	35.94482	42.20276	16.93051	85.07692
0.554358	91.42994	93.31382	31.11495	0	100	38.5758	87.6963
0.554358	91.42994	93.31382	26.18842	24.76575	97.91175	22.78212	88.20357
1.270114	84.86156	90.57482	20.65687	72.12389	24.08218	19.5117	100
0.554358	91.42994	93.31382	29.04062	0	72.48232	84.56693	86.912
0.554358	91.42994	93.31382	28.43561	0	51.26305	38.72646	76.18169
0.554358	91.42994	93.31382	32.15212	15.61687	56.98889	30.71353	97.81986
0.554358	91.42994	93.31382	29.29991	0	89.25564	56.7951	82.04409
0.554358	91.42994	93.31382	34.14002	0	49.10744	84.96095	92.1528
0.554358	91.42994	93.31382	26.27485	19.37793	56.98889	56.72647	83.22308
0.554358	91.42994	93.31382	33.7943	0	75.71573	67.23158	98.78315

Table 0.7 juli dataran rendah

curah hujan	suhu	kelembapan	ketinggian wilayah	proporsi hutan	lahan pertanian	kepadatan penduduk	ABJ
0.046568	89.46654	90.08584	27.39844	35.94482	42.20276	16.94329	86.09821
0.046568	89.46654	90.08584	31.11495	0	100	38.59252	86.89387
0.046568	89.46654	90.08584	26.18842	24.76575	97.91175	22.7991	94.31114
0.077888	83.89881	85.11133	20.65687	72.12389	24.08218	19.51422	100
0.046568	89.46654	90.08584	29.04062	0	72.48232	84.60865	87.31101
0.046568	89.46654	90.08584	28.43561	0	51.26305	38.75371	65.84564
0.046568	89.46654	90.08584	32.15212	15.61687	56.98889	30.73045	94.06584
0.046568	89.46654	90.08584	29.29991	0	89.25564	56.8395	86.19543
0.046568	89.46654	90.08584	34.14002	0	49.10744	85.02763	91.50979
0.046568	89.46654	90.08584	26.27485	19.37793	56.98889	56.77142	86.88166
0.046568	89.46654	90.08584	33.7943	0	75.71573	67.26891	100

Table 0.8 agustus dataran rendah

curah hujan	suhu	kelembapan	ketinggian wilayah	proporsi hutan	lahan pertanian	kepadatan penduduk	ABJ
0.305062	89.86092	90.15846	27.39844	35.94482	42.20276	16.95608	89.52388
0.305062	89.86092	90.15846	31.11495	0	100	38.6088	86.05054
0.305062	89.86092	90.15846	26.18842	24.76575	97.91175	22.81608	87.77003
0.179679	84.51358	86.30957	20.65687	72.12389	24.08218	19.51611	100
0.305062	89.86092	90.15846	29.04062	0	72.48232	84.65038	88.48388
0.305062	89.86092	90.15846	28.43561	0	51.26305	38.78096	66.64073
0.305062	89.86092	90.15846	32.15212	15.61687	56.98889	30.7468	99.36998
0.305062	89.86092	90.15846	29.29991	0	89.25564	56.8839	88.06757

0.305062	89.86092	90.15846	34.14002	0	49.10744	85.09431	94.61878
0.305062	89.86092	90.15846	26.27485	19.37793	56.98889	56.81638	85.9065
0.305062	89.86092	90.15846	33.7943	0	75.71573	67.3068	100

Table 0.9 september dataran rendah

curah hujan	suhu	kelembapan	ketinggian wilayah	proporsi hutan	lahan pertanian	kepadatan penduduk	ABJ
0.795815	92.0652	91.92556	27.39844	35.94482	42.20276	16.96908	90.3908
0.795815	92.0652	91.92556	31.11495	0	100	38.62551	88.56506
0.795815	92.0652	91.92556	26.18842	24.76575	97.91175	22.83273	83.29791
0.48613	86.51564	88.62374	20.65687	72.12389	24.08218	19.518	95.81804
0.795815	92.0652	91.92556	29.04062	0	72.48232	84.6921	89.40934
0.795815	92.0652	91.92556	28.43561	0	51.26305	38.8082	65.9834
0.795815	92.0652	91.92556	32.15212	15.61687	56.98889	30.76314	100
0.795815	92.0652	91.92556	29.29991	0	89.25564	56.92907	88.33101
0.795815	92.0652	91.92556	34.14002	0	49.10744	85.16008	90.24384
0.795815	92.0652	91.92556	26.27485	19.37793	56.98889	56.86133	85.69366
0.795815	92.0652	91.92556	33.7943	0	75.71573	67.34413	100

Table 0.10 oktober dataran rendah

curah hujan	suhu	kelembapan	ketinggian wilayah	proporsi hutan	lahan pertanian	kepadatan penduduk	ABJ
2.206834	90.64969	97.85624	27.39844	35.94482	42.20276	16.98187	82.78706
2.206834	90.64969	97.85624	31.11495	0	100	38.64179	89.75073
2.206834	90.64969	97.85624	26.18842	24.76575	97.91175	22.8497	85.0402
1.840018	85.39514	95.42345	20.65687	72.12389	24.08218	19.52052	88.93713
2.206834	90.64969	97.85624	29.04062	0	72.48232	84.73382	87.30349
2.206834	90.64969	97.85624	28.43561	0	51.26305	38.83545	67.88195
2.206834	90.64969	97.85624	32.15212	15.61687	56.98889	30.78006	96.77262
2.206834	90.64969	97.85624	29.29991	0	89.25564	56.97347	86.14687
2.206834	90.64969	97.85624	34.14002	0	49.10744	85.22693	88.14998
2.206834	90.64969	97.85624	26.27485	19.37793	56.98889	56.90531	85.82314
2.206834	90.64969	97.85624	33.7943	0	75.71573	67.38147	100

Table 0.11 november dataran rendah

curah hujan	suhu	kelembapan	ketinggian wilayah	proporsi hutan	lahan pertanian	kepadatan penduduk	ABJ
1.812828	91.76555	98.49167	27.39844	35.94482	42.20276	16.99488	87.18341
1.812828	91.76555	98.49167	31.11495	0	100	38.65851	88.94954
1.812828	91.76555	98.49167	26.18842	24.76575	97.91175	22.86668	88.05119
1.756937	86.21599	95.75266	20.65687	72.12389	24.08218	19.52241	85.06618

1.812828	91.76555	98.49167	29.04062	0	72.48232	84.77554	86.22017
1.812828	91.76555	98.49167	28.43561	0	51.26305	38.8627	65.07866
1.812828	91.76555	98.49167	32.15212	15.61687	56.98889	30.7964	98.36352
1.812828	91.76555	98.49167	29.29991	0	89.25564	57.01864	79.45998
1.812828	91.76555	98.49167	34.14002	0	49.10744	85.29344	92.81745
1.812828	91.76555	98.49167	26.27485	19.37793	56.98889	56.95026	86.43113
1.812828	91.76555	98.49167	33.7943	0	75.71573	67.41935	99.22114

Table 0.12 desember dataran rendah

curah hujan	suhu	kelembapan	ketinggian wilayah	proporsi hutan	lahan pertanian	kepadatan penduduk	ABJ
1.023211	93.25956	94.95142	27.39844	35.94482	42.20276	17.00766	86.20469
1.023211	93.25956	94.95142	31.11495	0	100	38.67479	45.37475
1.023211	93.25956	94.95142	26.18842	24.76575	97.91175	22.88366	86.7353
0.877948	88.07461	89.28701	20.65687	72.12389	24.08218	19.5243	71.64179
1.023211	93.25956	94.95142	29.04062	0	72.48232	84.81727	84.78759
1.023211	93.25956	94.95142	28.43561	0	51.26305	38.88994	89.1241
1.023211	93.25956	94.95142	32.15212	15.61687	56.98889	30.81274	93.60137
1.023211	93.25956	94.95142	29.29991	0	89.25564	57.06304	74.59016
1.023211	93.25956	94.95142	34.14002	0	49.10744	85.36012	88.37618
1.023211	93.25956	94.95142	26.27485	19.37793	56.98889	56.99522	82.01758
1.023211	93.25956	94.95142	33.7943	0	75.71573	67.45669	94.78891

DATARAN SEDANG

Table 0.13 januari dataran sedang

curah hujan	suhu	kelembapan	ketinggian wilayah	proporsi hutan	lahan pertanian	kepadatan penduduk	ABJ
0.776743	93.21316	94.552	44.5981	51.69183	13.70832	25.68662	88.34147
0.776743	93.21316	94.552	35.09075	0	56.48366	50.1589	91.2544
0.776743	93.21316	94.552	36.90579	20.11973	43.75211	33.11909	82.42489
0.829146	87.01906	92.0829	50.38894	43.53201	15.08926	59.50904	82.24984
0.776743	93.21316	94.552	36.56007	37.55856	67.93533	12.36155	86.57727
0.776743	93.21316	94.552	42.69663	31.23373	25.63153	15.43826	87.63665
0.829146	87.01906	92.0829	44.85739	54.08641	39.2388	19.20753	88.26652
0.829146	87.01906	92.0829	43.30164	11.04893	21.55608	57.32972	73.48466
0.776743	93.21316	94.552	45.03025	15.07028	17.7164	19.49394	93.19256
0.829146	87.01906	92.0829	42.35091	0	57.69619	99.21351	88.15819
0.776743	93.21316	94.552	42.69663	36.66059	44.52678	53.63006	92.10764
0.829146	87.01906	92.0829	51.68539	74.10203	28.59549	14.55357	89.60298
0.829146	87.01906	92.0829	42.95592	0	58.30246	49.73935	77.79816

0.776743	93.21316	94.552	51.33967	67.54295	16.80701	16.3142	73.05044
0.829146	87.01906	92.0829	47.01815	39.67985	37.95891	42.07675	92.06629
0.829146	87.01906	92.0829	44.33881	32.86049	43.81947	32.2606	98.40919

Table 0.14 februari dataran sedang

curah hujan	suhu	kelembapan	ketinggian wilayah	proporsi hutan	lahan pertanian	kepadatan penduduk	ABJ
1.350063	92.82375	95.31582	44.5981	51.69183	13.70832	25.70293	79.62279
1.350063	92.82375	95.31582	35.09075	0	56.48366	50.16388	77.54105
1.350063	92.82375	95.31582	36.90579	20.11973	43.75211	33.13465	83.88975
1.452678	86.17147	93.70779	50.38894	43.53201	15.08926	59.5266	82.1783
1.350063	92.82375	95.31582	36.56007	37.55856	67.93533	12.36865	81.50225
1.350063	92.82375	95.31582	42.69663	31.23373	25.63153	15.44793	88.62658
1.452678	86.17147	93.70779	44.85739	54.08641	39.2388	19.21115	84.15996
1.452678	86.17147	93.70779	43.30164	11.04893	21.55608	57.35594	76.80553
1.350063	92.82375	95.31582	45.03025	15.07028	17.7164	19.50602	89.18293
1.452678	86.17147	93.70779	42.35091	0	57.69619	99.28483	85.77335
1.350063	92.82375	95.31582	42.69663	36.66059	44.52678	53.66055	91.26868
1.452678	86.17147	93.70779	51.68539	74.10203	28.59549	14.56295	93.81118
1.452678	86.17147	93.70779	42.95592	0	58.30246	49.76821	80.00885
1.350063	92.82375	95.31582	51.33967	67.54295	16.80701	16.32433	85.44634
1.452678	86.17147	93.70779	47.01815	39.67985	37.95891	42.11024	90.40355
1.452678	86.17147	93.70779	44.33881	32.86049	43.81947	32.27841	98.76135

Table 0.15 maret dataran sedang

curah hujan	suhu	kelembapan	ketinggian wilayah	proporsi hutan	lahan pertanian	kepadatan penduduk	ABJ
0.954529	94.00193	96.07704	44.5981	51.69183	13.70832	25.71967	75.99689
0.954529	94.00193	96.07704	35.09075	0	56.48366	50.16956	96.223
0.954529	94.00193	96.07704	36.90579	20.11973	43.75211	33.1502	91.03652
1.337913	87.34384	93.49901	50.38894	43.53201	15.08926	59.54416	79.92352
0.954529	94.00193	96.07704	36.56007	37.55856	67.93533	12.37576	85.57347
0.954529	94.00193	96.07704	42.69663	31.23373	25.63153	15.45761	84.64579
1.337913	87.34384	93.49901	44.85739	54.08641	39.2388	19.21476	86.41109
1.337913	87.34384	93.49901	43.30164	11.04893	21.55608	57.38217	68.47532
0.954529	94.00193	96.07704	45.03025	15.07028	17.7164	19.51809	94.09988
1.337913	87.34384	93.49901	42.35091	0	57.69619	99.35615	86.80799
0.954529	94.00193	96.07704	42.69663	36.66059	44.52678	53.69105	91.44627
1.337913	87.34384	93.49901	51.68539	74.10203	28.59549	14.57232	91.97652
1.337913	87.34384	93.49901	42.95592	0	58.30246	49.79708	76.90641
0.954529	94.00193	96.07704	51.33967	67.54295	16.80701	16.33446	90.11235

1.337913	87.34384	93.49901	47.01815	39.67985	37.95891	42.14373	92.72662
1.337913	87.34384	93.49901	44.33881	32.86049	43.81947	32.29622	98.72433

Table 0.16 april dataran sedang

curah hujan	suhu	kelembapan	ketinggian wilayah	proporsi hutan	lahan pertanian	kepadatan penduduk	ABJ
1.179896	92.70047	95.41498	44.5981	51.69183	13.70832	25.73598	89.95886
1.179896	92.70047	95.41498	35.09075	0	56.48366	50.17454	89.85395
1.179896	92.70047	95.41498	36.90579	20.11973	43.75211	33.16576	88.91427
1.360551	87.65432	88.77383	50.38894	43.53201	15.08926	59.56172	81.79266
1.179896	92.70047	95.41498	36.56007	37.55856	67.93533	12.38286	80.67015
1.179896	92.70047	95.41498	42.69663	31.23373	25.63153	15.46701	80.28178
1.360551	87.65432	88.77383	44.85739	54.08641	39.2388	19.21838	86.79527
1.360551	87.65432	88.77383	43.30164	11.04893	21.55608	57.40788	69.73722
1.179896	92.70047	95.41498	45.03025	15.07028	17.7164	19.53017	94.13158
1.360551	87.65432	88.77383	42.35091	0	57.69619	99.42747	84.00992
1.179896	92.70047	95.41498	42.69663	36.66059	44.52678	53.72154	91.50378
1.360551	87.65432	88.77383	51.68539	74.10203	28.59549	14.58185	90.14465
1.360551	87.65432	88.77383	42.95592	0	58.30246	49.82682	78.70512
1.179896	92.70047	95.41498	51.33967	67.54295	16.80701	16.34435	88.48598
1.360551	87.65432	88.77383	47.01815	39.67985	37.95891	42.17769	88.0599
1.360551	87.65432	88.77383	44.33881	32.86049	43.81947	32.31403	97.97156

Table 0.17 mei dataran sedang

curah hujan	suhu	kelembapan	ketinggian wilayah	proporsi hutan	lahan pertanian	kepadatan penduduk	ABJ
1.042219	95.24307	93.49901	44.5981	51.69183	13.70832	25.75273	93.22161
1.042219	95.24307	93.49901	35.09075	0	56.48366	50.18022	87.74254
1.042219	95.24307	93.49901	36.90579	20.11973	43.75211	33.18132	91.88431
0.296452	89.46654	87.68936	50.38894	43.53201	15.08926	59.57928	82.62913
1.042219	95.24307	93.49901	36.56007	37.55856	67.93533	12.38997	75.76618
1.042219	95.24307	93.49901	42.69663	31.23373	25.63153	15.47669	86.70218
0.296452	89.46654	87.68936	44.85739	54.08641	39.2388	19.22199	87.75519
0.296452	89.46654	87.68936	43.30164	11.04893	21.55608	57.4341	70.06862
1.042219	95.24307	93.49901	45.03025	15.07028	17.7164	19.54185	90.76184
0.296452	89.46654	87.68936	42.35091	0	57.69619	99.49879	83.01424
1.042219	95.24307	93.49901	42.69663	36.66059	44.52678	53.75203	91.39112
0.296452	89.46654	87.68936	51.68539	74.10203	28.59549	14.59122	87.62309
0.296452	89.46654	87.68936	42.95592	0	58.30246	49.85569	84.28998
1.042219	95.24307	93.49901	51.33967	67.54295	16.80701	16.35448	84.10053
0.296452	89.46654	87.68936	47.01815	39.67985	37.95891	42.21118	89.74977

0.296452	89.46654	87.68936	44.33881	32.86049	43.81947	32.33221	99.75467
----------	----------	----------	----------	----------	----------	----------	----------

Table 0.18 juni dataran sedang

curah hujan	suhu	kelembapan	ketinggian wilayah	proporsi hutan	lahan pertanian	kepadatan penduduk	ABJ
0.554358	91.42994	93.31382	44.5981	51.69183	13.70832	25.76904	90.2335
0.554358	91.42994	93.31382	35.09075	0	56.48366	50.1852	86.89516
0.554358	91.42994	93.31382	36.90579	20.11973	43.75211	33.19688	92.47996
1.270114	84.86156	90.57482	50.38894	43.53201	15.08926	59.596	83.43804
0.554358	91.42994	93.31382	36.56007	37.55856	67.93533	12.39707	74.86489
0.554358	91.42994	93.31382	42.69663	31.23373	25.63153	15.48636	85.37776
1.270114	84.86156	90.57482	44.85739	54.08641	39.2388	19.22561	85.25146
1.270114	84.86156	90.57482	43.30164	11.04893	21.55608	57.46033	63.59559
0.554358	91.42994	93.31382	45.03025	15.07028	17.7164	19.55393	87.49006
1.270114	84.86156	90.57482	42.35091	0	57.69619	99.57011	81.49656
0.554358	91.42994	93.31382	42.69663	36.66059	44.52678	53.78252	91.13059
1.270114	84.86156	90.57482	51.68539	74.10203	28.59549	14.6006	93.27726
1.270114	84.86156	90.57482	42.95592	0	58.30246	49.88455	82.72205
0.554358	91.42994	93.31382	51.33967	67.54295	16.80701	16.36461	91.90665
1.270114	84.86156	90.57482	47.01815	39.67985	37.95891	42.24467	86.9618
1.270114	84.86156	90.57482	44.33881	32.86049	43.81947	32.35002	99.65422

Table 0.19 juli dataran sedang

curah hujan	suhu	kelembapan	ketinggian wilayah	proporsi hutan	lahan pertanian	kepadatan penduduk	ABJ
0.046568	89.46654	90.08584	44.5981	51.69183	13.70832	25.78579	89.92998
0.046568	89.46654	90.08584	35.09075	0	56.48366	50.19084	93.37696
0.046568	89.46654	90.08584	36.90579	20.11973	43.75211	33.21243	89.26754
0.077888	83.89881	85.11133	50.38894	43.53201	15.08926	59.61356	85.73723
0.046568	89.46654	90.08584	36.56007	37.55856	67.93533	12.40418	77.45458
0.046568	89.46654	90.08584	42.69663	31.23373	25.63153	15.49604	89.37132
0.077888	83.89881	85.11133	44.85739	54.08641	39.2388	19.22948	89.27979
0.077888	83.89881	85.11133	43.30164	11.04893	21.55608	57.48655	68.35471
0.046568	89.46654	90.08584	45.03025	15.07028	17.7164	19.566	91.75713
0.077888	83.89881	85.11133	42.35091	0	57.69619	99.64143	84.9107
0.046568	89.46654	90.08584	42.69663	36.66059	44.52678	53.81331	91.11897
0.077888	83.89881	85.11133	51.68539	74.10203	28.59549	14.60997	92.72665
0.077888	83.89881	85.11133	42.95592	0	58.30246	49.91342	81.92291
0.046568	89.46654	90.08584	51.33967	67.54295	16.80701	16.37475	88.92395
0.077888	83.89881	85.11133	47.01815	39.67985	37.95891	42.27862	91.1163

0.077888	83.89881	85.11133	44.33881	32.86049	43.81947	32.36783	99.29687
----------	----------	----------	----------	----------	----------	----------	----------

Table 0.20 agustus dataran sedang

curah hujan	suhu	kelembapan	ketinggian wilayah	proporsi hutan	lahan pertanian	kepadatan penduduk	ABJ
0.305062	89.86092	90.15846	44.5981	51.69183	13.70832	25.8021	89.50354
0.305062	89.86092	90.15846	35.09075	0	56.48366	50.19586	85.22935
0.305062	89.86092	90.15846	36.90579	20.11973	43.75211	33.22799	88.96996
0.179679	84.51358	86.30957	50.38894	43.53201	15.08926	59.63112	81.31787
0.305062	89.86092	90.15846	36.56007	37.55856	67.93533	12.41128	79.93959
0.305062	89.86092	90.15846	42.69663	31.23373	25.63153	15.50571	89.00975
0.179679	84.51358	86.30957	44.85739	54.08641	39.2388	19.23309	92.59208
0.179679	84.51358	86.30957	43.30164	11.04893	21.55608	57.51278	64.09153
0.305062	89.86092	90.15846	45.03025	15.07028	17.7164	19.57807	95.99239
0.179679	84.51358	86.30957	42.35091	0	57.69619	99.71341	85.41214
0.305062	89.86092	90.15846	42.69663	36.66059	44.52678	53.84381	91.13159
0.179679	84.51358	86.30957	51.68539	74.10203	28.59549	14.61935	94.57306
0.179679	84.51358	86.30957	42.95592	0	58.30246	49.94316	83.22339
0.305062	89.86092	90.15846	51.33967	67.54295	16.80701	16.38488	89.40162
0.179679	84.51358	86.30957	47.01815	39.67985	37.95891	42.31257	94.24802
0.179679	84.51358	86.30957	44.33881	32.86049	43.81947	32.38601	100

Table 0.21 september dataran sedang

curah hujan	suhu	kelembapan	ketinggian wilayah	proporsi hutan	lahan pertanian	kepadatan penduduk	ABJ
0.795815	92.0652	91.92556	44.5981	51.69183	13.70832	25.81885	91.46239
0.795815	92.0652	91.92556	35.09075	0	56.48366	50.20155	94.00147
0.795815	92.0652	91.92556	36.90579	20.11973	43.75211	33.24355	87.62448
0.48613	86.51564	88.62374	50.38894	43.53201	15.08926	59.64868	81.85644
0.795815	92.0652	91.92556	36.56007	37.55856	67.93533	12.41857	81.0708
0.795815	92.0652	91.92556	42.69663	31.23373	25.63153	15.51539	91.45621
0.48613	86.51564	88.62374	44.85739	54.08641	39.2388	19.23671	89.30388
0.48613	86.51564	88.62374	43.30164	11.04893	21.55608	57.539	65.04172
0.795815	92.0652	91.92556	45.03025	15.07028	17.7164	19.59015	91.8619
0.48613	86.51564	88.62374	42.35091	0	57.69619	99.78473	87.2954
0.795815	92.0652	91.92556	42.69663	36.66059	44.52678	53.87459	91.61945
0.48613	86.51564	88.62374	51.68539	74.10203	28.59549	14.62873	91.8071
0.48613	86.51564	88.62374	42.95592	0	58.30246	49.97202	82.60436
0.795815	92.0652	91.92556	51.33967	67.54295	16.80701	16.39501	77.02308
0.48613	86.51564	88.62374	47.01815	39.67985	37.95891	42.34606	89.52814

0.48613	86.51564	88.62374	44.33881	32.86049	43.81947	32.40382	98.84385
---------	----------	----------	----------	----------	----------	----------	----------

Table 0.22 oktober dataran sedang

curah hujan	suhu	kelembapan	ketinggian wilayah	proporsi hutan	lahan pertanian	kepadatan penduduk	ABJ
2.206834	90.64969	97.85624	44.5981	51.69183	13.70832	25.83515	89.8253
2.206834	90.64969	97.85624	35.09075	0	56.48366	50.20652	85.49038
2.206834	90.64969	97.85624	36.90579	20.11973	43.75211	33.2591	92.27709
1.840018	85.39514	95.42345	50.38894	43.53201	15.08926	59.66623	74.96668
2.206834	90.64969	97.85624	36.56007	37.55856	67.93533	12.42567	81.23109
2.206834	90.64969	97.85624	42.69663	31.23373	25.63153	15.52506	81.35629
1.840018	85.39514	95.42345	44.85739	54.08641	39.2388	19.24032	86.61891
1.840018	85.39514	95.42345	43.30164	11.04893	21.55608	57.56522	74.67957
2.206834	90.64969	97.85624	45.03025	15.07028	17.7164	19.60222	91.6875
1.840018	85.39514	95.42345	42.35091	0	57.69619	99.85605	90.59713
2.206834	90.64969	97.85624	42.69663	36.66059	44.52678	53.90509	89.4769
1.840018	85.39514	95.42345	51.68539	74.10203	28.59549	14.63825	91.4159
1.840018	85.39514	95.42345	42.95592	0	58.30246	50.00176	78.84924
2.206834	90.64969	97.85624	51.33967	67.54295	16.80701	16.40514	76.25831
1.840018	85.39514	95.42345	47.01815	39.67985	37.95891	42.38002	85.61237
1.840018	85.39514	95.42345	44.33881	32.86049	43.81947	32.422	97.51653

Table 0.23 november dataran sedang

curah hujan	suhu	kelembapan	ketinggian wilayah	proporsi hutan	lahan pertanian	kepadatan penduduk	ABJ
1.812828	91.76555	98.49167	44.5981	51.69183	13.70832	25.8519	90.26563
1.812828	91.76555	98.49167	35.09075	0	56.48366	50.21221	84.59879
1.812828	91.76555	98.49167	36.90579	20.11973	43.75211	33.27466	92.16412
1.756937	86.21599	95.75266	50.38894	43.53201	15.08926	59.68379	81.04924
1.812828	91.76555	98.49167	36.56007	37.55856	67.93533	12.43278	80.86124
1.812828	91.76555	98.49167	42.69663	31.23373	25.63153	15.53474	88.6668
1.756937	86.21599	95.75266	44.85739	54.08641	39.2388	19.24394	89.04171
1.756937	86.21599	95.75266	43.30164	11.04893	21.55608	57.59145	64.56015
1.812828	91.76555	98.49167	45.03025	15.07028	17.7164	19.61429	85.33546
1.756937	86.21599	95.75266	42.35091	0	57.69619	99.92803	89.22332
1.812828	91.76555	98.49167	42.69663	36.66059	44.52678	53.93588	90.54269
1.756937	86.21599	95.75266	51.68539	74.10203	28.59549	14.64762	91.38936
1.756937	86.21599	95.75266	42.95592	0	58.30246	50.03063	74.56376
1.812828	91.76555	98.49167	51.33967	67.54295	16.80701	16.41528	67.82184
1.756937	86.21599	95.75266	47.01815	39.67985	37.95891	42.41397	90.28607

1.756937	86.21599	95.75266	44.33881	32.86049	43.81947	32.43981	97.02049
----------	----------	----------	----------	----------	----------	----------	----------

Table 0.24 desember dataran sedang

curah hujan	suhu	kelembapan	ketinggian wilayah	proporsi hutan	lahan pertanian	kepadatan penduduk	ABJ
1.023211	93.25956	94.95142	44.5981	51.69183	13.70832	25.86821	89.36761
1.023211	93.25956	94.95142	35.09075	0	56.48366	50.21719	82.38017
1.023211	93.25956	94.95142	36.90579	20.11973	43.75211	33.29022	93.0337
0.877948	88.07461	89.28701	50.38894	43.53201	15.08926	59.70052	81.72674
1.023211	93.25956	94.95142	36.56007	37.55856	67.93533	12.43988	84.57143
1.023211	93.25956	94.95142	42.69663	31.23373	25.63153	15.54441	92.64453
0.877948	88.07461	89.28701	44.85739	54.08641	39.2388	19.24781	86.99233
0.877948	88.07461	89.28701	43.30164	11.04893	21.55608	57.61716	63.12225
1.023211	93.25956	94.95142	45.03025	15.07028	17.7164	19.62598	90.84072
0.877948	88.07461	89.28701	42.35091	0	57.69619	100	89.40892
1.023211	93.25956	94.95142	42.69663	36.66059	44.52678	53.96667	92.93833
0.877948	88.07461	89.28701	51.68539	74.10203	28.59549	14.657	84.23427
0.877948	88.07461	89.28701	42.95592	0	58.30246	50.05949	78.07856
1.023211	93.25956	94.95142	51.33967	67.54295	16.80701	16.42516	67.54819
0.877948	88.07461	89.28701	47.01815	39.67985	37.95891	42.44746	89.10787
0.877948	88.07461	89.28701	44.33881	32.86049	43.81947	32.45762	95.89307

DATARAN TINGGI

Table 0.25 januari dataran tinggi

curah_hujan	suhu	kelembapan	ketinggian wilayah	proporsi hutan	lahan pertanian	kepadatan penduduk	ABJ
0.829146	87.01906	92.0829	54.45117	28.35763	38.161	51.36171	56.00248
0.829146	87.01906	92.0829	56.26621	92.1265	33.04143	13.84258	92.22137
0.829146	87.01906	92.0829	59.20484	100	49.44426	32.83104	96.7103
0.829146	87.01906	92.0829	100	95.52317	43.28057	18.46666	88.93731
0.829146	87.01906	92.0829	52.46327	24.53149	44.59414	38.16663	92.89035
0.776743	93.21316	94.552	66.81072	14.23738	30.98686	32.32719	84.64326

Table 0.26 februari dataran tinggi

curah hujan	suhu	kelembapan	ketinggian wilayah	proporsi hutan	lahan pertanian	kepadatan penduduk	ABJ
1.452678	86.17147	93.70779	54.45117	28.35763	38.161	51.41009	59.77687
1.452678	86.17147	93.70779	56.26621	92.1265	33.04143	13.84591	89.7084
1.452678	86.17147	93.70779	59.20484	100	49.44426	32.83956	96.40932
1.452678	86.17147	93.70779	100	95.52317	43.28057	18.47203	82.04476
1.452678	86.17147	93.70779	52.46327	24.53149	44.59414	38.17733	91.3342
1.350063	92.82375	95.31582	66.81072	14.23738	30.98686	32.34599	84.2121

Table 0.27 maret dataran tinggi

curah hujan	suhu	kelembapan	ketinggian wilayah	proporsi hutan	lahan pertanian	kepadatan penduduk	ABJ
1.337913	87.34384	93.49901	54.45117	28.35763	38.161	51.45847	56.56364
1.337913	87.34384	93.49901	56.26621	92.1265	33.04143	13.84923	93.05805
1.337913	87.34384	93.49901	59.20484	100	49.44426	32.84808	96.67675
1.337913	87.34384	93.49901	100	95.52317	43.28057	18.47739	83.73231
1.337913	87.34384	93.49901	52.46327	24.53149	44.59414	38.18853	97.7643
0.954529	94.00193	96.07704	66.81072	14.23738	30.98686	32.36479	82.27883

Table 0.28 april dataran tinggi

curah hujan	suhu	kelembapan	ketinggian wilayah	proporsi hutan	lahan pertanian	kepadatan penduduk	ABJ
1.360551	87.65432	88.77383	54.45117	28.35763	38.161	51.50745	52.70953
1.360551	87.65432	88.77383	56.26621	92.1265	33.04143	13.85256	90.64947
1.360551	87.65432	88.77383	59.20484	100	49.44426	32.85659	96.74734
1.360551	87.65432	88.77383	100	95.52317	43.28057	18.48276	83.33268
1.360551	87.65432	88.77383	52.46327	24.53149	44.59414	38.19923	92.83548
1.179896	92.70047	95.41498	66.81072	14.23738	30.98686	32.38358	90.52808

Table 0.29 mei dataran tinggi

curah hujan	suhu	kelembapan	ketinggian wilayah	proporsi hutan	lahan pertanian	kepadatan penduduk	ABJ
0.296452	89.46654	87.68936	54.45117	28.35763	38.161	51.55583	49.19599
0.296452	89.46654	87.68936	56.26621	92.1265	33.04143	13.85589	89.98203
0.296452	89.46654	87.68936	59.20484	100	49.44426	32.86511	96.78056
0.296452	89.46654	87.68936	100	95.52317	43.28057	18.48813	82.3288
0.296452	89.46654	87.68936	52.46327	24.53149	44.59414	38.21053	92.14886
1.042219	95.24307	93.49901	66.81072	14.23738	30.98686	32.40166	86.0145

Table 0.30 juni dataran tinggi

curah hujan	suhu	kelembapan	ketinggian wilayah	proporsi hutan	lahan pertanian	kepadatan penduduk	ABJ
1.270114	84.86156	90.57482	54.45117	28.35763	38.161	51.6048	52.16151
1.270114	84.86156	90.57482	56.26621	92.1265	33.04143	13.85921	90.57957
1.270114	84.86156	90.57482	59.20484	100	49.44426	32.87363	97.03738
1.270114	84.86156	90.57482	100	95.52317	43.28057	18.49349	84.09476
1.270114	84.86156	90.57482	52.46327	24.53149	44.59414	38.22113	90.58067
0.554358	91.42994	93.31382	66.81072	14.23738	30.98686	32.42045	88.71567

Table 0.31 juli dataran tinggi

curah hujan	suhu	kelembapan	ketinggian wilayah	proporsi hutan	lahan pertanian	kepadatan penduduk	ABJ
0.077888	83.89881	85.11133	54.45117	28.35763	38.161	51.65378	62.5196
0.077888	83.89881	85.11133	56.26621	92.1265	33.04143	13.86277	89.84129
0.077888	83.89881	85.11133	59.20484	100	49.44426	32.88214	97.98056
0.077888	83.89881	85.11133	100	95.52317	43.28057	18.49886	84.46485
0.077888	83.89881	85.11133	52.46327	24.53149	44.59414	38.23233	92.44515
0.046568	89.46654	90.08584	66.81072	14.23738	30.98686	32.43925	86.51759

Table 0.32 agustus dataran tinggi

curah hujan	suhu	kelembapan	ketinggian wilayah	proporsi hutan	lahan pertanian	kepadatan penduduk	ABJ
0.179679	84.51358	86.30957	54.45117	28.35763	38.161	51.70276	66.37652
0.179679	84.51358	86.30957	56.26621	92.1265	33.04143	13.8661	90.0042
0.179679	84.51358	86.30957	59.20484	100	49.44426	32.89066	97.19743
0.179679	84.51358	86.30957	100	95.52317	43.28057	18.50423	85.7073
0.179679	84.51358	86.30957	52.46327	24.53149	44.59414	38.24304	92.18555
0.305062	89.86092	90.15846	66.81072	14.23738	30.98686	32.45805	89.97943

Table 0.33 september dataran tinggi

curah hujan	suhu	kelembapan	ketinggian wilayah	proporsi hutan	lahan pertanian	kepadatan penduduk	ABJ
0.48613	86.51564	88.62374	54.45117	28.35763	38.161	51.75114	59.95713
0.48613	86.51564	88.62374	56.26621	92.1265	33.04143	13.86943	89.62853
0.48613	86.51564	88.62374	59.20484	100	49.44426	32.89918	97.11064
0.48613	86.51564	88.62374	100	95.52317	43.28057	18.50959	90.08295
0.48613	86.51564	88.62374	52.46327	24.53149	44.59414	38.25423	93.26108
0.795815	92.0652	91.92556	66.81072	14.23738	30.98686	32.47684	94.12726

Table 0.34 oktober dataran tinggi

curah hujan	suhu	kelembapan	ketinggian wilayah	proporsi hutan	lahan pertanian	kepadatan penduduk	ABJ
1.840018	85.39514	95.42345	54.45117	28.35763	38.161	51.80012	66.31378
1.840018	85.39514	95.42345	56.26621	92.1265	33.04143	13.87275	90.53669
1.840018	85.39514	95.42345	59.20484	100	49.44426	32.90769	97.53428
1.840018	85.39514	95.42345	100	95.52317	43.28057	18.51496	88.80989
1.840018	85.39514	95.42345	52.46327	24.53149	44.59414	38.26494	93.60511
2.206834	90.64969	97.85624	66.81072	14.23738	30.98686	32.49564	84.25311

Table 0.35 november dataran tinggi

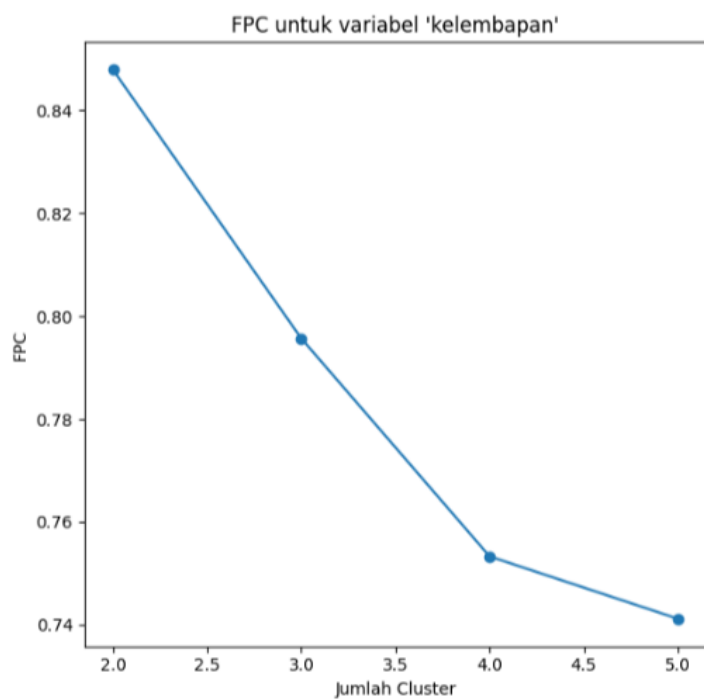
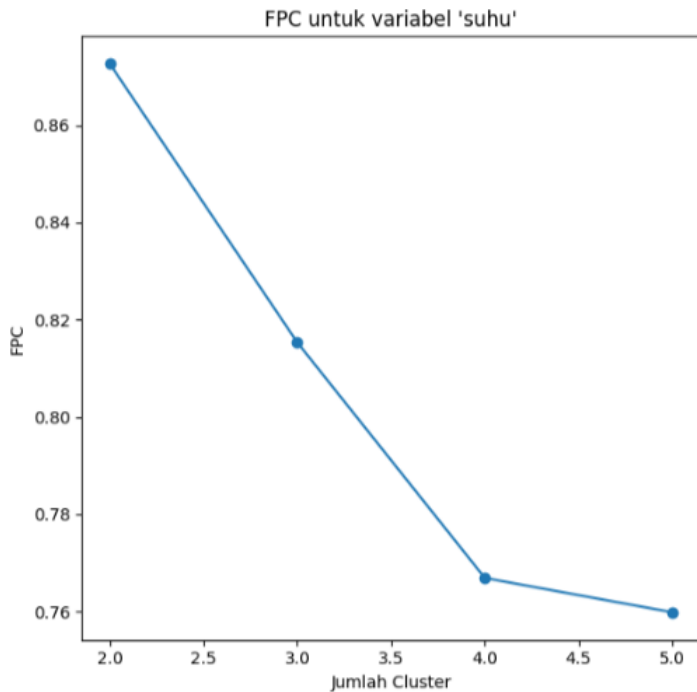
curah hujan	suhu	kelembapan	ketinggian wilayah	proporsi hutan	lahan pertanian	kepadatan penduduk	ABJ
1.756937	86.21599	95.75266	54.45117	28.35763	38.161	51.84909	69.53958
1.756937	86.21599	95.75266	56.26621	92.1265	33.04143	13.87608	89.56958
1.756937	86.21599	95.75266	59.20484	100	49.44426	32.91621	96.28831
1.756937	86.21599	95.75266	100	95.52317	43.28057	18.52033	91.93922
1.756937	86.21599	95.75266	52.46327	24.53149	44.59414	38.27614	93.46538
1.812828	91.76555	98.49167	66.81072	14.23738	30.98686	32.51444	87.75208

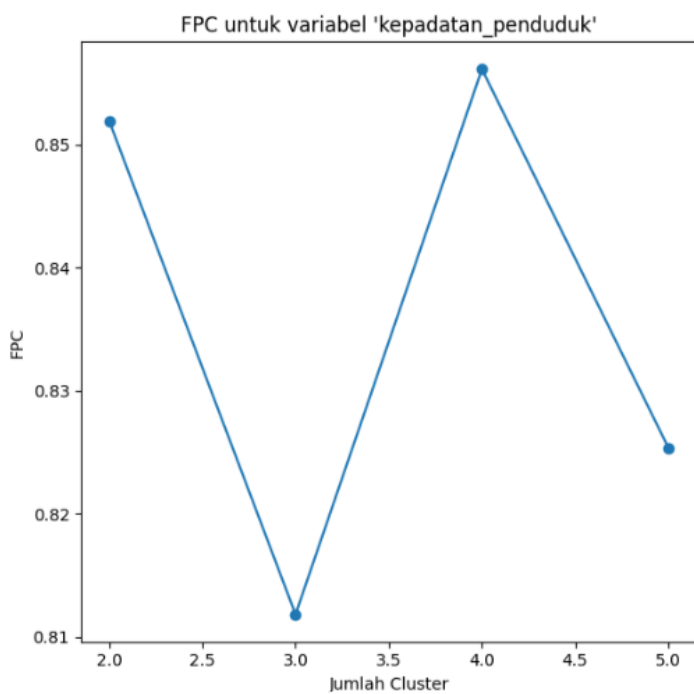
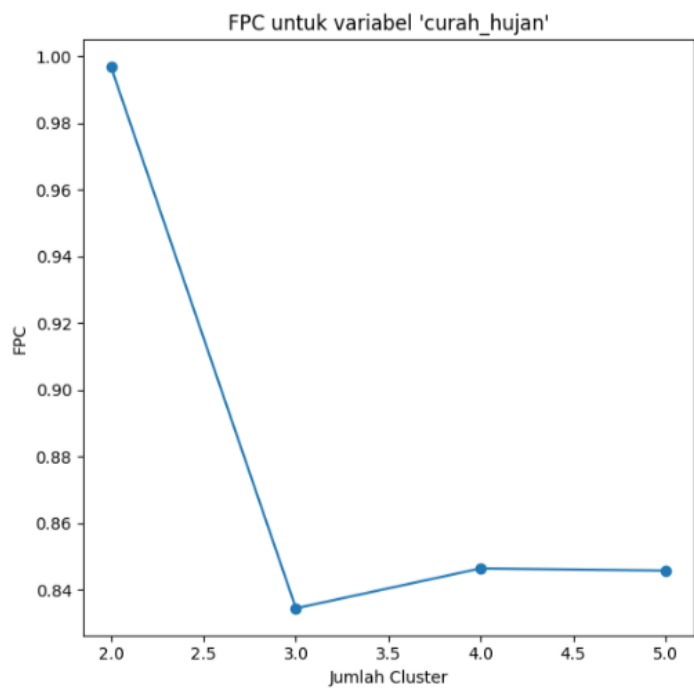
Table 0.36 desember dataran tinggi

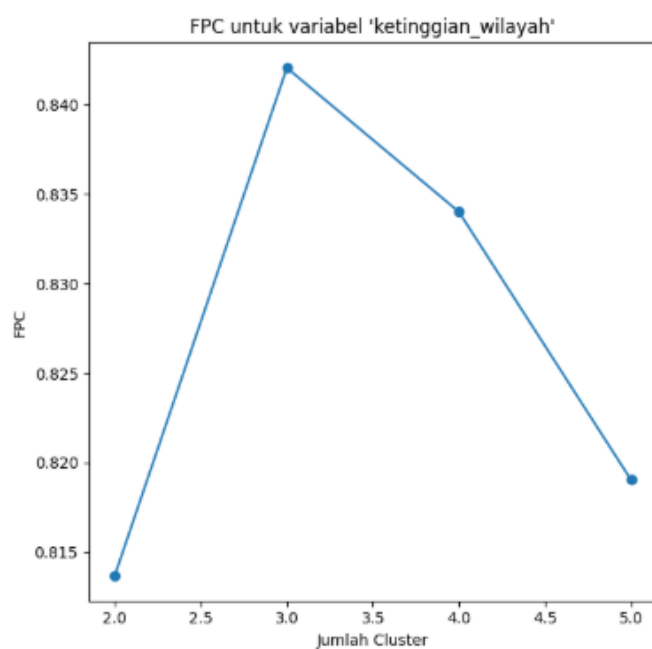
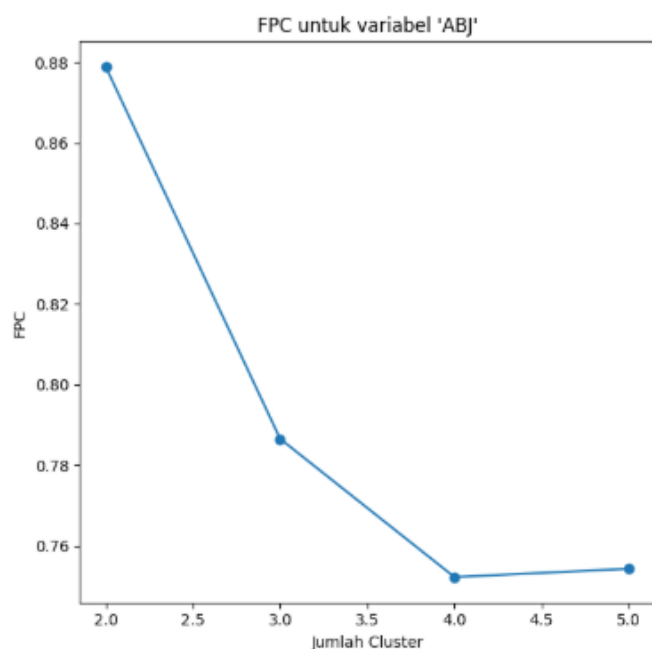
curah hujan	suhu	kelembapan	ketinggian wilayah	proporsi hutan	lahan pertanian	kepadatan penduduk	ABJ
0.877948	88.07461	89.28701	54.45117	28.35763	38.161	51.89807	63.77234
0.877948	88.07461	89.28701	56.26621	92.1265	33.04143	13.8794	92.40275
0.877948	88.07461	89.28701	59.20484	100	49.44426	32.92507	97.93996
0.877948	88.07461	89.28701	100	95.52317	43.28057	18.52569	92.43697
0.877948	88.07461	89.28701	52.46327	24.53149	44.59414	38.28684	93.09935
1.023211	93.25956	94.95142	66.81072	14.23738	30.98686	32.53323	87.74522

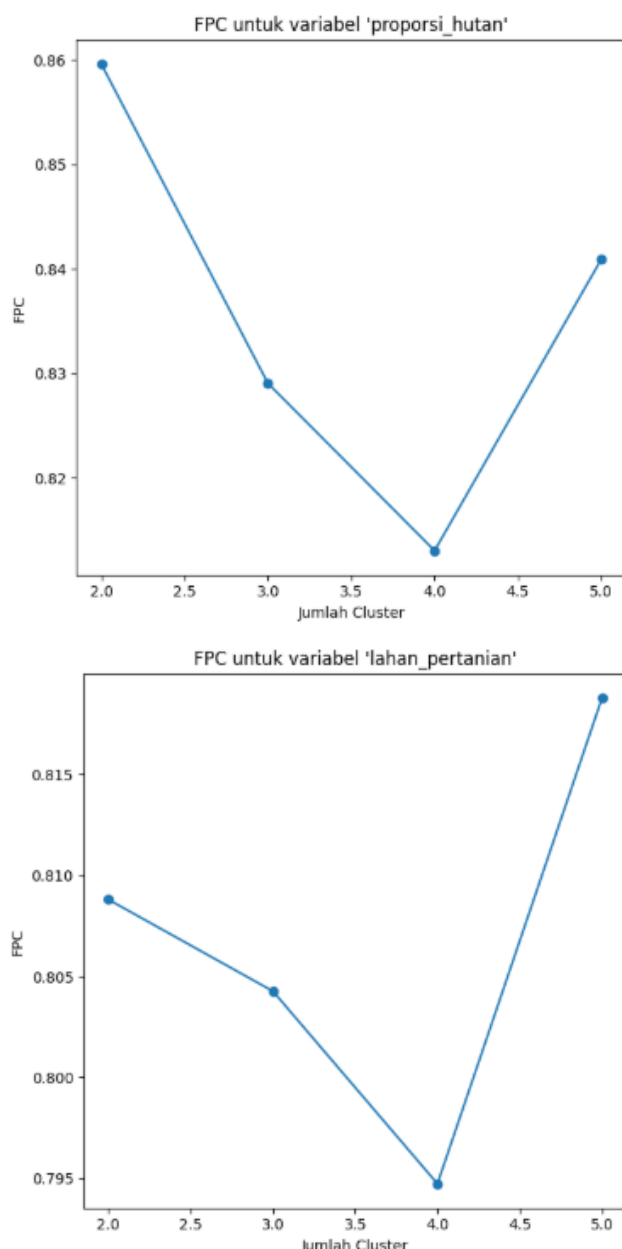
LAMPIRAN C

Hasil evaluasi FPC masing-masing variabel input









BIODATA PENULIS



Penulis dilahirkan di Madiun, 05 Juli 2003, merupakan anak pertama dari 3 bersaudara. Penulis telah menempuh pendidikan formal yaitu di TK Dharma Wanita Madiun, SDN Purworejo 03 Madiun, SMPN 1 Geger dan SMAN 1 Geger, Madiun. Setelah lulus dari SMAN tahun 2021, Penulis mengikuti SNMPTN dan diterima di Departemen Sistem Informasi FTEIC - ITS pada tahun 2021 dan terdaftar dengan NRP 5026211038.

Di Departemen Sistem Informasi, penulis aktif di beberapa kegiatan akademik maupun non akademik seperti menjadi asisten pengajar pada mata kuliah Statistika dan Probabilistik Teknologi Informasi, serta mengikuti Himpunan Mahasiswa Sistem Informasi (HMSI) sebagai staff ahli *Reseach Technology Application* dan aktif

berkegiatan di UKM Rebana. Di luar kampus, penulis juga mengikuti program magang industri di PT. Telkom Indonesia pada 26 Agustus hingga 31 Desember 2024 sebagai *data scientist*. Penulis mengucapkan terima kasih pada pembaca atas perhatian dan waktu yang telah diberikan untuk membaca karya ini. Penulis juga terbuka terhadap berbagai masukan, kritik, serta peluang untuk menjalin relasi lebih lanjut melalui linkedin.